



وزارة التعليم العالي
جامعة البعث
كلية الهندسة المدنية
قسم الهندسة الجيوتكنيكية

تأثير عوامل انتفاخ التربة على عامل نفاذيتها

بحث علمي أعد لنيل درجة الماجستير في الهندسة الجيوتكنيكية

إعداد المهندسة
لينا محي الدين ابراهيم

إشراف

الأستاذ الدكتور عيسى كوسي
مشرفاً مشاركاً

الأستاذ الدكتور عامر فاخوري
مشرفاً أساسياً

2011

تأثير عوامل انتفاخ التربة على عامل نفايتها

ملخص البحث

- يتناول البحث العوامل المؤثرة على نفاذية الترب الانتفاخية حيث يعد عامل النفاذية المعيار الرئيسي لمعرفة مدى صلاحية التربة كمادة بناء في السدود الترابية والحواجز الكتيمية وغيرها من المنشآت. الأمر الذي يتطلب إجراء تجارب النفاذية التي تستغرق وقتاً طويلاً نسبياً وتحتاج الكثير من الدقة والمراقبة لهذا السبب كان هدفنا إيجاد علاقات تجريبية تربط قيمة عامل النفاذية بعوامل الانتفاخ لا سيما ضغط انتفاخ التربة كمتحول رئيسي للتعبير عن انتفاخية التربة الغضارية.
- لهذه الغاية تمت دراسة ثلاثة أنواع من الترب الغضارية المتفاوتة في قابليتها للانتفاخ وفي حالتها الانتفاخ وتطويق الانتفاخ الشاقولي للتربة بهدف إيجاد العلاقة بين ضغط الانتفاخ وعامل نفاذية التربة.
- تضمن البحث قسماً نظرياً مؤلفاً من ثلاثة فصول: تضمن الفصل الأول مقدمة عامة عن الترب الغضارية وأهمية البحث والغاية من الدراسة، في حين استعرض الفصل الثاني خواص الترب الانتفاخية وتأثير الماء عليها والعوامل المؤثرة على السلوك الانتفاخي للترب الغضارية وتعريف ضغط الانتفاخ وطرق حسابه، وتم تخصيص الفصل الثالث لدراسة هيدروليك التربة وجريان الماء فيها حيث تم استعراض العوامل المؤثرة على عامل نفاذية التربة وطرق حسابه مخبرياً وحقلياً.
- تناول الفصل الرابع مخطط العمل التجريبي حيث تم عرض التجهيزات المستخدمة في التجارب وتوصيف الترب المدروسة وعرض النتائج التي تم الحصول عليها من تجارب التشديد والنفاذية، كما تضمن دراسة حقلية لسد الشهيد باسل الأسد في سوريا ومقارنة النتائج الحقلية للنفاذية مع نتائج تجارب تطويق الانتفاخ الشاقولي للترب المدروسة.
- أخيراً تم إجراء تحليل رياضي للنتائج وصياغة علاقات رياضية تربط قيمة عامل النفاذية بضغط انتفاخ التربة المدروسة كما تم التوصل إلى بعض التوصيات الخاصة باختيار تربة النواة الغضارية للسد الترابي.

Influence of Soil Swelling Factors on its Permeability Coefficient

Abstract

- This research discusses the affecting factors on the permeability of the expansive soils. The permeability coefficient is the principal norm to definite the suitability of the soil as a building material in the soil dams and embankments, etc. This object needs execution permeability experience which needs a long time and a lot of accuracy, so for this reason our aim was invention experience relationships between the permeability coefficient and the swelling factors especially the swelling pressure as a principal parameter of the expansive soils, these experience relationships help to estimate the permeability coefficient without execution permeability experiences.
- This research includes studying of three types of clayey soils which are different in its swelling behavior. We performed two series of tests: the first series in the case of swelling at various water content to conclude experience relationships between the permeability coefficient and the swelling pressure, the second series in the case of investment the vertical swelling of the soil.
- The research includes theoretical part consisted of three chapters: First chapter showed introduction about swelling soils, the importance and the aim of the research. Second chapter introduces swelling soils properties and influence of water on it, expansive pressure, method of its calculation, and influencing factors on swelling behavior. The third chapter provided general information about the hydraulic of the soil and flow water, influencing factors on permeability coefficient, field and laboratory method of its calculation.
- Fourth chapter showed the experience work design, devices used to investment the vertical swelling of the soil, the results which obtained from the consolidation and permeability experiences, in addition to field study to Al Shahied Bassel Alassad dam in Syria and comparison the field permeability results with the experience results which obtained from the investment the vertical swelling experiences of the soil.
- Finally, we presented all tests results and the final research conclusions, where the most important results was some special conclusions for selection the clayey core soil.

الفهرس

الصفحة

1	الفصل الأول: دراسة مرجعية - مقدمة عامة عن الترب الانتفاخية	1
2	1-1- تمهيد	
3	2-1- توزع الترب الانتفاخية في العالم	
4	3-1- توزع الترب الانتفاخية في سوريا	
4	4-1- اهتمام الباحثين بدراسة الترب الانتفاخية	
6	5-1- أهمية البحث	
6	6-1- الهدف من البحث	
6	7-1- منهجية البحث	
8	الفصل الثاني: خواص الترب الانتفاخية وتأثير الماء عليها	2
9	1-2- التركيب الفلزي للغضاريات (بنية الغضار)	
9	1-1-2- النماذج البلورية الأساسية	
10	2-1-2- المجموعات الرئيسية للغضاريات	
10	1. الكاولينيت	
11	2. الإيليت	
12	3. المونتموريللونيت	
13	3-1-2- توجه جزيئات أو حبات الغضار	
13	4-1-2- القوى الموجودة بين جزيئات الغضار	
13	2-2- طبقات الماء حول جزيئات الغضار	
14	1-2-2- طبقة الماء المدمصة في الترب الغضارية	
16	3-2- مفاهيم وتعريف أساسية	
16	1-3-2- التبادل الإيزومرفزمي	
16	2-3-2- طاقة التبادل الشاردي أو مفهوم سعة التبادل الكاتيوني	
17	3-3-2- السطح النوعي	
17	4-3-2- الادمصاص	
19	5-3-2- اختبار انتفاخية التربة	
19	4-2- مفهوم ضغط الانتفاخ	
21	1-4-2- آلية تولد ضغط الانتفاخ	
22	5-2- تصنيف الترب الانتفاخية	
27	6-2- العوامل المؤثرة على السلوك الانتفاخي للترب الغضارية	
27	1-6-2- تأثير نسبة المواد الناعمة على الانتفاخ	
27	وجبة القابلة للتبادل ضمن الغضار	

28	3-6-2- طاقة التبادل الشاردي
28	4-6-2- أثر الوزن الحجمي الجاف على الانتفاخ
28	5-6-2- أثر الرطوبة البدائية للتربة على الانتفاخ
29	6-6-2- حدود أنربرخ
29	7-6-2- علاقة ضغط الانتفاخ مع الرطوبة والكثافة الجافة الابتدائية
30	8-6-2- أثر بنية التربة على مقدار الانتفاخ
30	7-2- طرق تحديد ضغط الانتفاخ
30	1-7-2- الطرق المباشرة
30	1-1-7-2- تجربة الأدومتر أحادية الاتجاه
32	2-1-7-2- تجربة جهاز الضغط ثلاثي المحاور
32	2-7-2- الطرق غير المباشرة
35		الفصل الثالث: هيدروليك التربة وجريان الماء فيها
36	1-3- مقدمة
37	2-3- أشكال وجود الماء في التربة
37	3-3- مفاهيم وتعريف أساسية
37	1-3-3- مفهوم الضاغظ الهيدروليكي
38	2-3-3- سرعة الماء في التربة
39	3-3-3- مفهوم الميل الهيدروليكي (الميل المائي)
40	4-3- النفاذية
40	1-4-3- أهمية دراسة نفاذية التربة
41	2-4-3- قانون دارسي
44	3-4-3- تعميم قانون دارسي
44	1-3-4-3- حالة وسط متجانس وموحد الخواص
45	2-3-4-3- حالة وسط متجانس غير موحد الخواص
45	4-4-3- صلاحية قانون دارسي
47	5-3- جريان الماء في تربة غير مشبعة
50	1-5-3- صلاحية قانون دارسي في الترب غير المشبعة
51	6-3- العوامل المؤثرة على عامل النفاذية
53	7-3- قياس عامل النفاذية
53	1-7-3- الطرق المخبرية لقياس عامل النفاذية
53	1-1-7-3- تجربة النفاذية ذات الضاغظ الثابت
55	2-1-7-3- تجربة النفاذية ذات الضاغظ المتغير
56	3-1-7-3- قياس عامل النفاذية من تجربة التشديد
63	1. طريقة جذر الزمن لتابلور

66	2. طريقة لوغار يتم الزمن لكاساغراندي	
67	3. تعيين معامل التشديد بطريقة أوزاكا	
69	4. تعيين معامل التشديد بالطريقة الحسابية	
69	3-7-1-4- قياس عامل النفاذية من تجربة الامتداد الشعري الأفقي	
71	3-7-2- الطرق الحقلية لقياس عامل النفاذية	
71	3-7-2-1- اختبار الضخ من الآبار العادية	
74	3-7-2-2- اختبار الضخ من الآبار الارتوازية	
75	3-7-2-3- تجربة السبر المفتوح من طرف واحد	
76	3-7-2-4- قياس النفاذية بواسطة أجهزة الرش المفتوحة	
77	3-7-2-5- قياس النفاذية بواسطة أجهزة الرش المغلقة	
77	3-7-2-6- قياس النفاذية بواسطة جهاز الرش المغلق AEP	
79	3-7-2-7- تجارب صدمة الضغط لتحديد النفاذية	
80	3-7-3- الحل النظري لتعيين عامل النفاذية	
80	3-7-4- عامل النفاذية في حالة وجود طبقات ترابية غير متجانسة	
80	3-7-4-1- الجريان بالاتجاه الأفقي	
82	3-7-4-2- الجريان بالاتجاه الشاقولي	
83	3-8- دراسة التسرب في السدود الترابية	
83	3-8-1- مقدمة عن السدود الترابية	
83	3-8-2- تصنيف السدود الترابية	
84	3-8-3- الخواص الجيوتكنيكية التصميمية لتربة العنصر المضاد للرشح	
86	3-8-4- التسرب في السدود الترابية	
87	3-8-4-1- تعيين عناصر التسرب (السرعة، التدرج، التدفق)	
87	3-8-4-2- حساب التسرب في سد ترابي مع نواة مركزية على أساس كتيم	
88	3-8-4-3- المنشآت الملحقة بالسد الترابي لتنظيم مقدار الماء الراشح (التسرب)	
89	أولاً: المرشحات المقلوبة (الفلاتر العكسية)	
89	ثانياً: مصارف الماء في السدود الترابية	
90		الفصل الرابع: التجارب المخبرية وتجهيزات البحث	4
91	4-1- مقدمة	
91	4-2- مخطط العمل التجريبي	
91	4-2-1- تجارب تحديد الخواص الفيزيائية وخواص اللدونة للتربة	
92	4-2-2- تجارب دراسة الانتفاخ ونفاذية التربة	
93	4-2-3- تجارب تطوير انتفاخ التربة شاقولياً ودراسة نفاذية التربة	
94	4-3- توصيف الترب المدروسة	
97	4-4- نتائج تجارب دراسة الانتفاخ ونفاذية الترب المدروسة	

97	4-4-1- التربة ضعيفة الانتفاخ	
101	4-4-2- التربة متوسطة الانتفاخ	
106	4-4-3- التربة عالية الانتفاخ	
110	4-5- نتائج تجارب تطويق الانتفاخ ودراسة نفاذية التربة	
110	4-5-1- التربة ضعيفة الانتفاخ	
113	4-5-2- التربة متوسطة الانتفاخ	
117	4-5-3- التربة عالية الانتفاخ	
121	4-6- التطبيقات العملية لتجارب تطويق الانتفاخ - دراسة حقلية -	
121	4-6-1- الهدف من الدراسة	
121	4-6-2- لمحة عامة عن السدود المنفذة في سوريا	
122	4-6-3- الخواص الجيوتكنيكية التصميمية للترب المدروسة كمادة بناء للنواة الغضارية	
123	4-6-4- المثال المدروس	
124	الحل الأول: اعتماد أبعاد النواة الغضارية المنفذة في الواقع!	
124	أولاً: تربة النواة هي تربة مشروع مطار حماة المنخفضة الانتفاخ	
125	ثانياً: تربة النواة هي تربة تارين المتوسطة الانتفاخ	
126	ثالثاً: تربة النواة هي تربة زيزون العالية الانتفاخ	
126	الحل الثاني: تخفيض أبعاد النواة الغضارية مع وجود الفلاتر وموشور الصرف!!	
127	أولاً: تربة مشروع مطار حماة المنخفضة الانتفاخ	
127	ثانياً: تربة النواة هي تربة تارين المتوسطة الانتفاخ	
127	ثالثاً: تربة النواة هي تربة زيزون العالية الانتفاخ	
129		الفصل الخامس: التحليل الرياضي (النتائج والتوصيات)	5
130	5-1- المجموعة الأولى من التجارب (دراسة الانتفاخ والنفاذية)	
130	5-1-1- تأثير الرطوبة الطبيعية للتربة المدروسة على عامل النفاذية	
133	5-1-2- تأثير ضغط انتفاخ التربة المدروسة على عامل نفاذيتها	
138	5-1-3- تأثير الإجهاد الشاقولي المطبق على الترب المدروسة على عامل نفاذيتها	
138	5-2- المجموعة الثانية من التجارب (تطويق انتفاخ التربة شاقولياً)	
138	5-2-1- تأثير تطويق انتفاخ التربة المدروسة شاقولياً على عامل النفاذية	
138	5-2-2- تقييم نتائج الدراسة الحقلية كتطبيق عملي لتجارب تطويق الانتفاخ	
148	5-3- نتائج وتوصيات البحث	
151		المراجع والمصادر	6

فهرس الأشكال والمنحنيات

الصفحة

1	الفصل الأول: دراسة مرجعية - مقدمة عامة عن الترب الانتفاخية
3	(1-1) - توزع الترب الانتفاخية في العالم
2	الفصل الثاني: خواص الترب الانتفاخية وتأثير الماء عليها
9	(1-2) - الوحدة الرباعية وصفحة السيليكا
10	(2-2) - الوحدة الثمانية وصفحة الجبسيات
10	(3-2) - صفحة سيليكاً مع صفحة جبسيات تشكل الفلز الغضاري
11	(4-2) - صورة فوتوغرافية مكبرة لفلز الكاولينيت
11	(5-2) - صورة فوتوغرافية مكبرة لفلز الإيليت
12	(6-2) - صورة فوتوغرافية مكبرة لفلز المونتموريللونيت
12	(7-2) - المجموعات الرئيسية للغضاريات
13	(8-2) - التراكيب الحديدية فيما يتعلق بتوجهات حبات الغضار
14	(9-2) - طبقات الماء حول حبات الغضار
14	(10-2) - طبقة الماء الممسوكة كهربائياً حول جزيئة الغضار
15	(11-2) - جزيئة الماء (ثنائية القطب)
15	(12-2) - أشكال انجذاب الماء إلى سطوح حبات الغضار السالبة الشحنة
20	(13-2) - تغير الوزن الحجمي الرطب تبعاً لمحتوى الرطوبة في الترب المنتفخة
21	(14-2) - انتفاخ التربة ثلاثي الأبعاد
21	(15-2) - انتفاخ التربة أحادي البعد
24	(16-2) - تصنيف الترب الانتفاخية وفق (Vijayvergiya & Ghazzaly 1973)
25	(17-2) - مخطط تصنيف الترب الانتفاخية وفق (Seed 1962)
26	(18-2) - مخطط مقترح لتصنيف الترب الانتفاخية وفق (Donaldson, Williams 1980)!
27	(19-2) - تأثير نسبة المواد الناعمة على انتفاخ التربة الغضارية
28	(20-2) - تأثير الوزن الحجمي الجاف على انتفاخ التربة الغضارية
29	(21-2) - تأثير الرطوبة البدائية على انتفاخ التربة الغضارية
29	(22-2) - تغير ضغط الانتفاخ مع تغيرات الرطوبة والكثافة الجافة
31	(23-2) - مخطط نموذجي لنتائج تجربة التشديد - الانتفاخ
31	(24-2) - مخطط نموذجي لنتائج تجربة الحجم الثابت
32	(25-2) - مقارنة بين قيم الانتفاخ التجريبية وقيم الانتفاخ الحقلية
3	الفصل الثالث: هيدروليك التربة وجريان الماء فيها
36	(1-3) - التسرب أسفل سد بيتوني - ركيزة وتدية
38	(2-3) - تأثير ممتلئ بثلاثة أنواع من الضواغط

39 مفهوم الميل الهيدروليكي (3-3)
42 شرح قانون دارسي (4-3)
47 الانحراف عن قانون دارسي في بعض الترب الناعمة (5-3)
50 منحنيات (رطوبة - امتصاص) أو ما يسمى منحنيات المرور (تجفيف - ترطيب) (6-3)
50 منحنيات الاحتواء لتربة رملية وتربة غضارية (7-3)
52 تأثير درجة الإشباع على قيمة عامل النفاذية لرمل ماديسون (Madison) (8-3)
52 تأثير درجة الإشباع على قيمة عامل النفاذية للغضار السيلتي (9-3)
54 تجربة النفاذية ذات الضاغط الثابت (10-3)
55 تجربة النفاذية ذات الضاغط المتغير (11-3)
57 جهاز الأدومتر وحيد الاتجاه (12-3)
59 منحنى الانضغاطية (13-3)
62 منحنى العلاقة $(\log \sigma', e)$ وطريقة إيجاد دليل الانضغاطية c_c (14-3)
64 المنحنى النظري للتشديد (15-3)
64 المنحنى التجريبي للتشديد (16-3)
65 طول مسار التصريف حسب الحالة المدروسة (17-3)
66 المنحنى النظري للتشديد وفق طريقة كاساغراندي (18-3)
67 المنحنى التجريبي (19-3)
68 طريقة أوزاكا لتعيين معامل التشديد (20-3)
68 طريقة أوزاكا لتعيين معامل التشديد (21-3)
70 تجربة الامتداد الشعري الأفقي (22-3)
72 قياس النفاذية حقلياً بواسطة الآبار العادية (23-3)
72 اختبار الضخ من الآبار العادية (24-3)
74 اختبار الضخ من الآبار الارتوازية (25-3)
75 تجربة السبر المفتوح من طرف واحد (26-3)
76 جهاز الرش المفتوح بحلقة بسيطة (OSRI) (27-3)
76 جهاز الرش المفتوح بحلقة مزدوجة (ODRI) (28-3)
77 جهاز الرش المغلق بحلقة بسيطة (SSRI) (29-3)
77 جهاز الرش المغلق بحلقة مزدوجة (SDRI) (30-3)
78 جهاز الرش المغلق من النوع (AEP) (31-3)
79 طريقة صدمة الضغط (Pulse Test) (32-3)
81 الجريان في الاتجاه الأفقي (33-3)
86 قيم معامل التسرب للترب المستخدمة في جسم السد الترابي (34-3)
88 مخطط دراسة التسرب في سد ترابي مع نواة مركزية على أساس كتيم (35-3)

الفصل الرابع: التجارب المخبرية وتجهيزات البحث

92	(1-4) - مخطط العمل التجريبي
93	(2-4-أ) - تجهيزات تطويق الانتفاخ المستخدمة في البحث
94	(2-4-ب) - إجراء تجارب الانتفاخ والتطويق بالتزامن مع بعضها
96	(3-4) - منحنيات التحليل الحبي للترب المدروسة
98	(4-4) - حساب ضغط الانتفاخ للعيينة الأولى - التربة الضعيفة الانتفاخ
99	(5-4) - حساب ضغط الانتفاخ للعيينة الثانية - التربة الضعيفة الانتفاخ
101	(6-4) - حساب ضغط الانتفاخ للعيينة الثالثة - التربة الضعيفة الانتفاخ
102	(7-4) - حساب ضغط الانتفاخ للعيينة الأولى - التربة المتوسطة الانتفاخ
104	(8-4) - حساب ضغط الانتفاخ للعيينة الثانية - التربة المتوسطة الانتفاخ
105	(9-4) - حساب ضغط الانتفاخ للعيينة الثالثة - التربة المتوسطة الانتفاخ
107	(10-4) - حساب ضغط الانتفاخ للعيينة الأولى - التربة العالية الانتفاخ
108	(11-4) - حساب ضغط الانتفاخ للعيينة الثانية - التربة العالية الانتفاخ
109	(12-4) - حساب ضغط الانتفاخ للعيينة الثالثة - التربة العالية الانتفاخ
111	(13-4) - تطويق الانتفاخ الشاقولي للعيينة الأولى - التربة الضعيفة الانتفاخ
112	(14-4) - تطويق الانتفاخ الشاقولي للعيينة الثانية - التربة الضعيفة الانتفاخ
113	(15-4) - تطويق الانتفاخ الشاقولي للعيينة الثالثة - التربة الضعيفة الانتفاخ
114	(16-4) - تطويق الانتفاخ الشاقولي للعيينة الأولى - التربة المتوسطة الانتفاخ
115	(17-4) - تطويق الانتفاخ الشاقولي للعيينة الثانية - التربة المتوسطة الانتفاخ
116	(18-4) - تطويق الانتفاخ الشاقولي للعيينة الثالثة - التربة المتوسطة الانتفاخ
118	(19-4) - تطويق الانتفاخ الشاقولي للعيينة الأولى - التربة العالية الانتفاخ
119	(20-4) - تطويق الانتفاخ الشاقولي للعيينة الثانية - التربة العالية الانتفاخ
120	(21-4) - تطويق الانتفاخ الشاقولي للعيينة الثالثة - التربة العالية الانتفاخ
124	(22-4) - مقطع عرضي في جسم سد الشهيد باسل الأسد، سوريا - طرطوس

الفصل الخامس: التحليل الرياضي (النتائج والتوصيات)

131	(1-5) - العلاقة بين عامل النفاذية والرطوبة البدائية - التربة الضعيفة الانتفاخ
132	(2-5) - العلاقة بين عامل النفاذية والرطوبة البدائية - التربة المتوسطة الانتفاخ
133	(3-5) - العلاقة بين عامل النفاذية والرطوبة البدائية - التربة العالية الانتفاخ
134	(4-5) - العلاقة بين عامل النفاذية وضغوط الانتفاخ المختلفة - التربة المنخفضة الانتفاخ
136	(5-5) - العلاقة بين عامل النفاذية وضغوط الانتفاخ المختلفة - التربة المتوسطة الانتفاخ
137	(6-5) - العلاقة بين عامل النفاذية وضغوط الانتفاخ المختلفة - التربة العالية الانتفاخ
139	(1-7-5) - العلاقة بين عامل النفاذية والضغط الشاقولي المطبق في حالتي الانتفاخ والتطويق، العينة الأولى - التربة الضعيفة الانتفاخ
140	(2-7-5) - العلاقة بين عامل النفاذية والضغط الشاقولي المطبق في حالتي الانتفاخ والتطويق، العينة الثانية - التربة الضعيفة الانتفاخ

- 141 (3-7-5) – العلاقة بين عامل النفاذية والضغط الشاقولي المطبق في حالي الانتفاخ والتطويق، العينة الثالثة
- التربة الضعيفة الانتفاخ
- 142 (1-8-5) – العلاقة بين عامل النفاذية والضغط الشاقولي المطبق في حالي الانتفاخ والتطويق، العينة
الأولى - التربة المتوسطة الانتفاخ
- 143 (2-8-5) – العلاقة بين عامل النفاذية والضغط الشاقولي المطبق في حالي الانتفاخ والتطويق، العينة الثانية
- التربة المتوسطة الانتفاخ
- 144 (3-8-5) – العلاقة بين عامل النفاذية والضغط الشاقولي المطبق في حالي الانتفاخ والتطويق، العينة الثالثة
- التربة المتوسطة الانتفاخ
- 145 (1-9-5) – العلاقة بين عامل النفاذية والضغط الشاقولي المطبق في حالي الانتفاخ والتطويق، العينة
الأولى - التربة العالية الانتفاخ
- 146 (2-9-5) – العلاقة بين عامل النفاذية والضغط الشاقولي المطبق في حالي الانتفاخ والتطويق، العينة الثانية
- التربة العالية الانتفاخ
- 147 (3-9-5) – العلاقة بين عامل النفاذية والضغط الشاقولي المطبق في حالي الانتفاخ والتطويق، العينة الثالثة
- التربة العالية الانتفاخ

المراجع والمصادر

!!

مقدمة عامة عن الترب الانتفاخية

2



!!

مناطق توزع التربة الانتفاخية في العالم

!!

وتغطي التربة الانتفاخية حوالي (3.16) مليون كيلو متر مربع وهو ما يعادل (2.42 %) من اليابسة، وقد يبدو هذا الرقم صغيراً إذا نظرنا إليه من وجهة نظر المساحة الإجمالية لليابسة ولكن بمطابقة مناطق توزع الترب الانتفاخية مع المناطق المأهولة بالسكان فإن النسبة تتضخم بشكل كبير، ونذكر مثلاً أن هذه التربة تغطي حوالي (30 %) من المساحة المأهولة في الهند وتسمى بتربة القطن، كما تغطي مناطق شاسعة من فيتنام وأستراليا والسودان ومصر (حيث تنتشر بشكل خاص بمحاذاة الأنهار والبحيرات) والمملكة العربية السعودية وأثيوبيا وجمهورية جنوب أفريقيا وكندا والولايات المتحدة الأمريكية والجمهوريات الجنوبية من الاتحاد السوفيتي سابقاً، مما يجعل من دراستها موضوعاً على درجة عالية من الأهمية [17].

!!

1-3- توزع الترب الانتفاخية في سوريا:

تغطي هذه التربة (19525) Km² تقريباً وهو ما يعادل حوالي (10.54 %) من مساحة الجمهورية العربية السورية. تتوزع هذه الترب بكثافة في كل من محافظات حماة، السويداء، درعا، القنيطرة، القامشلي، لواء إسكندرون، كما تتواجد في حمص واللاذقية ودير الزور وفي مواقع أخرى متفرقة ضمن سوريا [17].

1-4- اهتمام الباحثين بدراسة الترب الانتفاخية:

لقد بقي سلوك التربة الانتفاخية جانباً غامضاً في مجال ميكانيك التربة لمدة طويلة ولا تزال الأبحاث العلمية حتى يومنا هذا قاصرة عن تفسير نواحي كثيرة في مجال سلوكية هذه الترب وتحديد خصائصها والعوامل المسيطرة على السلوك الانتفاخي - التقلصي لها، حيث لم يتم التعرف على مشاكل الترب القابلة للانتفاخ حتى عام 1930 وفي عام 1938 اعتبرت التربة الانتفاخية السبب الرئيسي لانهايار أساسات أحد المباني في ولاية أوريغون في الولايات المتحدة الأمريكية، عندها بدأ اهتمام الباحثين وعلماء الجيوتكنيك ينصب على دراسة سلوكية وخصائص هذه الترب، ونعرض فيما يلي موجزاً تاريخياً لتطور أبحاث الترب الانتفاخية [19]:

- بدأ اهتمام الباحثين بسلوك الترب الغضارية يظهر بوضوح منذ حوالي ثمانين سنة من عمر الثقافة الجيوتكنيكية، ففي عام 1932 وضع الباحث (Arthur Casagrande) واحداً من أوائل الأبحاث التي تناولت بنية الغضار وأثاره على هندسة الأساسات، وفي نفس العام نشر (Simpson) مقالة حول التجارب المستخلصة من التأسيس على الترب الغضارية في الولايات المتحدة الأمريكية.

- created with
nitro^{PDF} professional
download the free trial online at nitropdf.com/professional

!!

!!

"

11

الفصل الثاني ...

!!

خواص الترب الانتفاخية وتأثير الماء عليها

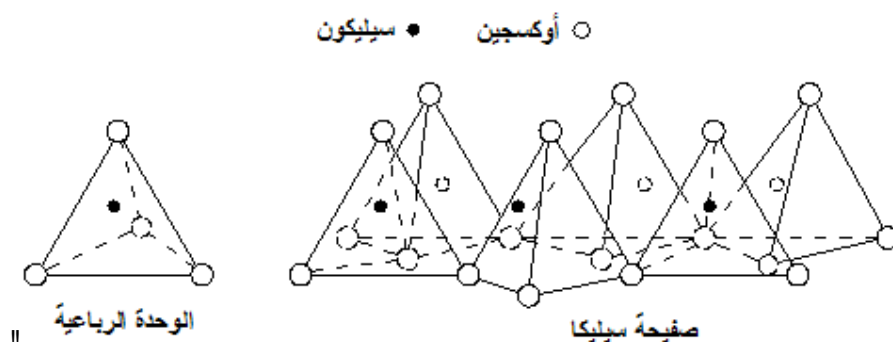
2-1- التركيب الفلزي للغضاريات (بنية الغضار):

تسمح لنا المراقبة بالمجهر الإلكتروني بالكشف عن أصغر الحبات المكونة للتربة الغضارية والتي نصل إليها بواسطة التشتيت أو التفريق حيث تتراوح أبعادها بين (1 - 0.1) ميكرون، ولهذه القطع أو الحبات الصغيرة جداً شكل الصفائح (الديسكات) الشديدة التسطح [10].

2-1-1- النماذج البلورية الأساسية:

تتكون الفلزات الغضارية (Clay Minerals) من سيليكات الألمنيوم أو المغنيزيوم أو الحديد، وهناك نوعان رئيسيان من الوحدات البلورية التي تشكل الفلزات الغضارية، وهي:

1. الوحدة الرباعية (Tetrahedral) وهي مشكلة من اجتماع السيليكون والأوكسجين.
 2. الوحدة الثمانية (Octahedral) المشكلة من هيدروكسيدات الألمنيوم أو المغنيزيوم أو الحديد.
- ويوضح الشكل (2-1) الوحدة الرباعية المؤلفة من أربع ذرات أوكسجين تحيط بذرة سيليكون واحدة، حيث تجتمع هذه الوحدات الرباعية لتشكل صفيحة سيليكات (Silica sheet) ونرمز لها بالرمز (S) [21].



!!>1 @&f! !OEšfZ! !!! f! de!OE š! !OE! 2!!%! !OE

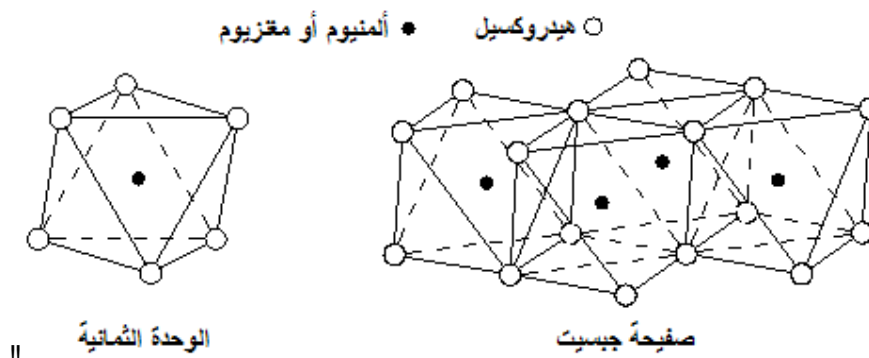
!!

وبين الشكل (2-2) وحدة ثمانية مؤلفة من ست جزيئات هيدروكسيل تحيط بذرة ألمنيوم أو مغنيزيوم. يؤدي اجتماع وحدات الألمنيوم الثمانية إلى تشكيل صفيحة جبسيت (Gibbsite) نرمز لها بالرمز (G).

أما اجتماع وحدات المغنيزيوم الثمانية فيؤدي إلى تشكيل صفيحة البروسيت (Brucite) وسنرمز لها بالرمز (B)، وعندما تتراكم صفائح السيليكات فوق الصفائح الثمانية تقوم ذرات الأوكسجين غير المتوازنة الشحنة باستبدال جزيئات الهيدروكسيل لتعديل شحنتها، الشكل (2-3)، ويتشكل لدينا الفلز الغضاري.

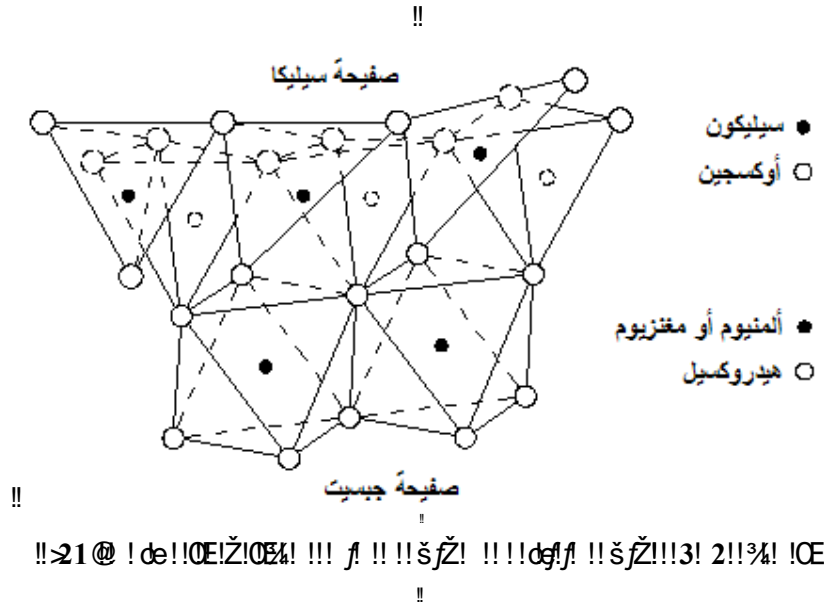
إن الفلزات الغضارية هي نتاج تراكب هذه الوحدات الأساسية مع بعضها البعض حيث تختلف الفلزات عن بعضها بالوحدات المترابطة وبطريقة التراكب والقوى التي تربط الوحدات مع بعضها البعض.

!!



!!>1 @ f! !! !OEšfZ! !!! f! de!OE š! !OE! 2!!%! !OE

!!



2-1-2 المجموعات الرئيسية للغضاريات:

1. الكاولينيت (Kaolinite):

يعتبر فلز الكاولينيت الفلز الغضاري الأكثر أهمية وهو غضار نقي أبيض اللون يتكون من تعاقب لوحات مكونة من ارتباط صفحتي (G & S) وفي حال حلت صفحة بروسيت محل الجيسيت ينتج فلز السيربنتين (Serpentine)، ويوضح الشكل (7-2) طريقة تراكم الصفائح في فلز الكاولينيت. وتترابط الكتل المتلاحقة مع بعضها بواسطة نوعين من الروابط:

- قوى فاندر فالس.

- الروابط الهيدروجينية.

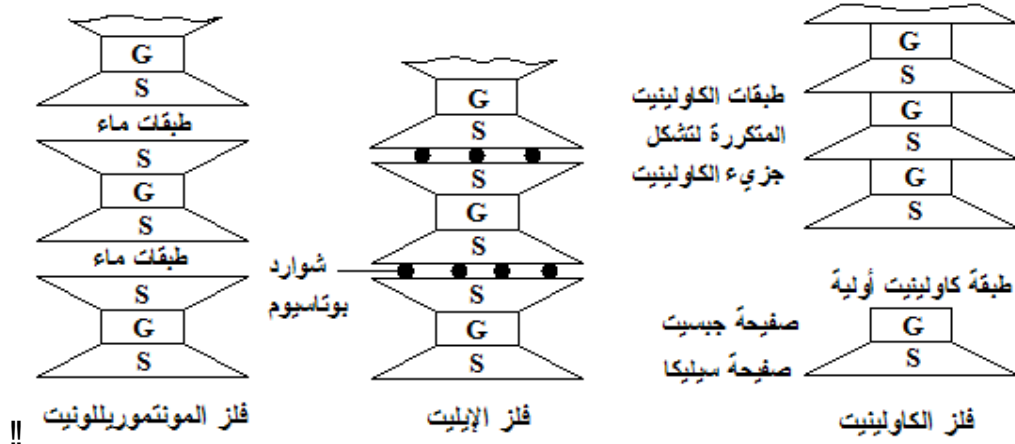
وهذا الربط القوي يفسر قابلية الكاولينيت الضعيفة للانتفاخ مقارنة مع الأنواع الأخرى من الفلزات الغضارية وبالتالي يعتبر هذا النوع من الغضاريات الأقل خطراً بالنسبة للمهندس الجيوتكنيكي [21].

2. الإيليت (Illite):

يصنف من ضمن فلزات الغضار الشبيهة بالميكال أو الميكال المميهة حيث تجتمع صفحتي سيليكات مع صفحة جيسيت (2S & G) مع وجود شوارد البوتاسيوم لموازنة الشحنة الفائضة الناتجة عن وجود شوارد الألومنيوم التي حلت محل السيليكون كما أن وجود شوارد البوتاسيوم يعطي ربطاً جيداً (نتيجة التلاؤم بين الفراغ الموجود وقطر شاردة البوتاسيوم) لكن بدرجة أقل من الربط الموجود في حالة الكاولينيت، ويوضح الشكل (7-2) آلية تشكل فلز الإيليت [21].

3. المونتموريللونيت (Montmorillonite):

يمتلك فلز المونتموريللونيت بنية مشابهة لفلز الإيليت ولكن دون وجود شوارد البوتاسيوم مما يجعل الغضار قادراً على جذب كميات كبيرة من الماء إلى الفراغات الموجودة بين كل طبقتين متتاليتين لتعديل الشحنات السالبة فيه، مما يؤدي إلى ظهور الانتفاخ في التربة، وهكذا فإن الترب التي تكون فيها نسبة المونتموريللونيت مرتفعة تكون قابلة للانتفاخ أو التقلص الكبير وذلك تبعاً لتغير رطوبتها وينتمي إلى هذه العائلة غضار البنتونيت (Bentonite) الذي يستخدم بكثرة كسائل لحفر الآبار والجدران الوتدية. ويبين الشكل (7-2) آلية تشكل فلز المونتموريللونيت [21].

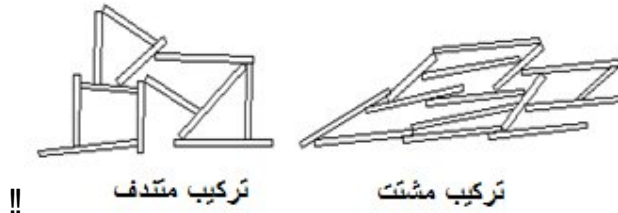


!!>21 @ qde!!!! f! f! !OE del !! !OE 7! 2!!%!! !OE

2-1-3- توجه جزيئات أو حبات الغضار:

إن للمسافات الموجودة بين حبات الغضار وكذلك لتوجهات هذه الحبات تأثيراً كبيراً على الارتباط فيما بينها وبالتالي على الخواص الفيزيائية والميكانيكية للتربة. ويمكن أن نميز عموماً نموذجين رئيسيين للتوجهات [10]، الشكل (2-8):

- البنية المتندفة (floccules): حرف مقابل سطح.
- البنية المشتتة (disperse): سطح مقابل سطح.



!!>10 @ de!!OE dš!! de !!!!!ž !!! f! de!! f! š!OE f! OE!OE8! 2!!%!! !OE

ومن المعلوم أن الجزيئات الغضارية لها توجهات أقرب إلى البنية المتندفة أو أبعد عنها وذلك بحسب ترسيبها في وسط بحري أو وسط هادئ. فالغضاريات البحرية تكون أكثر انفتاحاً من تلك المترسبة أو المتوضعة في ماء هادئ. وفي الواقع إن تشديد القص وجهوده تسعى إلى توجيه الجزيئات نحو البنية المشتتة وهذه المعلومات التي تخص توجه جزيئات الغضار لها في الواقع أهمية كبرى حيث أنها تسمح بشرح الظواهر المعقدة المرتبطة بالتشديد وبمقاومة القص للغضاريات [10].

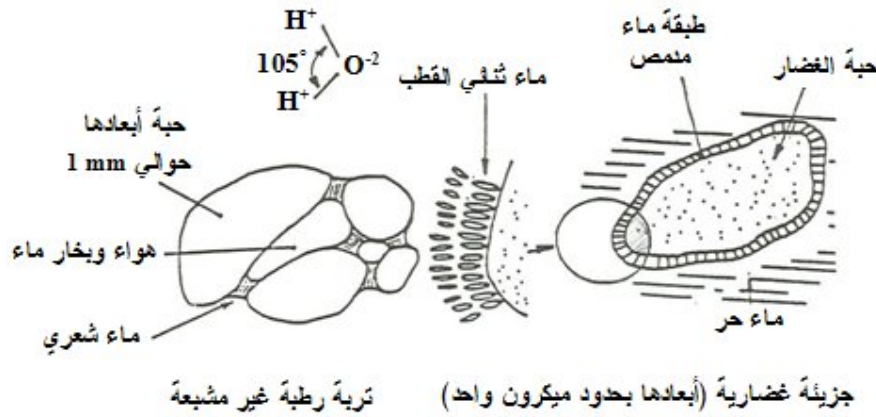
2-1-4- القوى الموجودة بين جزيئات الغضار:

بما أن الشحنات السالبة تسيطر على سطح حبات أو جزيئات الغضار فلا بد أن تتولد قوى تنافر بين الجزيئات الغضارية. وبالإضافة إلى قوى التنافر الموجودة توجد قوى تجاذب تسيطر عليها قوى ترابط! ثانوية تسمى قوى فاندرفالس (Vander Waal's Forces) وهي تابعة لثابت الناقلية الكهربائية للوسط الفاصل بين الجزيئات المتجاورة.

2-2- طبقات الماء حول جزيئات الغضار:

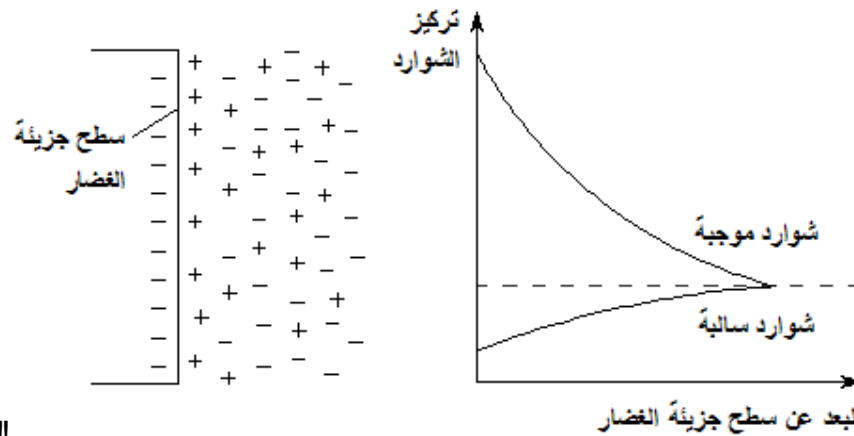
1. طبقة الماء الحر: وهو الماء الذي يستطيع الجريان بين الحبات ويتبخر بشكل كامل عندما ننقله إلى ل من 100°C [5].

2. طبقة الماء الشعري: هذا النمط يكون ممسوكاً على شكل عدسات محدبة أو مقعرة بجوار نقاط التماس بين الحبات وذلك بواسطة القوى الشعرية التي تخلق بين تلك الحبات قوى تجاذب، وهنا الماء لا يمكن إلا أن يوجد بحضور الغاز أي الحالة غير المشبعة للتربة [5].
3. طبقة الماء المدمص: تصادف هذا النمط من الماء في الترب ذات الحبات الدقيقة جداً (قطرها الوسطي أصغر من $2 \mu m$) وتواجه ناتج عن ظاهرة الادمصاص أو الجذب للماء بواسطة الجزء الصلب. وهو مؤلف من قشرة أو قوقعة مشكلة من طبقات موجهة ثنائية القطب من H_2O . إن خواص هذا النمط مختلفة جداً عن خواص الماء الحر فهو غير متحرك ويظهر لزوجة مهمة تكسبه خواصاً مطابقة للحالة الوسط بين الصلب والسائل وهذا النمط من الماء لا يمكن ترحيله إلا بدرجة حرارة مرتفعة تصل إلى $300^\circ C$. إن هذه القشرة من الماء المدمص تؤدي دور المزلق بين الحبات ولها تأثير هام على الخواص الميكانيكية للترب الناعمة [5]، [6]، [10].



!!>10@ de!!OE dš!%š!! deOE de! !!!9! 2!!%!! ICE

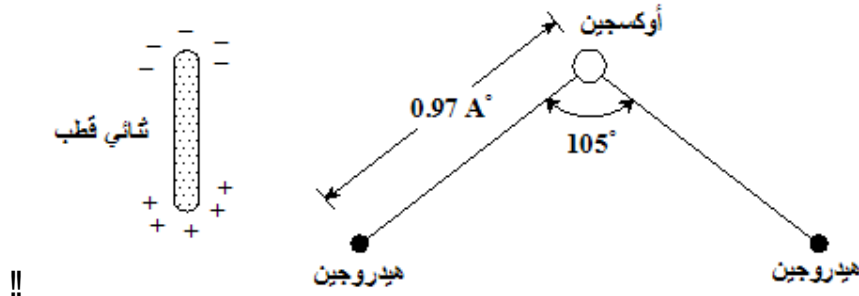
- 2- 1- طبقة الماء المدمصة في الترب الغضارية:
- 2- توجد بعض رواسب الماء على سطح جزيئات الغضار الجاف وعندما تتم إضافة الماء إلى الغضار تذوب هذه الرواسب وتسبح الشوارد الموجبة والسالبة الناتجة حول جزيئات الغضار، ويوضح الشكل (2- 10) منحنى بياني لتغيرات تركيز الشوارد الموجبة والسالبة مع تغير المسافة عن جزيئة الغضار.



!!

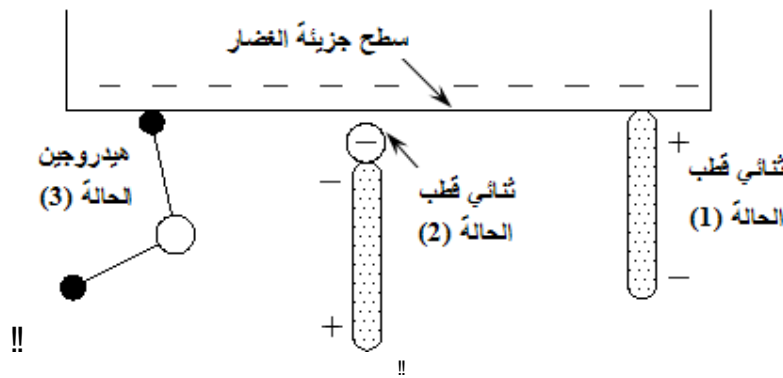
!!>34@ de!!OE f!!%š!de! !!!!!!! !!!!!!! !!!!!!! !!!!!!! !!!!!!! !!!!!!! !!!!!!! !!!!!!! !!!!!!!

ونشير هنا إلى أن جزيئات الماء ثنائية الأقطاب حيث أن ذرات الهيدروجين لا تتوزع بشكل متناظر حول ذرات الأوكسجين أي أن جزيئة الماء تشبه قضيباً أحد طرفيه مشحون إيجاباً والآخر مشحون سلباً [5]،



!!>4@! !!!!!!! deOE!f!!!!11! 2!!%!! !OE

- ويمكن شرح كيفية انجذاب ثنائيات الأقطاب (جزيئات الماء) كهربائياً إلى سطح حبات الغضار تبعاً لثلاث آليات وفق ما يلي [5]، [6]:
1. الانجذاب بين السطوح المشحونة بشحنة سالبة في جزيئات الغضار والأطراف الموجبة لثنائيات الأقطاب المائية (Dipoles).
 2. انجذاب الشوارد الموجبة في طبقة الماء الممسوكة كهربائياً من قبل جزيئة الغضار (Double layer) إلى الأطراف المشحونة سلباً من ثنائيات الأقطاب المائية التي تنجذب بدورها إلى سطوح حبات الغضار المشحونة سلباً.
 3. ارتباط ذرات الهيدروجين في جزيئات الماء بروابط هيدروجينية مع ذرات الأوكسجين الموجودة في جزيئات الغضار من جهة ومع ذرات الأوكسجين الموجودة في جزيئات الماء من جهة أخرى.
- ويبين الشكل (12-2) أشكال انجذاب الماء إلى جزيئات الغضار.



!!>4@!š! !OE!de!OEde!!OE ds!!!! !!!!!!! deOE OE!OEde !!!!!12! 2!!%!! !OE

المياه المجذوبة كهربائياً والتي تذيب جزيئات الغضار بواسطة الماء الممسوك كهربائياً (Double layer water) في التربة الغضارية إلى وجود هذه الطبقة الممسوكة كهربائياً بقوة شديدة مع جزيئة الغضار، ودعوه هذه الطبقة باسمة طبقة الماء المدمصة (Absorbed Water) [5]، [6].

2-3 مفاهيم وتعريف أساسية:

2-3-1 التبادل الإيزومرفزمي (Isomorphism Substitution):

يتم هذا التبادل عند التشكل الأولي للفلزات الغضارية حيث يمكن أن يحل الألمنيوم بدل السيليكون أو يحل المغنيزيوم بدل الألمنيوم في مركز الوحدات الأساسية بدون حدوث تغيير في التركيب البلوري للفلز. والتبادل مع المحافظة على الشكل [15]، [19].

2-3-2- طاقة التبادل الشاردي أو مفهوم سعة التبادل الكاتيوني (Cation Exchange Capacity):
إن ظاهرة التبادل الكاتيوني من أهم الظواهر التي تحدث في التربة تبعاً للباحث الأمريكي مارشال (Marshall 1995) في كتابه عن الغرويات (Collides in Agriculture) [15].
حيث أنه وخلال مرحلة تشكل الفلزات الغضارية بأنواعها المختلفة يحدث تغير في مواقع الشوارد المركزية كأن تحل ذرة الألمنيوم محل السيليكون مثلاً، عندها سيتولد نقص في الشحنة وبالتالي تنبع الحاجة إلى تواجد عدد من الشحنات الموجبة على سطح حبة الغضار لتحقيق التوازن الناتج عن نقص الشحنة الموجبة وهذا يعتبر خاصية ذاتية للتربة [15].
إن كمية الشوارد الموجبة أو الكاتيونات اللازمة لموازنة الشحنة السالبة الفائضة تدعى بطاقة التبادل الشاردي (CEC) وتعرف بأنها كمية الشوارد القابلة للتبادل معبراً عنها بالـ mill equivalent (الميلي مكافئ) في الـ (100 gr) من الغضار الجاف [41].
نوضح هنا بأن تحديد قيمة الـ (CEC) لتربة ما يتطلب إجراء تجارب خاصة لهذا الغرض، ولكن عندما لا تتوفر الإمكانية لإجراء هذه التجارب يمكن استخدام العلاقة التجريبية التي أوجدها الباحث Lytton بدلالة حد اللدونة للتربة المدروسة [41]:

$$CEC = (Wp \%)^{1.17}$$

ونبين في الجدول (1-2) قيم السطح النوعي وقيم التبادل الكاتيوني لأهم فلزات الغضار:

الجدول (1-2): قيم (CEC) والسطح النوعي لأهم فلزات الغضار [34]

الفلز	CEC (meq/100 gr)	(m ² /gr)
Kaolinite	3	10 ~ 20
Illite	25	80 ~ 100
Montmorillonite	100	800
Chlorite	20	50 ~ 50
Vermiculite	150	5 ~ 400
Halloysite (4H ₂ O)	12	40
Halloysite (2H ₂ O)	12	40

2-3-3- السطح النوعي (Specific Surface):
يعرف السطح النوعي للتربة بأنه مجموع مساحات سطوح الحبات في (1 gr) من التربة ويعبر عنه عادةً بـ (m²/gr) وتتعلق قيمته بشكل الحبات حيث أن السطح النوعي للحبات المسطحة الشكل أكبر منه للحبات الكروية [15]، [21].
إن النشاط السطحي لكل من الرمل والسييليت قليل جداً مقارنةً مع النشاط السطحي للغضار نظراً لكبر السطح النوعي لحبات الغضار والذي يؤثر بشكل كبير على العديد من مظاهر سلوك الترب الغضارية حيث تزداد قدرته على ادمصاص وتبادل الكاتيونات القابلة للتبادل وزيادة الاحتفاظ بالماء [15]، [21].
ويتأثر السطح النوعي بأبعاد حبات التربة فإذا أخذنا عدة منيرالات غضارية ذات كتلة متماثلة فإن أكبر مساحة سطحية ستكون في أصغر الذرات أبعاداً. إن قيم السطح النوعي للكاولينيت والإيليت والمونتموريلونيت هي على الترتيب (15, 90, 800 m²/gr) [34].

ويمكن تقدير السطح النوعي بالاعتماد على حسابات مبنية على شكل وحجم الحبات الغضارية. ويمكن أيضاً تقدير السطح النوعي مخبرياً بأن يتم تعيين كمية السائل أو الغاز اللازمة لتكوين طبقة أحادية الحبيبات على سطح حبة الغضار حيث يتم إشباع التربة الجافة بمحلول الايثيلين جليكول (EGME) بوجود ويتم العمل على إشباع جميع السطوح بطبقة واحدة فقط وذلك بالتخلص من

الكمية الزائدة بواسطة التفريغ باستخدام كلوريد الكالسيوم المشبع (CaCl_2) ووضع العينة في المجفف مما يساعد على تغطية التربة بطبقة واحدة فقط من المحلول، ومن خلال معرفة وزن طبقة الايثيلين جليكول التي تغلف سطح التربة يمكن تقدير مساحة السطح النوعي للتربة المدروسة [15].

2-3-4- الاممصااص (Adsorption):

يعرف الاممصااص بأنه زيادة تركيز مادة على سطح الانفصال بين حالتين مختلفتين من حالات التربة، أحدهما الحالة الصلبة والأخرى الحالة السائلة أو الغازية، وهناك نوعين من الاممصااص هما [7]:

1. الاممصااص الطبيعي: يتميز بأن الروابط بين المادة المدمصة والسطح الذي يحدث عليه الاممصااص من نوع فاندرفالس ($\text{Vander Waal's Forces}$) والطاقة المصاحبة له تعتبر صغيرة وتتراوح من (100 - 1000) كالوري، كما أن هذا النوع من الاممصااص يكون عكسياً أي أن منحني الاممصااص ينطبق على منحنى عكس الاممصااص [7].
2. الاممصااص الكيميائي: يتميز عن سابقه بأن الروابط بين المادة المدمصة والسطح الذي يحدث عليه الاممصااص روابط قوية أما الطاقة المصاحبة للاممصااص تكون كبيرة وتتراوح بين (10000 - 100000) كالوري، وهذا النوع من الاممصااص غير عكسي ويلزم لاستخلاص المادة المدمصة طاقة كبيرة [7].

2-3-5- اختبار انتفاخية التربة (Swelling Test):

يعرف انتفاخ التربة بأنه تشوه شاقولي ناتج عن نهوض سطح التربة بسبب الترطيب، ويعبر عن الانتفاخ دوماً بالانتفاخ النسبي (ϵ_{sw}) وهو الفرق بين ارتفاع التربة في حالة الإشباع h_{sat} وارتفاعها الطبيعي h_n ، وفي حال عدم وجود حمولات مطبقة على التربة يسمى الانتفاخ بالانتفاخ النسبي الحر (ϵ^0_{sw}) [3]، [17]:

$$\epsilon^0_{sw}(\%) = \frac{h_{sat} - h_n}{h_n} \times 100$$

ومن الاختبارات السهلة التي يمكن من خلالها تحديد الانتفاخ الحر للتربة (Free - Swell Test) تتم عن طريق وضع (10 cm^3) من التربة الجافة المارة من المنخل رقم (40) أي ($425 \mu\text{m}$) في إناء مدرج حتى (100 cm^3) ثم يتم ملؤه بالماء ونقوم بملاحظة ازدياد حجم التربة حتى ثباته. ويتم تحديد مقدار الانتفاخ بالمعادلة التالية [9]، [6]:

$$\text{الانتفاخ النسبي الحر } (\%) = \frac{\text{الحجم المتغير} - \text{الحجم الأصلي}}{\text{الحجم الأصلي}}$$

2-4- مفهوم ضغط الانتفاخ (Expansive Pressure):

تتميز التربة الانتفاخية كما ذكرنا سابقاً بقدرتها على التغيرات الحجمية عند تغير رطوبتها. فعند حدوث زيادة في الترطيب تتعرض التربة الانتفاخية إلى زيادة في الحجم يظهر على شكل تشوه شاقولي يسمى انتفاخ، ويظهر على سطح الأرض والمنشآت المشيدة عليها على شكل نهوض. كما أن هذا النوع من التربة يتناقص حجمه عند انخفاض رطوبته وبالتالي تحدث ظاهرة التقلص وهي نقصان حجم الكتلة الترابية بالنسبة للحالة البدائية من الرطوبة [16]، [17].

ويعرف ضغط الانتفاخ (σ_{sw}): بأنه الضغط الداخلي المتولد في التربة نتيجة زيادة حجمها (انتفاخها) وهو يساوي الإجهاد الناظمي المطبق على التربة وذلك بعد ترطيبها حتى يتم منع حصول النهوض (الانتفاخ) فيها، ويمكن تسميته عتبة الانتفاخ لأنه في حال كان الإجهاد المطبق على التربة أقل من ضغط انتفاخها فسوف تنتفخ [14]، [29]، [31]، [32].

2-4-1- آلية تولد ضغط الانتفاخ:

لكي نفهم كيفية تأثير ضغط الانتفاخ ومقداره سنقوم بدراسة توازن القوى المؤثرة على الكتلة الترابية وهي على الترتيب [17]، [27]:

- إجهاد الوزن الذاتي (σ_g): ويكون معاكساً لمنحى ضغط الانتفاخ.

يق الحمولات الخارجية (σ_o).

- ضغط ماء المسام (الضغط الشعري) (σ_k): يحدث الانتفاخ عندما يتم ترطيب التربة وبالتالي تتولد قوى رفع شعري نحو الأعلى.
 - قوى الارتباط الداخلي لبنية التربة عند الانتفاخ (σ_c): وهي تعاكس الإجهادات المؤثرة.
- وبإسقاط القوى السابقة على الشاقول وباعتبار أن ضغط الانتفاخ يتوق إلى تشوه ذرات التربة نحو الأعلى، نجد ما يلي:

$$\sigma_o + \sigma_g + \sigma_c - \sigma_k - \sigma_{sw} = 0$$

إن الطرف الثاني من المعادلة يساوي الصفر بسبب عدم وجود تشوه عند تولد ضغط الانتفاخ (حالة توازن التربة). وبما أن انتفاخ التربة يكتمل عندما يحصل إشباع لكامل ذراتها فإن الضغط الشعري يكون معدوماً أي أن ($\sigma_k = 0$)، ومنه فإن:

$$\sigma_{sw} = \sigma_o + \sigma_g + \sigma_c$$

2-5- تصنيف الترب الانتفاخية:

يوجد العديد من الطرق المتبعة لتصنيف الترب الانتفاخية، حيث يربط بعض أخصائيي الجيوتكنيك انتفاخ التربة الغضارية بعامل واحد فقط، ونذكر من هؤلاء الباحثين [19]، [33] (Altmeyer 1955, Ranganathan & Satyanarayana 1965, Snethen 1980)، فقد أعطوا تصانيف لإمكانية الانتفاخ! كتابع لحد التقلص W_s ودليل التقلص I_R ودليل اللدونة I_p على التوالي، ويعرف دليل التقلص بأنه الفرق بين حد السيولة W_L وحد التقلص W_s .

وتبين الجداول (2-2)، (2-3)، (2-4) تصانيف الترب الانتفاخية وفقاً لهؤلاء الباحثين:

الجدول (2-2): تصنيف الترب الانتفاخية حسب (Altmeyer 1955) [19]

W_s (%)	التصنيف
< 10	ترب انتفاخية خفيفة
10 - 12	ترب انتفاخية متوسطة
> 12	ترب انتفاخية شديدة

الجدول (2-3): تصنيف الترب الانتفاخية حسب (Ranganathan & Satyanarayana 1965) [19]

I_R (%)	التصنيف
0 - 20	ترب انتفاخية خفيفة
20 - 30	ترب انتفاخية متوسطة
30 - 60	ترب انتفاخية شديدة
> 60	ترب انتفاخية شديدة جداً

الجدول (2-4): تصنيف الترب الانتفاخية حسب (Snethen 1980) [9]

I_p (%)	التصنيف
< 18	ترب انتفاخية خفيفة
18 - 22	ترب انتفاخية متوسطة
22 - 32	ترب انتفاخية شديدة
> 32	ترب انتفاخية شديدة جداً

كما أعطى الباحث (Seed 1962) [9] تصنيف الانتفاخ كتابع لدليل اللدونة وذلك للترب ذات المحتوى الغضاري الذي يتراوح بين % (8 ~ 65)، الجدول (2 - 5)، وتعرف إمكانية الانتفاخ (ϵ_s) بأنها النسبة المئوية لانتفاخ عينة غضارية مرصوفة عند الرطوبة المثالية ومعرضة لحمولة مقدارها (7 Kpa)، وتعطى بالعلاقة:

$$\epsilon_s = 10^{-5} \times (I_p)^{2.24}$$

الجدول (2 - 5): تصنيف الترب الانتفاخية حسب (Seed 1962) [9]

I_p (%)	ϵ_s (%)	! ! ! ! !
20 ! 38	5 ! 25	! f!de
10 ! 20	1.5 ! 5	!!!!!!
0 ! 10	0 ! 1.5	!! Ž! !!

ويمكن تصنيف الترب الانتفاخية وفق الكود الروسي (SNIP) كتابع للانتفاخ النسبي الحر [19]، [28]:

الجدول (2 - 6): تصنيف الترب الانتفاخية حسب الكود الروسي (SNIP) [19]

ϵ_{sw}^0 (%)	! ! ! ! !
≥ 12	! f!de
8 ! 12	!!!!!!
4 ! 8	!! Ž! !!

ويؤخذ على التصنيف السابق أنه لا يوجد بيان للرطوبة البدائية للتربة المدروسة.

وقد ربط بعض الباحثين الآخرين إمكانية الانتفاخ بمعاملين من معاملات التربة ونجد ضمن هذه المجموعة من التصنيفات تصنيف مؤسسة أبحاث البناء (BRE 1980) [19] الذي يعتمد على تصنيف انتفاخ التربة كتابع لدليل اللدونة ونسبة المواد الغضارية التي أبعادها أقل من ($2 \mu m$)، وهو موضح في الجدول (2 - 7):

الجدول (2 - 7): تصنيف الترب الانتفاخية حسب (BRE 1980) [19]

I_p (%)	$< 2 \mu m$ (%)	! ! ! ! !
> 35	> 95	OE!! f!de
22 ! 35	60 ! 95	! f!de
10 ! 22	30 ! 60	!!!!!!
< 18	< 30	!! Ž! !!

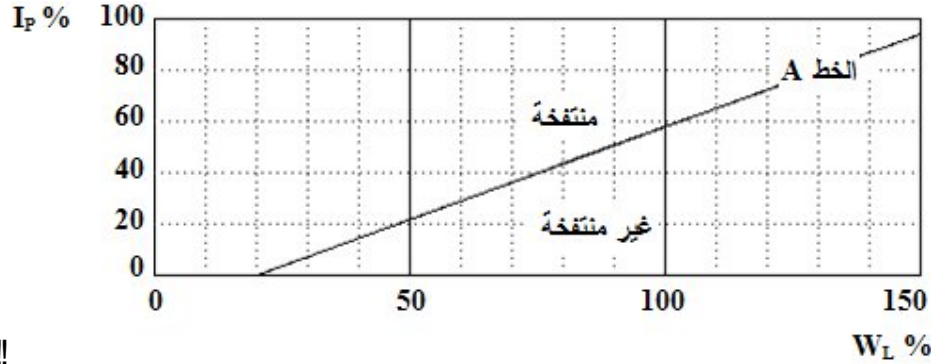
كما نجد تصنيف الباحث (Chen 1988) [9]، [32] الذي يستند على تصنيف انتفاخ التربة كتابع لحد السيولة ونسبة المواد التي أبعادها أقل من ($74 \mu m$)، وهو موضح في الجدول (2 - 8):

الجدول (2 - 8): تصنيف الترب الانتفاخية حسب (Chen 1988) [32]

$< 74 \mu m$ (%)	W_L (%)	(Mpa)!! OE! !6!!!!!! ! ! ! ! !	! ! ! ! !
> 95	> 60	1	OE!! f!de
60 ! 95	40 ! 60	0.25 ! 0.75	

30 ! 60	30 ô 40	0.15 ô 0.25	!!!!!!
< 30	< 30	< 0.05	!! Ž! !!

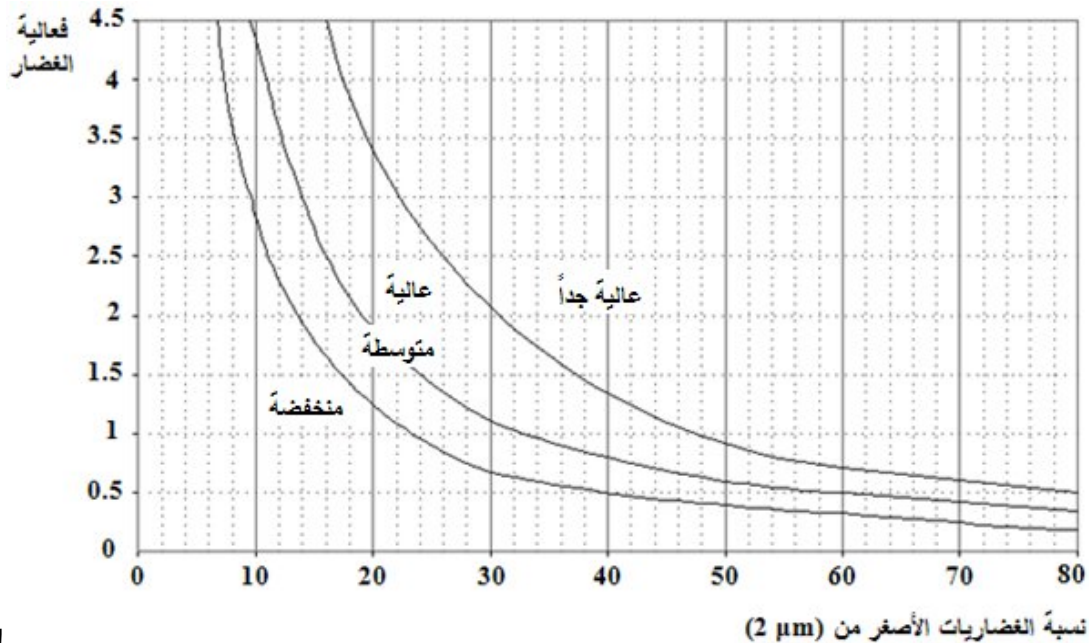
كذلك اقترح الباحثان (Vijayvergiya & Ghazzaly 1973) [19]، [29] تصنيفاً يعتمد على دليل اللدونة وحد السيولة، حيث تم تقسيم مخطط كاساغراندي (Casagrande) إلى منطقتين بواسطة الخط A، الشكل (2 - 16)، بحيث تقع الترب الانتفاخية فوق الخط وغير الانتفاخية تحته.



Vijayvergiya & Ghazzaly 1973)!! f! !! OE! !! OE f! !! 16!! 2!! 3!! OE

من جهة أخرى فقد وضع الباحث (Seed 1962) [9]، [19] مخططاً يوضح إمكانية الانتفاخ تبعاً لفعالية الغضار والنسبة المئوية للغضار في التربة المدروسة. وتعرف فعالية الغضار (النشاط الفردي للغضار) تبعاً لـ (Skempton 1953) بأنها النسبة بين دليل اللدونة ومعيار الكمية الغضارية:

حيث: $A_C = I_p / (> 2\mu m) \%$ هي نسبة المواد الغضارية التي أبعادها أقل من $(2\mu m)$. ويوضح الشكل (2 - 17) مخطط تصنيف الانتفاخ وفقاً للباحث Seed:



(Seed 1962) [9]: مخطط تصنيف الترب الانتفاخية وفق (2 - 17):

الجدول (2-9): تصنيف الترب الانتفاخية حسب (Holtz, Gibbs 1956) [9]

الجدول (2-10): تصنيف الترب الانتفاخية حسب (Dakshhanamurthy, Raman 1973) [9]

كما اقترح الباحثان (Donaldson, Williams 1980) [19] مخططاً يمكن من خلاله تقدير إمكانية الانتفاخ اعتماداً على فعالية الغضار ونسبة الغضاريات (المواد ذات الأبعاد الأقل من 2 μm) ودليل اللدونة، ويوضح الشكل (2 - 18) المخطط المقترح لتصنيف الانتفاخ:

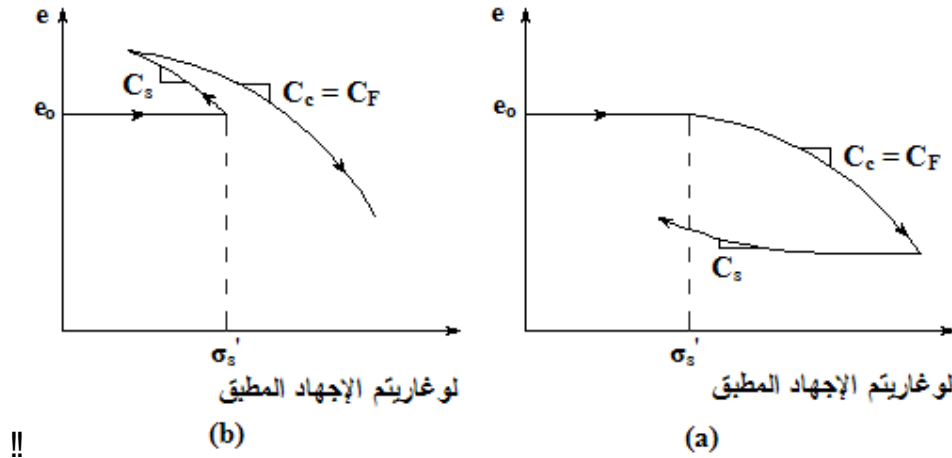


واعتماداً على التصنيف السابق اشتق الباحث (Van Der Marwe 1983) علاقة لحساب الانتفاخ الحقلي كتابع لحدود أتربرغ ولسمائة طبقة التربة الانتفاخية [19]:

created with
nitro^{PDF} professional
download the free trial online at nitropdf.com/professional

18

في المجموعة الثانية من التجارب نجد تجارب الحجم الثابت أو تجارب ضغط الانتفاخ وفيها يتم ترطيب العينة في الأدومتر في الوقت الذي يتم فيه منع العينة من الانتفاخ [10]، [22]. ويعرف ضغط الانتفاخ في هذه الحالة بأنه الإجهاد الأعظمي المطلوب تطبيقه للمحافظة على حجم ثابت للعينة، وحالما ينتهي ضغط الانتفاخ من التزايد بعد الغمر يمكن أن يتم تفريغ الحمولات. يوضح الشكل (2 - 24) مخططاً نموذجياً لمعطيات هذا النوع من التجارب حيث يمثل (a) عينة تم تشديدها إلى ما بعد ضغط الانتفاخ، ويمثل (b) ارتداد عينة تم نزع حمولاتها ابتداءً من ضغط الانتفاخ.

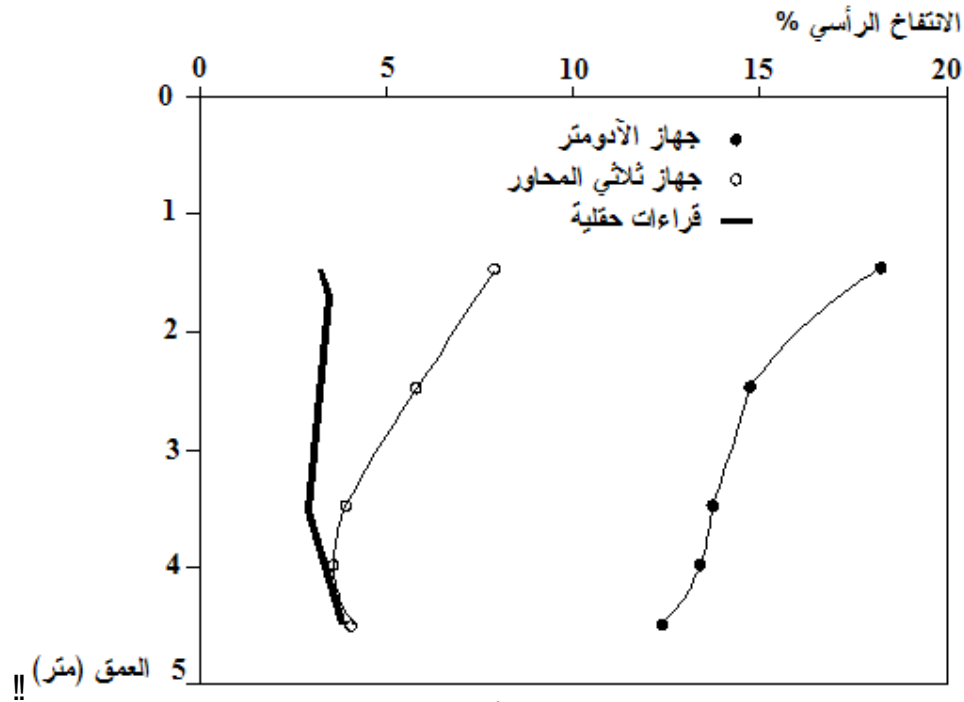


!!>10@ !d&OE! š!OE!!! !!! !d&!!! !!!!!!! !!!!!!!24!! 2!!%!! !OE

في كلا المجموعتين من التجارب يجب أن يتم تحليل النتائج وتفسيرها مع أخذ توالي التحميل والترطيب واضطراب العينة وانضغاطية جهاز الأدومتر بعين الاعتبار.

2-1-7-2- تجربة جهاز الضغط ثلاثي المحاور (Triaxial Test):

يسمح للعينة في هذه التجربة - بعد ترطيبها بالماء - بالانتفاخ في جميع الاتجاهات. ويمكن قياس الانتفاخ الحجمي بواسطة هذا الجهاز. ويتميز هذا الجهاز بأنه يمثل ما يحدث للتربة في الحقل، حيث يسمح للعينة بالانتفاخ في جميع الاتجاهات وذلك خلاف ما يحدث في جهاز الأدومتر حيث يسمح للعينة بالانتفاخ في الاتجاه الشاقولي فقط. كما أنه في جهاز ثلاثي المحاور يمكن قياس الانتفاخ الرأسي وكذلك الانتفاخ الحجمي للعينة وبالتالي فإنه يمكن حساب الانتفاخ الجانبي في هذا الجهاز [9]، [22]. وفي إحدى الدراسات الحديثة التي أجريت على التربة الانتفاخية في المملكة العربية السعودية تبين أن قيم الانتفاخ المقاسة باستخدام جهاز ثلاثي المحاور كانت قريبة من قيم الانتفاخ المقاسة في الحقل وذلك عند مقارنتها بنتائج تجربة الأدومتر وحيد الاتجاه حيث أعطت قيمة عالية نسبياً [9]، كما هو موضح في الشكل (2 - 25).



الشكل (2-25): مقارنة بين قيم الانتفاخ التجريبية وقيم الانتفاخ الحقلية [9]

2-7-2 الطرق غير المباشرة:

يوجد العديد من العلاقات النظرية التي تسمح بتقدير مقدار الانتفاخ وضغط الانتفاخ المتوقع تولده حقلياً وهذه العلاقات تربط خواص الانتفاخ بالخواص الفيزيائية للتربة والتي نحصل عليها بالتجارب المخبرية الخاصة بتوصيف التربة (الدراسة الجيوتكنيكية)، وسوف نستعرض فيما يلي بعض الأساليب العالمية المستخدمة في تقدير انتفاخ التربة وحساب ضغط الانتفاخ [8]، [17]، [18]، [19]، [31]، [40]:

1. التجربة المزدوجة (Jennings & Knight 1957): يتم إجراء التجربة على عينتين متجاورتين، حيث تجرى التجربة الأولى كتجربة تشديد بالطريقة الاعتيادية وعند الرطوبة الطبيعية في حين تكون التجربة الثانية تجربة تشديد - انتفاخ تحت تأثير حمولة إضافية صغيرة.
2. طريقة الـ (Volumenometer) للباحث (Debruijn 1961): تجرى التجربة بجهاز خاص يسمى (Volumenometer) وهو جهاز معدل عن جهاز الأدومتر، حيث يتم ترطيب عينات مجففة بالهواء بشكل بطيء ثم تجرى التجربة بتأثير أحمال إضافية مختلفة.
3. طريقة كولورادو (Schuster & Sampson & Budge 1965): يتم إجراء التجربة على عينتين متجاورتين، التجربة الأولى: تجربة تشديد - انتفاخ بتأثير أحمال إضافية مختلفة، والتجربة الثانية تجربة حجم ثابت - ارتداد وذلك عند نزع الحمولات.
4. طريقة الباحث الكندي (Noble 1966): يتم إجراء تجارب تشديد - انتفاخ على عينات مخربة ومشكلة وتحت تأثير حمولات إضافية مختلفة، ثم تعاد التجارب على عينات سليمة وذلك بهدف استنتاج علاقات تجريبية للغضاريات المدروسة.
5. طريقة الباحث (Sullivan & McClelland 1969): وهي تجربة حجم ثابت على عينات برطوبات مختلفة ومعرضة لحمولات إضافية عند الترطيب.
6. طريقة معهد أبحاث حيفا المحتلة (Wiseman & Komorink & Ben - Yacob 1969): تجرى تجارب الحجم الثابت عند أعماق مختلفة وتجرى تجارب تشديد - انتفاخ عند ضغوط إضافية ابتدائية مختلفة.

7. طريقة الباحث الأمريكي (Navy 1971): يتم إجراء تجارب عند أحمال إضافية مختلفة تمثل حمولات الردم والحمولات الإنشائية للأساس، وبالنتيجة يمكن تحديد منحنيات انتفاخ التربة المدروسة مع العمق.
8. طريقة الباحث الأمريكي (Gibbs 1973): وتسمى طريقة الـ (USBR)، وهي تجربة مزدوجة: التجربة الأولى هي تجربة تشديد - انتفاخ تحت تأثير حمولة خفيفة (1 psi)، والتجربة الثانية هي تجربة الحجم الثابت.
9. طريقة النمذجة المباشرة (Smith 1973): يتم إجراء مجموعة تجارب تشديد - انتفاخ تجرى على عينات مختلفة الرطوبة مع تطبيق حمولات الردم أو حمولات الأساس.
10. طريقة قسم الطرق في الميسيسبي (Teng & Clisby 1975): تجرى تجارب تشديد - انتفاخ على عينات مشكلة أو سليمة وبرطوبات مختلفة وتحت تأثير حمولات الردم.
11. التجربة مضبوطة الانفعال (Porter & Nelson 1980): يمكن حساب ضغط الانتفاخ في هذه التجربة بالمحافظة على حجم ثابت للعينة المدروسة عند الترطيب ثم يتبع ذلك تخفيض تدريجي للضغط المطبق على العينة مع ضبط التشوهات الحاصلة.
12. طريقة جامعة (Saskatchewan) في كندا: توصل إليها الباحث (Fredlund 1980) حيث تجرى تجربة الحجم الثابت ويتم تحليل النتائج مع الأخذ بعين الاعتبار تصحيح أخطاء اضطراب العينة وأخطاء القياسات.
13. طريقة الـ (ASTM): يمكن إجراء التجربة بثلاثة أساليب مختلفة وذلك تبعاً لطريقة التحميل في الموقع وهي كما يلي: أولاً: طريقة الانتفاخ - تشديد، ثانياً: تشديد - انتفاخ، ثالثاً: طريقة الحجم الثابت، وتعتبر هذه الطريقة من أكثر الطرق استخداماً في بلادنا.
14. طريقة الكود الروسي (SNIP): توجد طريقتان لتحديد ضغط الانتفاخ، الطريقة الأولى: تستخدم عينة واحدة يتم إشباعها بشكل حر ثم تطبق الحمولات بشكل تدريجي حتى تعود العينة إلى حجمها الأصلي قبل الإشباع. الطريقة الثانية: تستخدم عدة عينات متماثلة وكل عينة منها معرضة لحمولة خارجية مختلفة عند الإشباع.

!!
!!
!!
!!
!!
!!

الفصل الثالث ...

!!

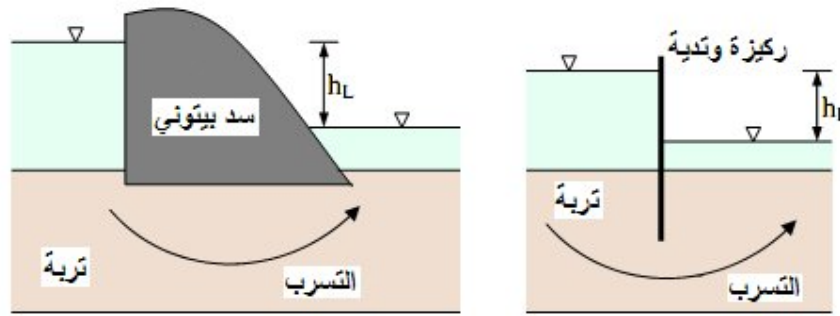
هيدروليك التربة وجريان الماء فيها

3-1- مقدمة:

كما نعلم فإن التربة تحتوي على مسامات، وهذه المسامات تختلف في توزيعها وحجمها وقطرها تبعاً لنوعية التربة وكثافتها. وغالباً ما تمتلئ هذه المسامات بالماء كلياً أو جزئياً بحسب تعرض التربة إلى الأمطار أو الجريانات أو التسرب أو الامتصاص أو غير ذلك. كما أن خواص التربة وخاصة حدود أتربرج التي تعبر عن مقاومتها تتأثر بماء المسام، حيث أن تغير كمية الماء يحول التربة من حالة السيولة إلى حالة الصلابة، فالتربة الغضارية مثلاً تتقلص بالجفاف وتصبح قاسية وقصيفة في حين أنها تنتفخ عندما تتعرض للرطوبة كما أنها تتلين وتتلدن. وكذلك فالترب الرملية المفككة تكتسب تماسكاً ظاهرياً عندما تتعرض للتطريب ويزول هذا التماسك إذا جفت التربة أو تعرضت للإشباع بالماء [10].

إن جريان الماء في التربة يتبع لخواص التربة وقابلية نفوذها، وتعرف قابلية النفوذ بأنها الخاصية التي تسمح للماء بالمرور ضمن التربة والجريان فيها. وبشكل عام فإن أي مادة يمكن أن تدعى مادة نفوذة إذا احتوت على فراغات، فالبيتون والرمل والغضار وغيرها من المواد كلها تعتبر مواد نفوذة ولكن بدرجات متفاوتة [10]، [26].

يسمى جريان الماء في التربة بالتسرب أو التدفق (Seepage or Flow)، ويحدث التسرب بسبب فرق منسوب الماء على جانبي المنشأة (سد، ركيزة وتدئية، جدار استنادي، ...)، ومن الضروري تحديد مقدار التسرب أسفل هذه المنشآت حيث تصبح هنا نفاذية التربة هي العامل الأساسي لتحديد مقدار التسرب [43].



الشكل (3-1): التسرب أسفل سد بيتوني - ركيزة وتدئية [43]

في هيدروليكا التربة لدينا في الغالب جريان دائم وهذا يعني أن سرعة الماء في كل نقطة من التربة تكون مستقلة عن الزمن وبهذا الشكل فإن جزيئات الماء تتبع مسار أو خط جريان غير متغير أو ثابت مع الزمن [26].

3-2- أشكال وجود الماء في التربة:

يمكن تقسيم الماء الموجود في التربة بشكل عام إلى ثلاثة أقسام وهي [5]:

1. الماء الجوفي: وهو الماء الذي يتوزع تحت منسوب البساط المائي ويخضع في حركته لقانون دارسي.
2. الماء الثقالي: وهو الماء القادر على الجريان ضمن التربة تحت تأثير وزنه الذاتي ويستمر في الجريان إلى أن يصل إلى البساط المائي عندئذ يصبح ماء جوفياً.
3. الماء الممسوك: وهو الماء الذي لا يستطيع الجريان في التربة تحت تأثير وزنه الذاتي حيث يبقى معلقاً في التربة، إن قسماً من هذا الماء يشكل طبقة مدمصة ملتصقة بسطح حبات التربة تؤثر على خواص التربة كما أن قسماً آخر من الماء الممسوك هو الماء الموجود عند نقاط تماس الحبات الصلبة مع بعضها البعض بسبب خاصية الشد الشعري.

3-3-1 مفهوم الضاغط الهيدروليكي:

1. الضاغط المكاني (Elevation Head): يمثل ارتفاع النقطة عن مستوى المقارنة المعتمد.

3. الضاغط الحركي (Velocity Head): يمثل الضاغط الناتج عن السرعة ويتبع إلى مربع سرعة الجريان والثقالة الأرضية، وهو يوافق الطاقة الحركية بينما يوافق مجموع الضاغطين المكاني والمائي الطاقة الكامنة.

$$\mathbf{h} = \mathbf{Z} + \left(\frac{\mathbf{U}}{\gamma_{\mathbf{W}}}\right) + \left(\frac{\mathbf{v}^2}{2\mathbf{g}}\right)$$

g: تسارع الجاذبية الأرضية.



إن جريان الماء ضمن مسامات التربة يتم بسرعة صغيرة جداً لأن التربة تقاوم هذا الجريان بشدة نتيجة الاحتكاك الحاصل بين جزيئات الماء وحببات التربة من جهة ونتيجة لزوجة الماء من جهة أخرى، ولذلك لمعبر عن الضغوط الحركي نظراً لصغره مقارنة مع الضاغطين المكاني!

والبيزومتري، فمن أجل سرعة مقدارها ($v = 10 \text{ cm / sec}$) وهي سرعة كبيرة لا نبلغها في الواقع فإن! قيمة الضاغط الحركي تساوي (0.5 mm) فقط وبالتالي فإن الضاغط الهيدروليكي الكلي في أي نقطة من التربة ما هو إلا عبارة عن مجموع الضاغطين المكاني والبيزومتري، وبالتالي تصبح معادلة برنولي المعبرة عن الجريان ضمن مسامات التربة كما يلي [10]، [33]، [43]:

$$!! h = Z + \left(\frac{U}{\gamma_w} \right)$$

3-2- سرعة الماء في التربة:

إن المسارات الحقيقية لخطوط جريان الماء في التربة تكون ملتوية ومتعرجة لذلك فإنه من غير الممكن تحديد السرعة الحقيقية للماء ولذلك سنحدد السرعة الوسطية [10]، [43].
ليكن (dq) تدفق الماء المناسب في أنبوب من التربة وذلك عبر سطح كلي (ds)، إن سرعة انخفاض الضاغط الهيدروليكي تساوي: $v = dq / ds$ ، ولإيجاد العلاقة بين سرعة انخفاض الضاغط التي هي سرعة وهمية والسرعة الحقيقية الوسطية (v') نأخذ أسطوانة من التربة مقطوعها (S) وارتفاعها (H) وعامل مساميتها (n) عندئذ يعطى حجم الفراغات بالعلاقة التالية [10]، [43]:

$$Sv \times H = n \times S \times H = n \times V$$

حيث أن: S : السطح الكلي للمقطع، Sv : السطح المشغول بواسطة الفراغات ($n \times S$).
وبما أن المياه تنساب فقط عبر المسامات المتصلة في التربة لذلك تكون السرعة الحقيقية الوسطية (v') كما يلي:

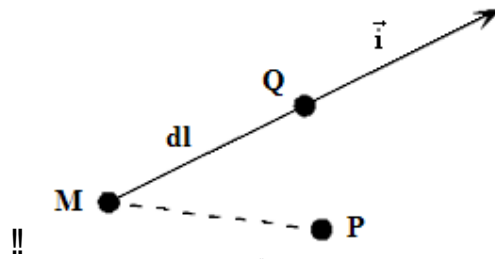
$$!! v' = \frac{dq}{n \times ds}$$

وبالتالي فإن: $v = n \times v'$

وفي الواقع فإن سرعة انخفاض الضاغط (v) هي السرعة المستخدمة في الحسابات، وهذا يتأكد لنا من خلال إهمال الطاقة الحركية في الجريان.

3-3- مفهوم الميل الهيدروليكي (الميل المائي):

إن الضاغط في نقطة مثل $M(x, y, z)$ هو عبارة عن تابع $h(x, y, z)$ لإحداثيات النقطة M ، نسمي الشعاع $\vec{i} \left(\frac{\partial h}{\partial x}, \frac{\partial h}{\partial y}, \frac{\partial h}{\partial z} \right)$ بالميل أو التدرج الهيدروليكي، [10]، [43]، الشكل (3-3).



الشكل (3-3): مفهوم الميل الهيدروليكي [43]

إذا أخذنا نقطة P مجاورة تماماً للنقطة M نستطيع أن نكتب:

$$M\vec{P}(dx, dy, dz)$$

$$!! \vec{i} \cdot M\vec{P} = -\frac{\partial h}{\partial x} dx - \frac{\partial h}{\partial y} dy - \frac{\partial h}{\partial z} dz$$

$$h_M - h_P = -dh = \vec{i} \cdot M\vec{P}$$

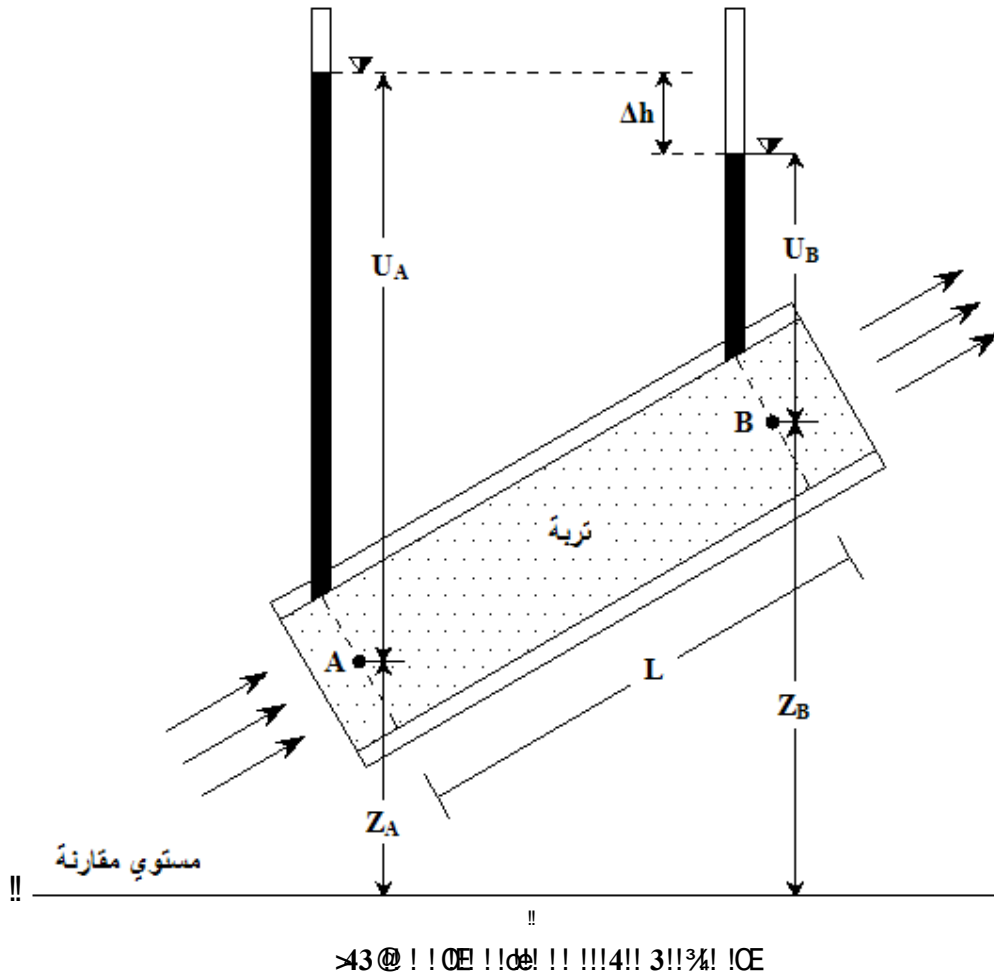
وغير ذلك من المجالات التطبيقية التي تعتمد أساساً على معرفة عامل نفاذية التربة.

ينتقل الماء الحر الشعري ضمن مسامات التربة بآلية خاضعة لقانون دارسي (Darcy 1856) [10]، [20]، [30]، [43]، وللحصول على علاقة أساسية لكمية التسرب عبر كتلة من التربة في حالة معينة سندرس الحالة المبينة في الشكل (3 - 4)، حيث أن مساحة المقطع العرضي للتربة تساوي (A) ومعدل التسرب (q) وكما رأينا سابقاً فإن الضاغط الكلي للجريان في أي مقطع من التربة يعطى بعلاقة برنولي:

الضاغط الكلي عند المقطع A: $Z_A + U_A$ ، الضاغط الكلي عند المقطع B: $Z_B + U_B$ ، حيث: Z_A, Z_B : هما الارتفاعان الجغرافيان للنقطتين عن مستوي مقارنة محدد. U_A, U_B : هما الضاغط المائي أو البيزومتري عند النقطتين: A, B.

$$\Delta h = (Z_A + U_A) - (Z_B + U_B)$$

ويمكن أن نكتب الميل الهيدروليكي كالتالي: $i = \frac{\Delta h}{L}$ حيث أن (L) هي المسافة بين المقطعين (A, B).



!!
لقد أوجد دارسي علاقة بسيطة بين سرعة التسرب والميل الهيدروليكي من أجل الجريان وحيد الاتجاه حيث افترض وجود تناسب بين سرعة انخفاض الضاغط والميل الهيدروليكي كما يلي:

$$v = k \times i$$

حيث أن:

v : سرعة التسرب أو سرعة انخفاض الضاغط.

i : الميل الهيدروليكي.

k : عامل النفاذية.

وبذلك يكون معدل التسرب (q) : $q = k \times i \times A$

حيث (A) هي المقطع العرضي للتربة العمودي على اتجاه الجريان.

إن عامل النفاذية (k) هو مقياس لمقاومة التربة لجريان الماء فيها، ويقاس بوحدات قياس السرعة نفسها $(cm/sec, mm/sec)$.

وبمعرفة خواص الماء التي تؤثر على الجريان يمكن أن نعبر عن عامل النفاذية بالعلاقة التالية:

$$k = \frac{K \cdot \gamma_w}{\mu}$$

حيث أن:

K : عامل يرتبط بالوسط النفوذ فقط.

إن السرعة (v) تمثل سرعة التسرب المحسوبة على أساس المساحة الإجمالية للمقطع العرضي. وبما أن الماء يمكن أن يمر فقط خلال المسامات الموجودة بين حبات التربة فإن السرعة الحقيقية للتسرب عبر التربة (v') تعطى كما رأينا سابقاً بالعلاقة: $v' = \frac{dq}{n \times ds}$ حيث: n مسامية التربة.

وقد أعطيت بعض القيم النموذجية لعامل النفاذية في الجدول (3 - 2):

الجدول (3 - 2): بعض القيم التقديرية لعامل النفاذية تبعاً لنوع التربة [10]

k (cm/sec)	
$10^{-11} < k < 10^{-2}$!
$10^{-3} < k < 10^{-1}$!
$10^{-7} < k < 10^{-3}$!
$10^{-11} < k < 10^{-7}$!

إن عامل النفاذية يقاس عادةً عند درجة حرارة (20°C)، أما عند أي درجة حرارة أخرى (T) فإن عامل النفاذية يمكن الحصول عليه بالعلاقة التالية:

$$\frac{k(20)}{k(T)} = \frac{(\rho_{20}) \times (\mu_T)}{(\rho_T) \times (\mu_{20})}$$

حيث أن:

$k(20)$, $k(T)$: عوامل النفاذية عند درجات الحرارة (20°C , $T^\circ\text{C}$) على التوالي.
 $\rho(20)$, $\rho(T)$: الكثافة الكتلية للسائل عند درجات الحرارة (20°C , $T^\circ\text{C}$) على التوالي.
 $\mu(20)$, $\mu(T)$: عوامل اللزوجة عند درجات الحرارة (20°C , $T^\circ\text{C}$) على التوالي.

وبما أن النسبة $\frac{\rho_{20}}{\rho_T}$ تساوي تقريباً الواحد فيمكننا أن نكتب:

$$k(20) = \frac{k(T) \times (\mu_T)}{(\mu_{20})}$$

ويبين الجدول (3 - 3) قيم $\frac{\mu_T}{\mu_{20}}$ من أجل درجات الحرارة (T) المتغيرة بين $10 - 30^\circ\text{C}$:

الجدول (3 - 3): عامل تصحيح عامل النفاذية تبعاً لتغير درجات الحرارة [10]

$T^\circ\text{C}$	μ_T / μ_{20}	$T^\circ\text{C}$	μ_T / μ_{20}	$T^\circ\text{C}$	μ_T / μ_{20}
10	1.298	17	1.078	24	0.908
11	1.263	18	1.051	25	0.887
12	1.228	19	1.025	26	0.867
13	1.195	20	1.000	27	0.847
14	1.165	21	0.975	28	0.829
15	1.135	22	0.952	29	0.811
16	1.106	23	0.930	30	0.793

تعتمد النفاذية فقط على خصائص المادة المختبرة، ولكن أيضاً على طبيعة سائل [10]، [20]، وهناك تعبير آخر لقانون دارسي يأخذ بعين الاعتبار

$$\mathbf{K} = \mathbf{k} . (\mu / \gamma)$$

γ : الوزن الحجمي للسائل.

3-4-3- تعميم قانون داریسی:

3-4-3- حالة وسط متجانس وموحد الخواص:

$$\vec{v} = \mathbf{k} \times \vec{i}$$
$$\vec{i} = \text{grad} \vec{h}$$

وبالتالي فإن قانون دارسي يمكن كتابته بالشكل:

$$\vec{v} = -k \cdot \text{grad} \cdot h = \text{grad} \cdot (-kh)$$

$$\mathbf{v}_x = -\mathbf{k} \frac{\partial \mathbf{h}}{\partial \mathbf{x}}, \mathbf{v}_y = -\mathbf{k} \frac{\partial \mathbf{h}}{\partial \mathbf{y}}, \mathbf{v}_z = -\mathbf{k} \frac{\partial \mathbf{h}}{\partial \mathbf{z}}$$

3-4-3-2- حالة وسط متجانس غير موحد الخواص:

وفي هذه الحالة شعاع الميل الهيدروليكي وشعاع سرعة انخفاض الضاغط لا يبقيان متماسكين ويستنتج الواحد من الآخر بعملية خطية [10]. ويكتب قانون دارسي في هذه الحالة بالشكل:

$$\mathbf{v} = -\bar{\mathbf{k}} \cdot \text{grad} \vec{h}$$

حيث أن \bar{k} مصفوفة (تتسور) النفاذية.

كما أن مركبات السرعة تأخذ القيم التالية:

$$\mathbf{v}_x = -\mathbf{k}_x \frac{\partial \mathbf{h}}{\partial \mathbf{x}}, \mathbf{v}_y = -\mathbf{k}_y \frac{\partial \mathbf{h}}{\partial \mathbf{y}}, \mathbf{v}_z = -\mathbf{k}_z \frac{\partial \mathbf{h}}{\partial \mathbf{z}}$$

3-4-4- صلاحية قانون داریسی:

يطبق قانون دارسي في حالة الجريان الصفحي (المنتظم) فقط أي السرعات القليلة للجريان حيث يتم أخذ قوى الجاذبية بعين الاعتبار، وبما أنه لا يحدث أي جريان مضطرب في معظم أنواع الترب (الرمال - السيلت - الغضار) عدا البحص والرمال الخشن المنتظم التدرج، فقد أجريت دراسات عدة لتحديد مجال صلاحية قانون دارسي [10]، [20]، [21]. وقد أعطى موسكات (Muskat 1937) ملاحظات مهمة عن هذا الموضوع. كما وضع رينولدس معياراً لتحديد صلاحية قانون دارسي يسمى رقم رينولدس يعطى من أجل جريان الماء في التربة بالعلاقة [36]، [47]:

$$\text{!! } R_n = \frac{v \cdot D \cdot \rho}{\mu}$$

انخفاض الضاغط (cm/sec).

D: القطر الوسطي لحبات التربة (cm).

ρ : الكتلة الحجمية للسائل (gr/cm^3).

μ : معامل لزوجة السائل (gr/cm.sec).

وقد بينت التجارب أن الجريان يكون صفحياً (منتظماً) إذا تحققت العلاقة:

$$R_n = \frac{v \cdot D \cdot \rho}{\mu} \leq 1$$

فإذا أخذنا تربة خشنة قطر حباتها الوسطي ($D = 0.45 \text{ mm}$) وعامل نفاذيتها ($k = 0.203 \text{ cm/sec}$) وبفرض أن ($i = 1$)، عندئذ تكون السرعة:

$$v = k \cdot i = 0.203 \text{ cm/sec}$$

ومن أجل ($\rho_{\text{water}} \approx 1 \text{ gr/cm}^3$) وكذلك ($\mu = 981 \times 10^{-5} \text{ gr/cm.sec}$) عند درجة حرارة 20°C ، نجد أن عدد رينولدس يساوي:

$$R_n = \frac{0.203 \times 0.045 \times 1}{981 \times 10^{-5}} = 0.931 < 1$$

لذلك نرى من الحسابات السابقة أن جريان الماء يعتبر منتظماً في أنواع التربة (الرمل - السيلت - الغضار) حيث يمكن تطبيق قانون دارسي [10]، [21]. ويمكن توقع حدوث جريان غير منتظم في الأتربة الرملية الخشنة والبص والحصى ويمكن إعطاء الميل الهيدروليكي فيها بالعلاقة التالية:

$$i = av + bv^2$$

حيث أن a و b ثوابت تجريبية تختلف حسب نوع التربة (Forsheimer 1902) [20]، [47]. وقد لخص ليبس (Leps 1973) العوامل المؤثرة على سرعة الجريان عبر مسامات البحص النظيف والصخر. وتدل معظم الأبحاث على أن سرعة الرشح عبر مساماتها يمكن أن تعطى بالعلاقة التالية [20]، [26]:

$$U_v = C \cdot (R_H)^{0.5} \cdot i^{0.54}$$

حيث:

U_v : السرعة الوسطية للجريان عبر المسامات.

C : ثابت يتبع شكل وخشونة حبات الصخر.

R_H : نصف القطر الهيدروليكي.

i : الميل الهيدروليكي الوسطي.

وقد أشار (Hansbo 1960) إلى أن تطبيق قانون دارسي يعطي أخطاء في حالة السرعات الضعيفة جداً بسبب انخفاض الضاغط الناتج عن الظواهر الغروية، وكذلك في حالة السرعات العالية جداً بسبب الدور الذي تلعبه قوى العطالة أثناء الحركة غير المنتظمة [20].

كما أوضح كل من الباحثين (Robinet & Rhattas 1995) أن التحديد التجريبي لمعاملات النفاذية في حالة الترب الناعمة ذات المسامية الضعيفة والمشبعة جزئياً يصبح صعباً بسبب التأثير المتبادل بين الماء وحبات التربة التي تخفض حركة الماء المسامي، كما أن الانحراف عن قانون دارسي لا يتم بشكل مفاجئ، بل يعتمد على قوى الارتباط بين الماء والطور الصلب، وضمن ظروف معينة يصبح الغضار أكثر مسامية وبالتالي أكثر نفاذية مع تزايد الميل الهيدروليكي [20]، [28]، [30].

من جهة أخرى هناك نتائج تجريبية للباحثين (Olsen 1965, Tavenas 1983, Hillel 1988) [10]، [20] تظهر أن قانون دارسي قابل للتطبيق على الجزء الأكبر من الأتربة الناعمة، فعندما يكون ($i < i_c$) لا يمكن تطبيق قانون دارسي على الترب الناعمة في حين يمكن تطبيقه عندما يكون ($i > i_c$) حيث i_c هو الميل الهيدروليكي الحرج، وهذا الانحراف عن قانون دارسي مبين في الشكل (3 - 5)، ويمثل بالعلاقة التالية:

$$V = k \cdot (i - i_c), (i > i_c)$$



32

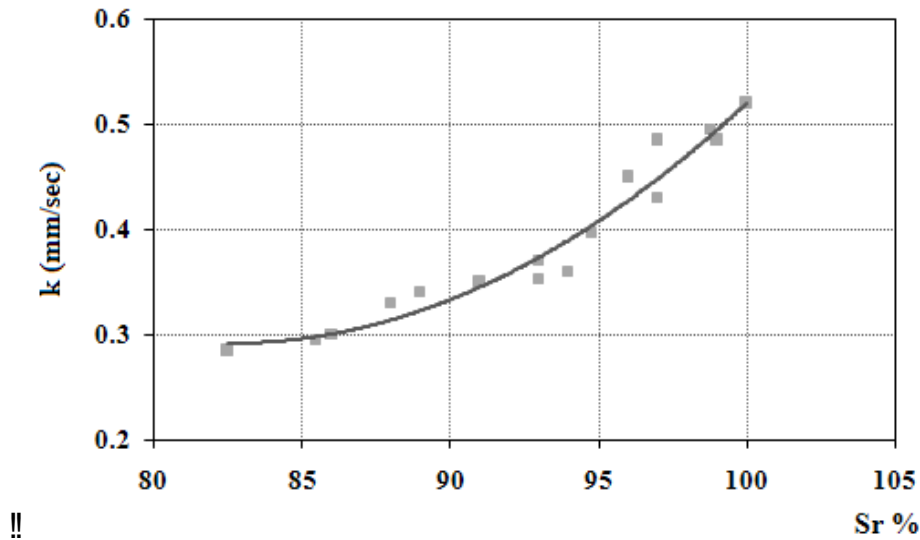


Figure 6.1: Permeability coefficient k (mm/sec) versus Sr % for Madison sandstone.

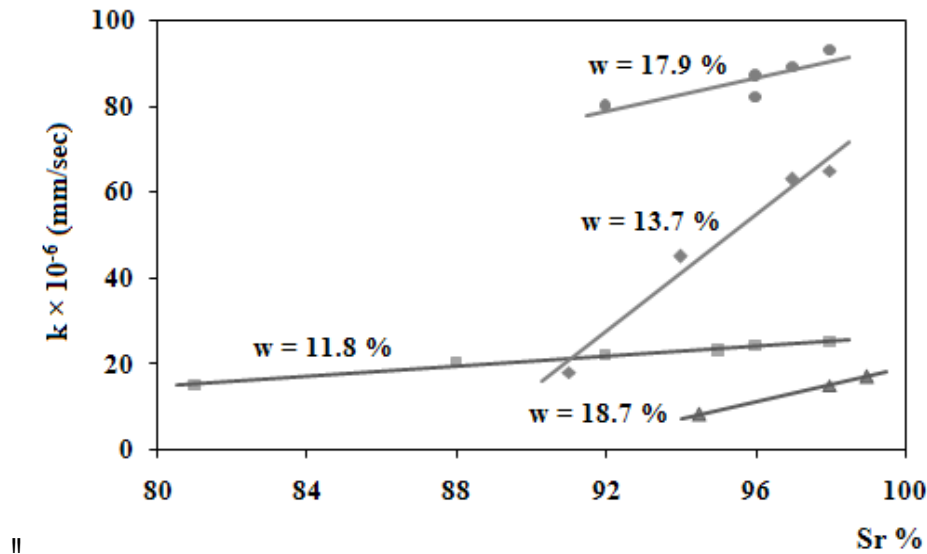


Figure 6.2: Permeability coefficient $k \times 10^{-6}$ (mm/sec) versus Sr % for different water content levels (w).

6. تأثير ضغط الانتفاخ التربة: لم نجد من خلال الدراسة المرجعية للمراجع ذات الصلة بموضوع البحث ما يشير إلى تأثير ضغط الانتفاخ على قيمة عامل النفاذية بشكل واضح، إلا أن بعض المراجع نوهت إلى أن زيادة قابلية التربة للانتفاخ تؤدي إلى تناقص نفاذيتها لأنه مع زيادة سماكة طبقة الماء المدمصة حول الحبيبات ينقص حجم الفراغات التي يمكن للماء الحر الجريان عبرها وبالتالي تنخفض النفاذية بشكل كبير [20]، [36]، [43]، [44]، وستتم دراسة تأثير ضغط الانتفاخ على نفاذية الترب المدروسة في بحثنا لتحديد مقدار تأثير ضغط الانتفاخ على عامل النفاذية بشكل خاص باعتبار ضغط الانتفاخ المتحول الرئيسي المعبر عن السلوك الانتفاخي للتربة الغضارية.

3-7- قياس عامل النفاذية:

تعتمد طريقة قياس عامل النفاذية على طبيعة التربة. وهناك عدة طرق لقياس قيمة هذا العامل منها ما يتم بالمخبر وتسمى طرق مخبرية ومنها ما يجري في الطبيعة وتسمى طرق حقلية نقوم بإجرائها للحصول على قيم واقعية وعملية.

3-7-1- الطرق المخبرية لقياس عامل النفاذية:

- إن تحديد قيمة عامل النفاذية في المخبر لا تخلو من بعض السلبيات، ونذكر منها:
 1. الاختبارات والقياسات المخبرية لا تعكس نفاذية التربة في الطبيعة بشكل دقيق.
 2. الطرق المخبرية تقيس نفاذية التربة الشاقولية فقط دون تحديد النفاذية الأفقية للتربة.
 3. قد تحدث أخطاء في القياسات التجريبية تؤدي إلى نتائج مخبرية غير دقيقة.
 4. إن نتائج الطرق المخبرية تتأثر بعدة عوامل منها درجة الحرارة ودرجة إشباع العينة ونسبة الفراغات فيها.

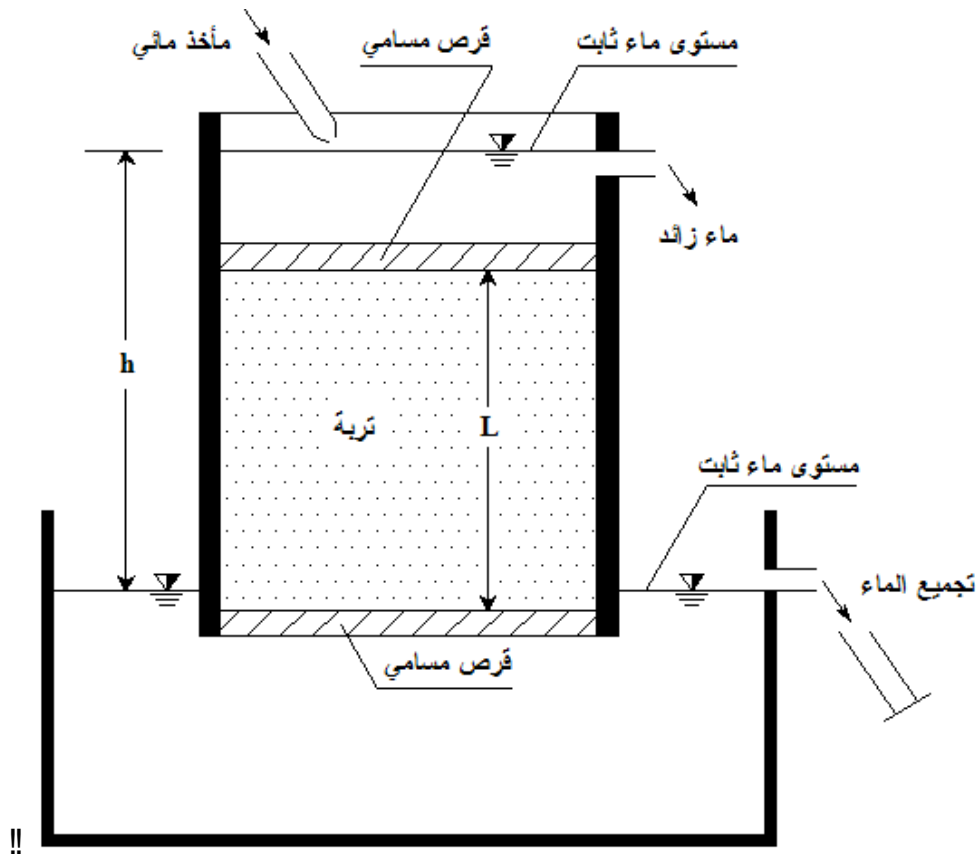
والطرق المخبرية الأكثر شيوعاً في تحديد قيمة عامل النفاذية هي كالتالي [11]، [20]:

1. قياس مباشر بواسطة تجربة النفاذية ذات الضاغط الثابت.
2. قياس مباشر بواسطة تجربة النفاذية ذات الضاغط المتغير.
3. قياس غير مباشر بواسطة تجربة الرش الشعري الأفقي.
4. قياس غير مباشر من تجربة التشديد.

3-7-1-1- تجربة النفاذية ذات الضاغط الثابت (Constant Head Soil Permeability Test):

المراجع القياسية لهذه التجربة هي: ASTM D - 2325 , BS , [11] ، [48] ، [49].

إن تجربة الضاغط الثابت مناسبة للتربة الحبيبية المفككة العالية النفاذية كالحصى والرمل. يوضح الشكل (3 - 10) تجربة النفاذية ذات الضاغط الثابت حيث يتألف الجهاز المستخدم من مستودعين للماء منسوب الماء في كل منهما ثابت وبالتالي يوجد بينهما فرق ضاغط ثابت مقداره h ويتم الحفاظ عليه بضبط المأخذ المائي. توضع عينة التربة داخل علبة أسطوانية حيث ينتقل الماء من هذه العلبة إلى الوعاء السفلي وذلك عبر العينة ومن ثم إلى وعاء تجمع الماء المار في التربة ذات الطول L والمقطع A الموضوعة بين قرصين مساميين لهما قابلية نفوذ كبيرة جداً والغاية منهما توزيع ضغط الماء بشكل منتظم على أسفل العينة وأعلىها ومنع جرف التربة.



$$Q = q \times t = k \times i \times A \times t$$

إن كمية الماء المار Q خلال زمن t بالاستناد إلى قانون دارسي تعطى بالعلاقة:

$$Q = q \times t = k \times i \times A \times t$$

حيث: A : مساحة المقطع العرضي لعينة التربة المدروسة.

i : الميل الهيدروليكي الذي تبقى قيمته ثابتة خلال التجربة وتساوي: $i = h / L$

وبالتالي تصبح العلاقة السابقة كما يلي:

$$Q = k \times (h / L) \times A \times t$$

ومنه تكون قيمة عامل النفاذية:

$$k = \frac{Q \times L}{h \times A \times t}$$

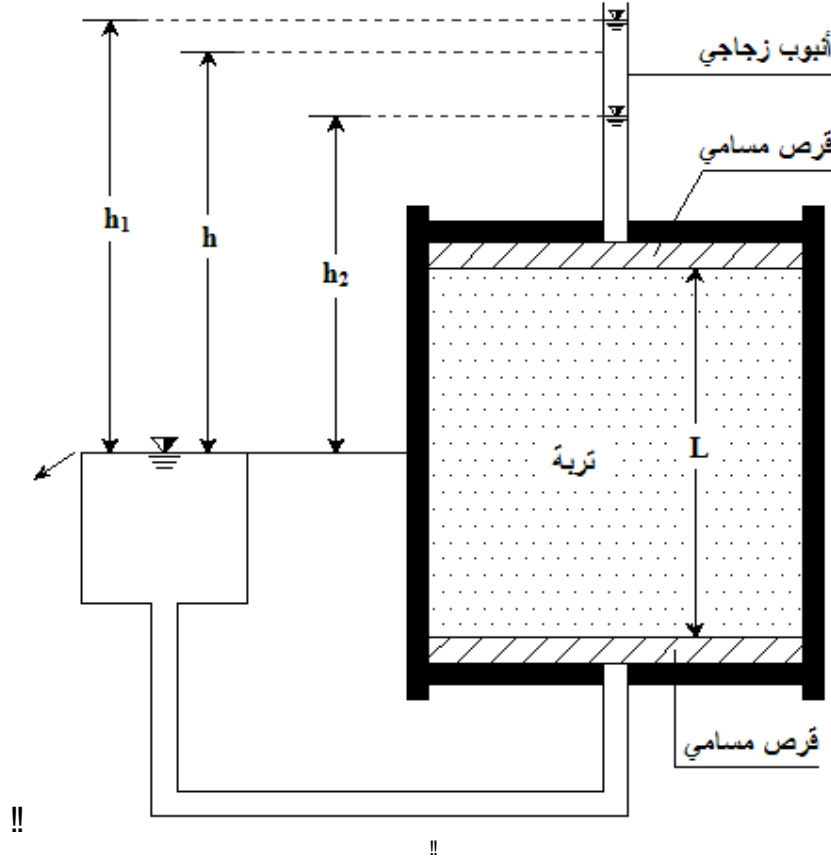
وبالتالي يمكن من خلال هذه التجربة قياس كمية الماء Q المارة في العينة والمتجمعة في وعاء التجميع خلال فترة زمنية t . ومنه يمكن حساب عامل النفاذية k من العلاقة السابقة بمعرفة قيمة الضاغط الثابت h . ويجب إجراء عدة تجارب جريان لعينات مختلفة من التربة ويؤخذ متوسط القيم الناتجة لعامل النفاذية، كما ينبغي تفريغ الهواء من العينة قبل التجربة واستخدام ماء خالي من الهواء.

3-7-1-2- تجربة النفاذية ذات الضاغط المتغير (Falling Head Soil Permeability Test):

المراجع القياسية لهذه التجربة هي: ASTM D - 2434, BS, [11], [48], [49].

نلجأ إلى هذه التجربة من أجل قياس عامل النفاذية في الترب ذات الحبات الناعمة كالغضار أو الترب
ون كمية الماء التي تجري ضمن العينة قليلة نسبياً.

لهذه الغاية نستخدم جهاز قياس النفاذية المبين في الشكل (3 - 11)، ويتألف من وعاء توضع فيه العينة بين قرصين مساميين لهما قابلية نفوذ كبيرة ويتصل هذا الوعاء من الأعلى بأنبوب زجاجي صغير القطر بحيث يجري الماء من الأنبوب عبر العينة ويسجل الارتفاع الأولي للماء في اللحظة (t = 0)، أي قبل التجربة وليكن هذا الارتفاع h_1 ، وبعد السماح للماء بالجريان خلال التربة يصبح فرق الارتفاع النهائي عند اللحظة (t = t)، وليكن هذا الارتفاع h_2 .



!! > 1 @ f !! !OE! de !OE OE f !OE!! !!! 1!! 3!! %! !OE

إن كمية الماء المارة ضمن عينة التربة هي:

$$q = k \times i \times A = k \times \left(\frac{h}{L}\right) \times A = -a \times \frac{dh}{dt}$$

حيث:

h : فرق الارتفاع في أي وقت.

A : مساحة مقطع العينة.

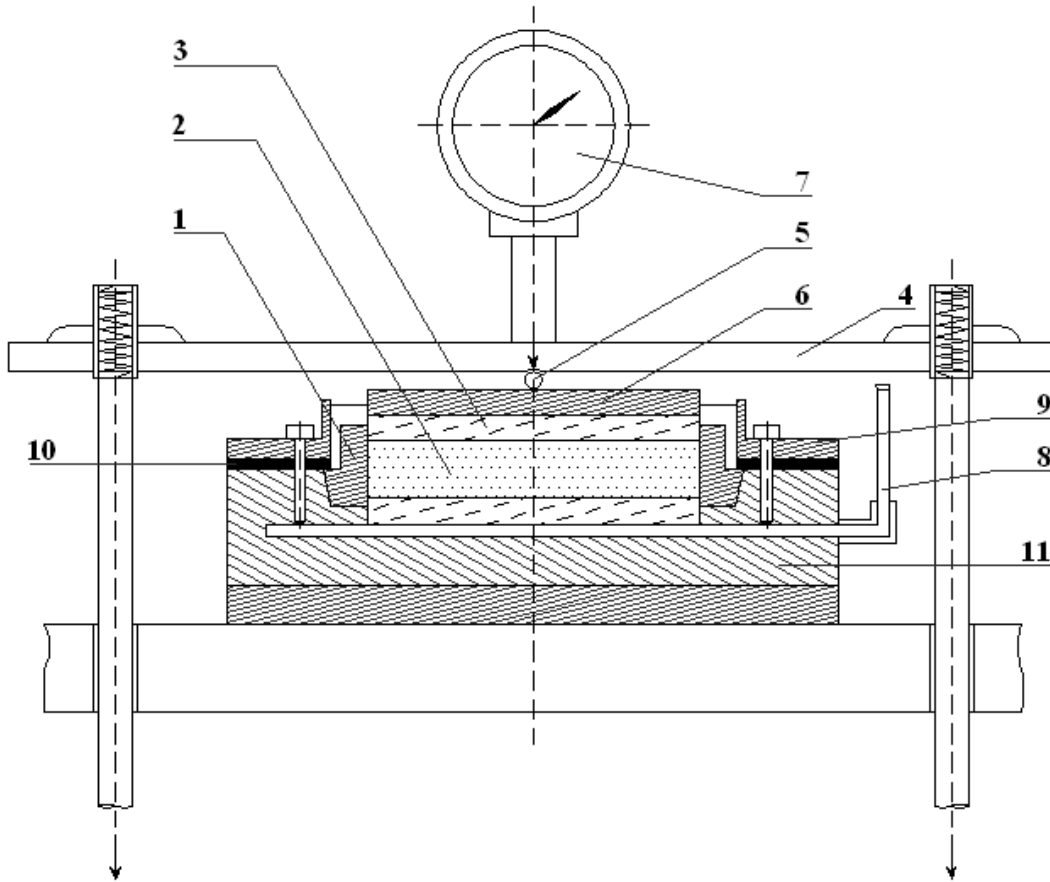
a : مساحة مقطع الأنبوب الصغير.

L : طول العينة.

وتدل الإشارة السالبة على تناقص ارتفاع الماء، وبإصلاح العلاقة السابقة نجد:

$$-\frac{dh}{h} = k \times \left(\frac{A}{L \times a}\right) \times dt$$

وبمكاملة الطرفين نحصل على مقدار الهبوط أو التناقص في قيمة الضاغط المائي من h_1 إلى h_2 خلال فترة زمنية t .



!!>47@de! OEfs! !!!!!!! OEde !!!12!! 3!!¾! !OE

!!

نقوم بإجراء تجربة التشديد وحيد الاتجاه وفق الخطوات التالية:

1. يتم تجهيز العينة ووضعها ضمن حلقة التشديد بين القرصين المساميين العلوي والسفلي للسماح للماء بالمرور من العينة وإليها.
2. نغمر العينة بالماء وننتظر فترة من الزمن للتأكد من إمكانية انتفاخ العينة أو عدم انتفاخها، وذلك من خلال مراقبة مؤشر التشوهات ففي حال دوران المؤشر عكس عقارب الساعة فهذا يدل على حدوث انتفاخ في العينة (قراءات سالبة للتشوه) وعندها ننتظر الزمن الكافي لاستقرار الانتفاخ ثم نبدأ بتطبيق الحمولات على العينة، وفي حال عدم انتفاخ العينة نبدأ بالتحميل مباشرة حيث يبدأ انضغاط (هبوط) العينة ويتحرك المؤشر مع عقارب الساعة (قراءات موجبة للتشوه).
3. عند كل حمولة يتم تطبيقها على العينة تؤخذ قراءات التشوه (الهبوط أو الانتفاخ) الذي يحدث وذلك خلال فترات زمنية تختلف حسب نوع التربة والغاية من الدراسة، وتكون هذه الفترات عادةً كما يلي: من بداية التحميل حتى (30 sec) ثم (30 - 25 - 20 - 15 - 13 - 10 - 8 - 4 - 2) دقيقة، ثم (1 - 24 - 22 - 20 - 18 - 16 - 14 - 12 - 10 - 8 - 4 - 2) ساعة.
4. نستمر بالتحميل حتى استقرار الهبوط (أي عند ثبات القراءات) وبالتالي تكون العينة قد وصلت إلى وضع التوازن، أي تكون عملية التشديد قد انتهت تحت تأثير الحمولة المطبقة وبمعنى آخر أنه تم طرد ماء المسام الزائد كاملاً وتلاشى الضغط الناشئ عنه.
5. نطبق سلسلة من الحمولات على العينة وتكون عادةً كل حمولة ضعف الحمولة التي سبقتها. مولة القياسات التي تمت للحمولة الأولى ونترك الفترة الزمنية نفسها.

ولتحليل نتائج التجربة يتم عادةً تمثيل النتائج بمنحنيين [46]، [47]:

-
- A graph showing the relationship between energy e (vertical axis) and stress σ (horizontal axis). The curve is non-linear and convex. Two points are marked on the curve: one at (σ_0, e_0) and another at (σ, e) . The horizontal distance between these points is labeled $\Delta\sigma$, and the vertical distance is labeled Δe .

ويتم تعيين نسبة الفراغات عند نهاية أي مرحلة وفق طريقتين [10]، [47]:

- $$H_s = \frac{M_s}{G_s \times A \times \rho_w}$$

$$\mathbf{e}_i = \frac{\mathbf{H}_i - \mathbf{H}_s}{\mathbf{H}_s}$$
$$H_i = H_0 \pm \sum \Delta H$$

created with
nitro^{PDF} professional
download the free trial online at nitropdf.com/professional

$\Sigma \Delta H$: مجموع التغيرات في ارتفاع العينة حتى نهاية المرحلة المدروسة.

- إيجاد نسبة الفراغات بطريقة محتوى الرطوبة النهائي: تستخدم هذه الطريقة في العينات المشبعة كلياً، فإذا كانت W_f محتوى الرطوبة عند نهاية التجربة، فإن نسبة الفراغات في نهاية التجربة e_f تعطى بالعلاقة التالية:

$$e_f = W_f \cdot G_s$$

أما في العينة المطوقة جانبياً (عديمة التوسع جانبياً) حيث يكون الارتفاع H يتناسب مع المقدار (1 + e) يمكننا أن نكتب:

$$\frac{\Delta H}{H} = \frac{\Delta e}{1+e}$$

وبالتالي تغير نسبة الفراغات تعطى بالعلاقة:

$$\Delta e = \frac{1+e_f}{H_f} \cdot \Delta H$$

ويمكن من خلال تجربة التشديد تعيين معاملات الانضغاط التي تعتبر مؤشرات هامة تعبر عن سلوك التربة والتغيرات الحجمية التي تطرأ عليها أثناء تعرضها لضغط خارجي، وهذه المعاملات هي [10]، [46]، [47]:

1. معامل قابلية الانضغاط a_v (coefficient of compressibility): وهو عبارة عن النقصان في نسبة الفراغ منسوباً إلى تغير الضغط الخارجي.
2. معامل الانضغاط الحجمي m_v (coefficient of volume compressibility): وهو عبارة عن التغير الحجمي لواحدة الحجم منسوبة إلى التغير في الضغط الخارجي.
3. دليل الانضغاط c_c (compression index): وهو عبارة عن التغير في نسبة الفراغ منسوباً إلى التغير في لوغاريتم الضغط الخارجي المطبق، وفي حالة الانتفاخ يكون دليل الانتفاخ (ويشكل مشابه لدليل الانضغاط) يساوي إلى التغير في نسبة الفراغ (زيادة) منسوباً إلى التغير في لوغاريتم الضغط الخارجي (تناقص الضغط).

ويمكن استنتاج قيم المعاملات السابقة اعتماداً على نتائج تجربة التشديد كما يلي:

1. معامل قابلية الانضغاط a_v : عند حدوث زيادة جزئية في الضغط الفعال قدرها $\Delta \sigma$ فإنه يحدث تغير في نسبة الفراغات قدره Δe حيث:

$$\Delta e = e_f - e_o$$

e_o ، e_f : نسب الفراغات عند بداية ونهاية التشديد تحت تأثير الضغط الإضافي.

$$a_v = \frac{\Delta e}{\Delta \sigma} = \frac{e_o - e_f}{\Delta \sigma}$$

والإشارة السالبة تشير إلى أن نسبة الفراغات تتناقص مع زيادة الضغط σ أي أن التناسب عكسي بينهما. وتقدر قيمة a_v بالوحدات الدولية بـ m^2/KN (أي مقلوب واحدة الإجهاد).

2. معامل الانضغاط الحجمي m_v : ويعرف بأنه التغير في واحدة الحجم عند زيادة واحدة في الضغط ويعطى بدلالة نسبة الفراغات بالعلاقة التالية:

$$m_v = \frac{e_f - e_o}{1+e_o} \times \frac{1}{\sigma_f - \sigma_o} = \frac{\Delta e}{1+e_o} \times \frac{1}{\Delta \sigma} = \frac{a_v}{1+e_o}$$

العلاقة:

$$m_v = \frac{\Delta V/V}{\Delta \sigma} = \frac{\Delta H/H}{\Delta \sigma} : \frac{\Delta H}{H} = \frac{\Delta e}{1+e} \Rightarrow m_v = \frac{e_f - e_o}{1+e} \times \frac{1}{\sigma_f - \sigma_o}$$

ويمكن التعبير عن قيمة Δe بالشكل: $\Delta e = \frac{\Delta H}{H_o} (1 + e_o)$

$$m_v = \frac{\Delta H}{H_o} \times \frac{1}{\Delta \sigma}$$

حيث: ΔH : التغير في ارتفاع العينة المشددة.

H_o : ارتفاع العينة البدائي.

إن وحدات m_v هي نفس وحدات a_v أي مقلوب واحدة الإجهاد، ويبين الجدول (3 - 4) قيم معامل الانضغاط الحجمي لبعض أنواع التربة:

الجدول (3 - 4): قيم معامل الانضغاط الحجمي لبعض الترب تبعاً لقابليتها للانضغاط [47]

M_v (cm ² /kg)	!!!!!!
> 0.1	!!!!!!
0.1 - 0.02	!!!!!!
0.02 - 0.005	!!!!!!
0.005 - 0.002	!!!!!!
< 0.002	!!!!!!

3. دليل الانضغاط c_e : هو ميل الجزء الخطي (المستقيم) من مخطط العلاقة بين نسبة الفراغات ولوغاريتم الضغط الفعال المطبق، أي أنه عبارة عن ثابت بدون أبعاد.

وهكذا من أجل أي نقطتين على القسم المستقيم من المنحني يمكن إيجاد قيمة c_e بالعلاقة:

$$c_e = - \frac{\Delta e}{\Delta \log \sigma'} = \frac{e_o - e_f}{\log(\sigma_f / \sigma_o)}$$

ومنه يمكن استنتاج نسبة الفراغات النهائية e_f :

$$e_f = e_o - c_e \times \log[(\sigma_o - \Delta \sigma) / \sigma_o]$$

يبين الشكل (3 - 14) كيفية إيجاد قيمة c_e ، وعلى الرغم من أن العلاقة ($\log \sigma'$, e) هي الطريقة الشائعة لتمثيل منحنى الانضغاطية إلا أن التشوه الشاقولي يكون أكثر فاعلية من نسبة الفراغات في إظهار نتائج تجربة التشديد وحيد الاتجاه ويعتمد التشوه على الارتفاع الأصلي للعينة H_o وتغير ارتفاعها أثناء مراحل التحميل ΔH ، وعليه فإن التغير النسبي في الارتفاع ε يعطى بالعلاقة:

$$\varepsilon = \Delta H / H_o$$



!!

11

أحياناً يسمى دليل الانضغاطية المعدل c_{cg} بنسبة الانضغاط، وتعطى العلاقة بينه وبين دليل الانضغاطية c_c كما يلي:

وهناك علاقات تجريبية تربط بين دليل الانضغاطية c_e وبعض الخواص الفيزيائية للتربة كحد السيولة وقد أعطى كل من الباحثين ترزاكي وبك 1967 هذه العلاقة للترب المتماسكة المشددة طبيعياً والمتوسطة الحساسية كما يلي:

كما أعطى الباحث سكيمبتون علاقة تجريبية لتحديد علاقة حد السيولة بدليل الانضغاطية للترب المخربة كما يلي:

تعيين معامل التشديد الشاقولي C_v (coefficient of vertical consolidation):

created with
nitro^{PDF} professional
download the free trial online at nitropdf.com/professional

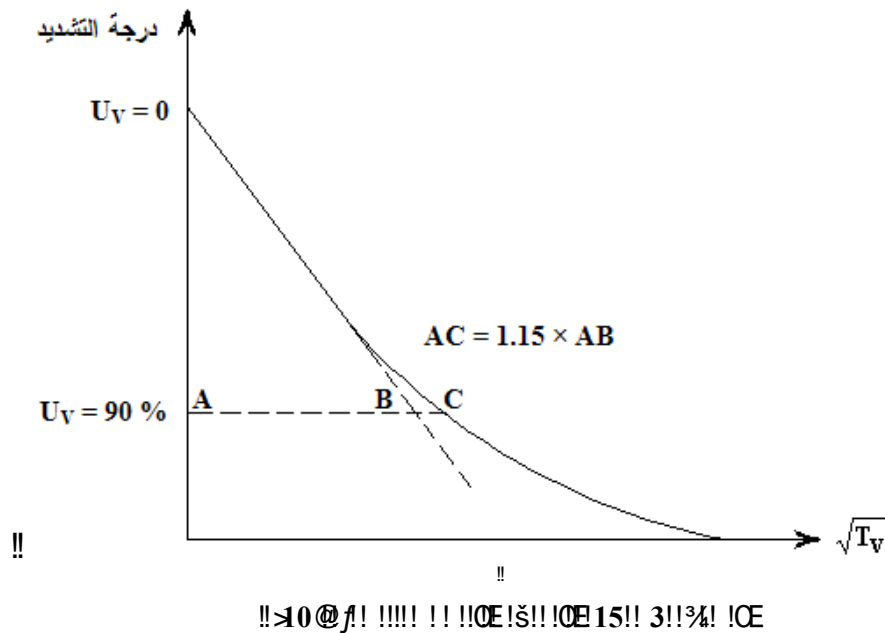
1. طريقة جذر الزمن لتابلور:

إن المنحني النظري الممثل للعلاقة بين درجة التشديد U والجذر التربيعي لعامل الزمن $\sqrt{T_V}$ موضح بالشكل (3 - 15)، وهذا المنحني يبقى نظرياً حتى النقطة الموافقة لدرجة تشديد $U = 60\%$ ، ونلاحظ عند النقطة الموافقة لدرجة تشديد $U = 90\%$ أن المسافة AC تساوي 1.15 من المسافة AB حيث B هي نقطة تقاطع ممدد الجزء الخطي من المنحني النظري مع الخط AC ، ونستفيد من هذه الخاصية في تعيين النقطة الموافقة لدرجة تشديد $U = 90\%$ على المنحني التجريبي.

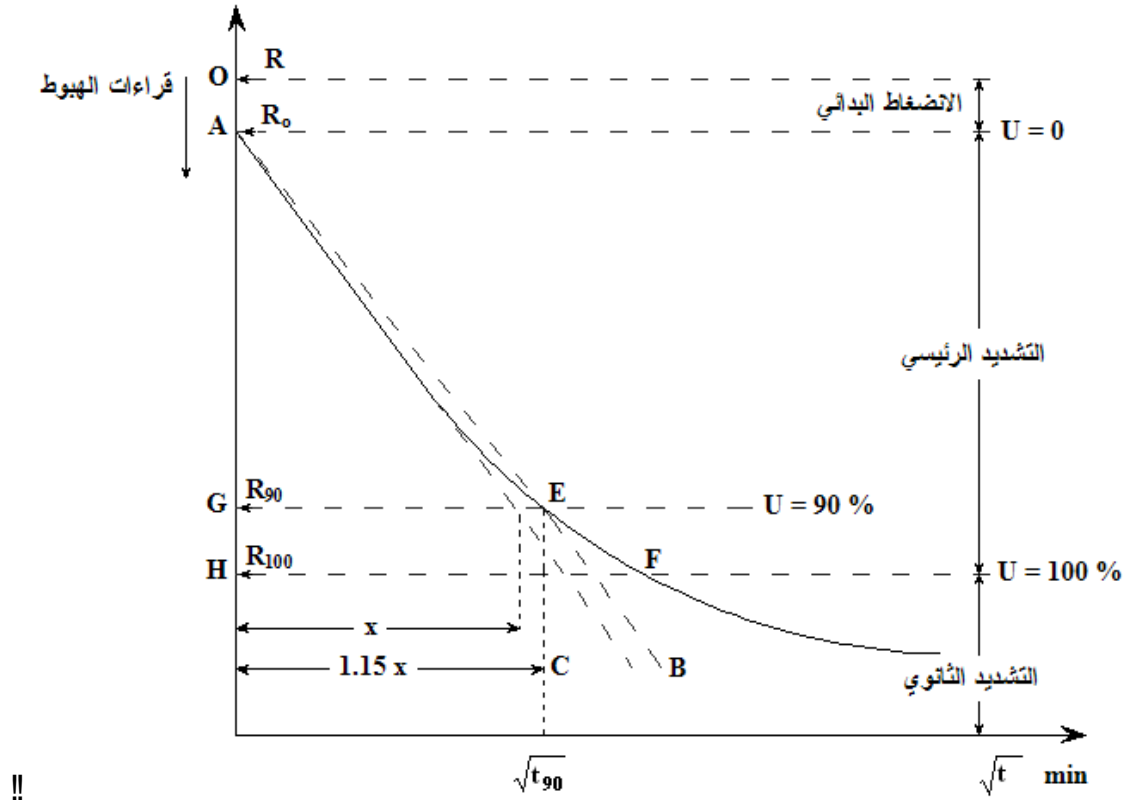
من أجل المنحني التجريبي يتم التعبير عن درجة التشديد بمقدار الانضغاط بعد فترة معينة من الزمن، أي بمقدار الهبوط المسجل على المؤشر في تجربة التشديد.

يتم أخذ القراءات (mm) في الأزمان التالية مقدرة بالدقيقة (min):

(0 - 0.083 - 0.167 - 0.333 - 0.5 - 1 - 2 - 3 - 5 - 7 - 10 - 13 - 15 - 20 - 30 - 40 - 60 - 120 - 240 - 300 - 480 - 1440 - 1920)



وبالتالي نحصل على المنحني التجريبي للتشديد الموضح بالشكل (3 - 16):



!!

نلاحظ من المنحني أنه يمكن أن نقسم التشديد إلى ثلاثة مراحل كما يلي:

1. الانضغاط البدائي.
2. التشديد الرئيسي.
3. التشديد الثانوي.

هذه المراحل متداخلة فيما بينها، إلا أن المرحلتين الثانية والثالثة تتعلقان بالزمن حيث يتقدم التشديد الرئيسي والثانوي مع الزمن.

إن القسم الأول من المنحني يحدث بشكل آني (في زمن مساو للصفر) ونلاحظ فرقاً بين القراءة $R = 0$ والقراءة المصححة R_0 .

هذا الفرق يفسره الهبوط الآني للعينة بسبب انضغاط فقاعات الهواء في العينة، حيث لا بد من بقاء حيز صغير من الهواء حتى لو تم إشباع العينة تماماً.

ولتعيين معامل التشديد C_v نستفيد من خاصية النقطة C من المنحني النظري والتي توافق درجة تشديد $U = 90\%$ حيث نرسم المستقيم AB والذي تساوي فواصله (1.15) من فواصل ممدد الجزء الخطي من المنحني التجريبي AC.

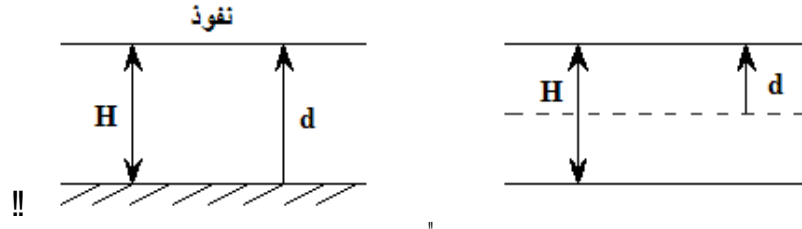
تقاطع الخط AB مع المنحني التجريبي يعطينا النقطة E وهي تشابه النقطة C على المنحني النظري، وبالتالي فإن النقطة E تقابل درجة تشديد $U = 90\%$ وعامل زمن قيمته $T_v = 0.848$ وعلى المنحني التجريبي تقابل القراءة R_{90} والزمن $\sqrt{t_{90}}$ وبالتالي فإن C_v يعطى بالعلاقة:

$$C_v = \frac{T_v \cdot d^2}{t} = \frac{0.848 \times d^2}{t_{90}}$$

حيث:

تشديد $U = 90\%$

d: طول مسار التصريف الشاقولي في المرحلة المدروسة:
d = H / 2 في حال كان التصريف من اتجاهين، **d = H** في حال التصريف من اتجاه واحد فقط.
 حيث **H** سماكة العينة.!!!



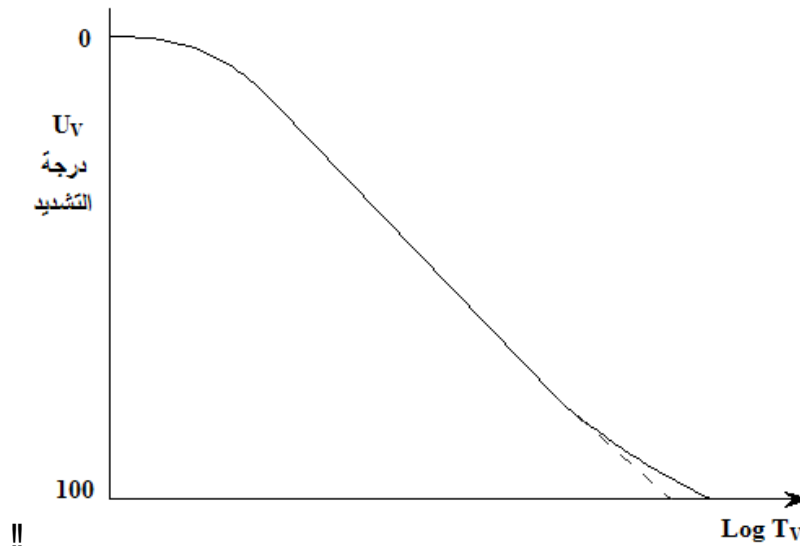
الشكل (3-17): طول مسار التصريف حسب الحالة المدروسة [10]

بعد تحديد النقطة **E** الموافقة لدرجة تشديد **U = 90 %** يمكن تحديد النقطة **F** الموافقة لدرجة تشديد **U = 100 %** والموافقة للقراءة **R₁₀₀** بالعلاقة:

$$R_{100} = R_0 + \frac{10}{9} \times AG$$

2. طريقة لوجاريتم الزمن (Log t) لكاساغراندي:

تعتمد هذه الطريقة على مقارنة منحنى التشديد النظري والذي يمثل العلاقة بين درجة التشديد **U** ولوجاريتم عامل الزمن **Log T_v** مع المنحنى التجريبي بين الهبوط ولوجاريتم الزمن حيث نلاحظ أن المنحنى النظري عبارة عن جزء من قطع مكافئ في بدايته ثم جزء خطي ثم يقطع المحور (**Log T_v**) عند درجة التشديد **U = 100 %**، الشكل (3-18) يوضح المنحنى النظري. نلاحظ فرقاً بين القراءة **R = 0** والقراءة الصفرية **R₀** وهذا الفرق يفسره حدوث انضغاط آني لفقاعات الهواء المحصورة، الشكل (3-19) يوضح المنحنى التجريبي. تدعى القراءة **R₀** بالقراءة الصفرية المصححة وهي البداية الفعلية لمنحنى التشديد الرئيسي وتقابل درجة تشديد **U = 0 %**.

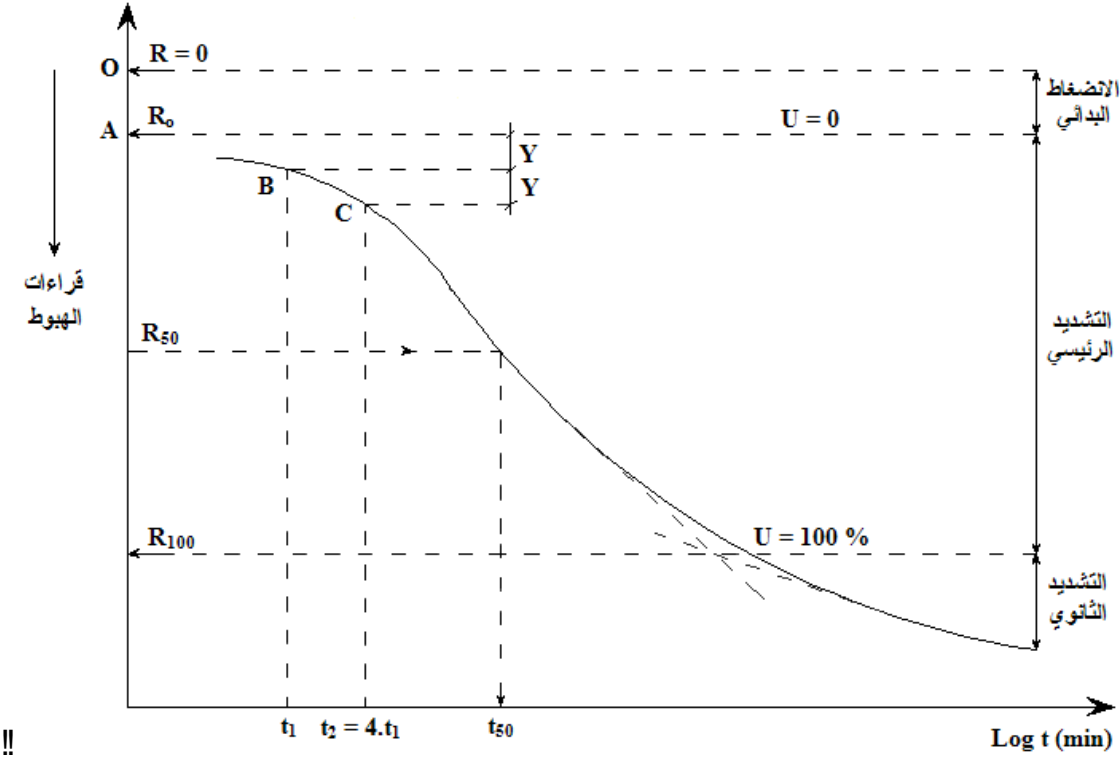


!!>10@ !!OE dede! f! !ž !!f! !!!!! !!OE!š!!OE18!! 3!!%!! OE

!!

لتعيين البداية الفعلية نلاحظ أن الجزء الأول من المنحنى التجريبي على شكل قطع مكافئ وعلى هذا والموافقتين للأزمنة **t₁**, **t₂** على الترتيب وحيث: **t₂ = 4 × t₁**، وبالاعتماد على

خواص القطع المكافئ يمكن تعيين النقطة A التي تقع على محور الهبوط وعلى مسافة Y فوق النقطة B. وتكون النقطة A هي البداية الفعلية وتقابل القراءة الصفرية المصححة R_0 . يتم تعيين القراءة R_{100} بتحديد نقطة تقاطع مماس منحنى التشديد الثانوي مع مماس منحنى التشديد الرئيسي، نقطة التقاطع تحدد لنا القراءة R_{100} وهي تقابل درجة تشديد $U = 100\%$.



$$!! > 10 @ ! f ! !! OE ! S !! ! OE 19 !! 3 !! 3/4 ! ! OE$$

نحصل على القراءة R_{50} بتتصيف المسافة بين القراءتين R_0 و R_{100} حيث R_{50} هي القراءة الموافقة لحدوث (50 %) من التشديد الرئيسي وتقابل زمناً t_{50} ، وبالتالي يمكن تحديد قيمة عامل التشديد الشاقولي C_V من العلاقة:

$$C_V = \frac{T_V \cdot d^2}{t_V}$$

وبما أن قيمة T_V الموافقة لدرجة تشديد $U = 50\%$ هي $T_V = 0.197$ ، ومنه:

$$C_V = \frac{0.197 \cdot d^2}{t_{50}}$$

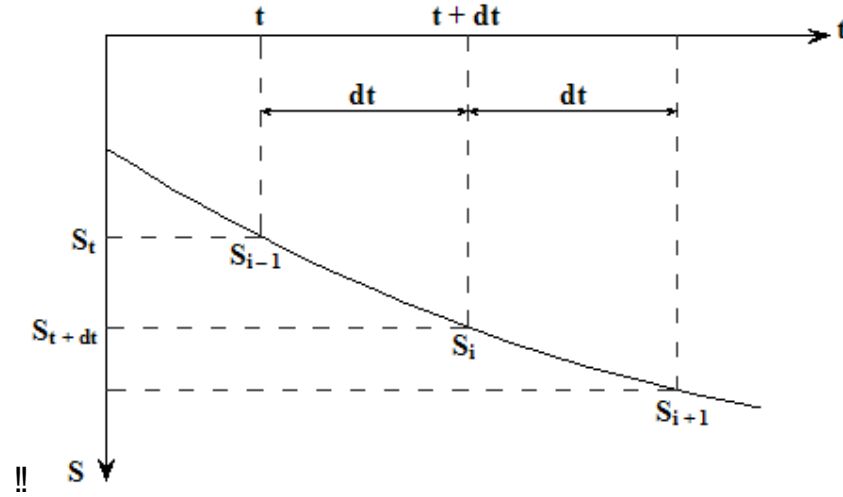
d: طول مسار التصريف الشاقولي في المرحلة المدروسة ويساوي سماكة العينة المدروسة عند التصريف من طرف واحد، ونصف سماكتها عند التصريف من طرفين.

3. تعيين معامل التشديد بطريقة أوزاكا:

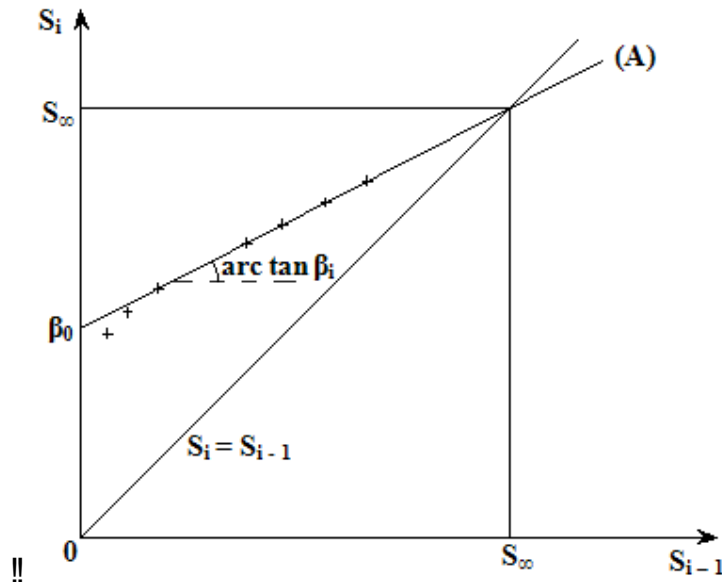
وهي طريقة التحليل الحدي التي أوجدها العالم الياباني أوزاكا عام 1978 وهي تعتمد على فهم نظرية ترزاكي في التشديد.

يتم تمثيل نتائج تجربة التشديد إما على شكل مخطط خطي أو منحني نصف لوغاريتمي لعلاقة الانضغاط مع الزمن، ثم نختار على المنحني الانضغاطية مجموعة من النقاط: S_t ، S_{t+dt} ، وهي موافقة للهبوطات خلال فواصل زمنية نظامية قدرها dt ، الشكل (3 - 20).

هناك ترتيب آخر من النقاط هو S_i ، S_{i-1} ، مبين على مخطط شبيه بالمخطط السابق نحصل من خلاله على المستقيم (A)، الشكل (3 - 21).



!!>10@f!! !!OE%de!! ff!!!!de!!!!f!! !!!20!! 3!!%!! !OE



!!>10@f!! !!OE%de!! ff!!!!de!!!!f!! !!!21!! 3!!%!! !OE

المستقيم (A) المبين في الشكل (3 - 21) يتقاطع مع منتصف المحاور الموافق للنقاط التي تحقق:

$$S_i = S_{i-1} = S_{\infty}$$

حيث: S_{∞} هي قيمة الهبوط النهائي.

إن ميل المستقيم (A) يسمح بحساب معامل التشديد بهذه الطريقة وذلك باستخدام العلاقة:

$$C_V = -\ln \beta \cdot \frac{5.d^2}{12.dt}$$

d: طول مسار التصريف تبعاً للحالة المدروسة.

β: ميل المستقيم (A).

4. تعيين معامل التشديد بالطريقة الحسابية:

أوجد هذه الطريقة الباحثان سيفارام وسوامي عام 1977 وتتلخص بالخطوات التالية:

1. نسجل قراءتين من قراءات الهبوط R_1 ، R_2 خلال تجربة التشديد مع الزمن وهما تقابلان الزمنين t_1 ، t_2 على الترتيب بشرط أن تحقق كلا من القراءتين المتراجعة $U \leq 50\%$.
2. يتم تسجيل القراءة R_3 عند الزمن t_3 بعد تشديد العينة بمقدار لا بأس به.
3. نعين القراءة الصفرية R_0 الموافقة لدرجة تشديد $U = 0$ من العلاقة التالية:

$$R_0 = \frac{R_1 - R_2 \cdot \sqrt{t_1/t_2}}{1 - \sqrt{t_1/t_2}}$$

4. نعين القراءة R_{100} الموافقة لدرجة تشديد $U = 100\%$ كما يلي:

$$R_{100} = R_0 \frac{R_0 - R_3}{\left[1 - \{(R_0 - R_3) \cdot (\sqrt{t_2} - \sqrt{t_1}) \cdot (R_1 - R_2) \cdot \sqrt{t_3}\}^{5.6}\right]^{0.179}}$$

5. بعد ذلك يتم تعيين معامل التشديد الشاقولي C_V من العلاقة:

$$C_V = \frac{\pi}{4} \left[\frac{R_1 - R_2}{R_0 - R_{100}} \cdot \frac{d}{\sqrt{t_2} - \sqrt{t_1}} \right]^2$$

حيث d طول مسار التصريف تبعاً للحالة المدروسة.

6. نعيد الحسابات السابقة ثلاث مرات على الأقل من أجل قراءات مختلفة ونأخذ متوسط القيم الناتجة لمعامل التشديد C_V فتكون هي القيمة المطلوبة.

بعد حساب قيمة معامل التشديد الشاقولي يمكن حساب قيمة عامل النفاذية من العلاقة التالية:

$$K = C_V \cdot m_v \cdot \gamma_w$$

3-7-1-4 قياس عامل النفاذية من تجربة الامتداد الشعري الأفقي:

يمكن توضيح المبدأ الأساسي لهذه التجربة من خلال الشكل (3 - 22) حيث يتم وضع عينة التربة الجافة في أنبوب أفقي فإذا كان الصمام مغلقاً فإن الماء سوف يتسرب من الخزان إلى الأنبوب، وبذلك تأثير الخاصة الشعرية يتقدم خط السطح المبلول تدريجياً في التربة وبمعنى آخر فإن المسافة من النقطة 1 تكون تابعة للزمن t [10]، [20]، [46]، [47].



!!

11

!!

!!

!!

!!

!!

!!

!!

!!

!!

download the free trial online at nitropdf.com/professional



!!

$$\mathbf{q} = \mathbf{k} \times \mathbf{i} \times \mathbf{A}$$
$$\mathbf{q} = \mathbf{k} \times \frac{d\mathbf{h}}{dr} \times 2\pi \times \mathbf{r} \times \mathbf{h}$$

$$\frac{d\mathbf{r}}{r} = \frac{2\pi}{q} \times \mathbf{k} \times \mathbf{h} \times d\mathbf{h}$$

$$\int_{r_1}^{r_2} \frac{dr}{r} = \frac{2\pi \times k}{q} \int_{h_1}^{h_2} h \cdot dh$$

$$k = \frac{2.303 \times q \times \log_{10} \frac{r_2}{r_1}}{\pi \times (h_2^2 - h_1^2)}$$

1

t: الزمن الموافق لكي يثبت تصريف الماء من البئر المنشأ.
عندما تكون $r_1 = r_w$ يكون $h_1 = h_w$ وعندما $r_2 = R$ يكون $h_2 = H$ ، وبتعويض هذه القيم في علاقة k، ينتج ما يلي:

$$k = \frac{2.303 \times q \times \log_{10} \frac{R}{r_w}}{\pi \times (H^2 - h_w^2)}$$

حيث أن H هو الارتفاع الأصلي لمنسوب الماء الجوفي بدءاً من الطبقة الكتيمة.
إن العمق h من أي مسافة r من البئر حيث أن $(r_w < r < R)$ يمكن أن يحدد بتعويض $h_1 = h_w$ عندما $r_1 = r_w$ ، و $h_2 = h$ عندما $r_2 = r$ ، في المعادلة السابقة:

$$k = \frac{2.303 \times q \times \log_{10} \frac{r}{r_w}}{\pi \times (h^2 - h_w^2)}$$

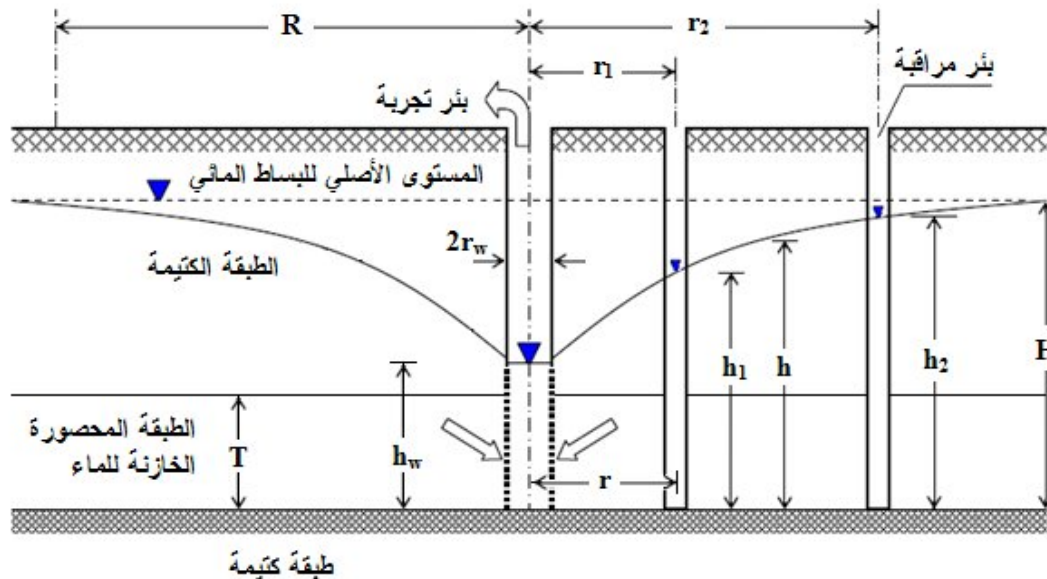
وبالتالي فإن العمق h يساوي:

$$h = \sqrt{\frac{2.303 \times q}{\pi \times k} \times \log_{10} \frac{r}{r_w} + h_w^2}$$

3-7-2-2 - اختبار الضخ من الآبار الارتوازية:

تختلف الآبار العادية عن الآبار الارتوازية في أن البئر الارتوازي يكون معرضاً لضغط هيدروليكي نتيجة لأن الطبقة الحاملة للماء تكون محصورة بين طبقتين غير نفوذتين بحيث يمكن للمياه المحصورة أن ترتفع داخل أنبوب بيزومتر إلى منسوب أعلى من السطح العلوي للطبقة الحاملة للمياه للوصول إلى سطح المياه الحر للمياه الجارية الذي لولا وجود الطبقة غير النفوذة (الكتيمة) لارتفعت المياه إليه ويمكن للمياه المحصورة أن تتدفق في صورة عين ارتوازية إذا ما حدث شق في الطبقة الكتيمة. ويمكن تحديد قيمة عامل النفاذية في طبقة محصورة وخازنة للماء أيضاً بواسطة تجارب الضخ من الآبار [10]، [11]، [43].

يبين الشكل (3 - 25) بئر ارتوازي مخترق كامل للعمق للطبقة المحصورة حيث يضخ الماء منها إلى الخارج بمعدل ثابت، وتستمر عملية الضخ حتى الوصول إلى حالة مستقرة [10]، [11].



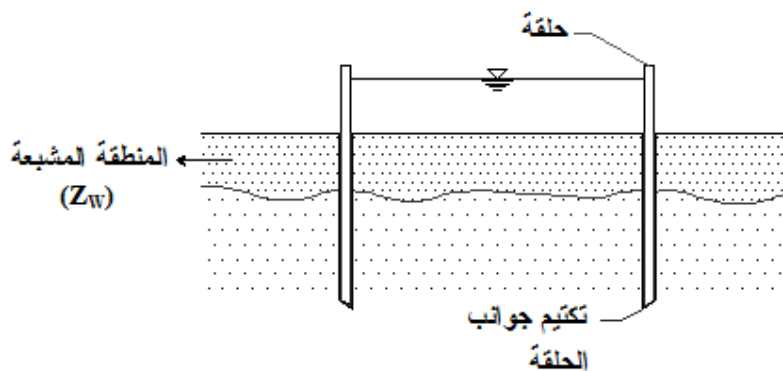
!!

!!>1 @ / OE!! OEde OE!!!! OEde OE25!! 3!!3%!! !!

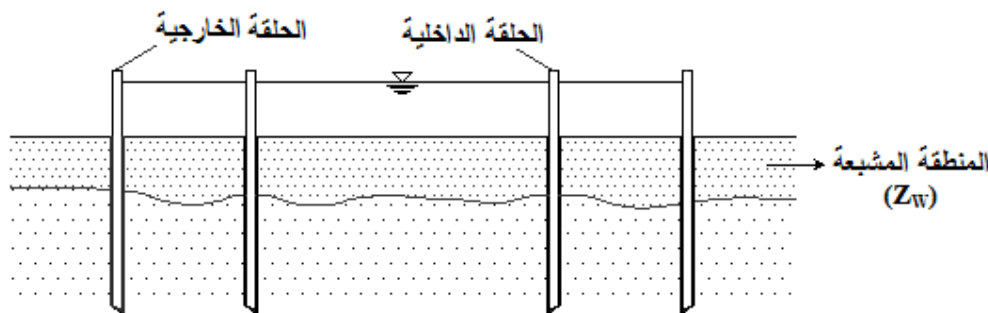
$$k = \frac{q}{5.5 \times r \times h}$$

q: معدل التغذية بالماء للحفاظ على ضاغط ثابت.

يتم وضع حلقة أو حلقتان متحدتا المركز على سطح التربة المراد اختبار نفاذيتها، وتملأ بالماء لنفس المستوى ثم يتم قياس مستوى الماء الراشح في الحلقة الداخلية مع الزمن ويمكن عندها حساب قيمة عامل النفاذية باستخدام قانون دارسي، ويمكن تحديد عمق المنطقة المشبعة من خلال تشريح التربة في نهاية التجربة، وعلى اعتبار أن جهاز الرشح المفتوح معرض للتبخر لذلك يجب حمايته من أجل التجارب التي تأخذ وقتاً طويلاً أو يتم إجراء التصحيحات اللازمة على القياسات.



!!>20@OSRI)!!!f!!!!š!!!!Ž!0Š! !0Ede!!!27!!3!!¾! !OE



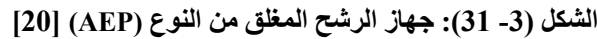
3-7-2-5 - قياس ، النفاذية بواسطة أجهزة الرش المغلقة:



!!



3-7-2-6 - قياس النفاذية بواسطة جهاز الرش المغلق (Air Entry Permeability) AEP:



- يتم تغذية الحلقة التي يتراوح قطرها بين 20 - 30 cm من خلال سكر التغذية الموصول بخزان حيث يبقى السكر مفتوحاً حتى تصبح سماكة المنطقة المشبعة (10 cm).
- نغلق سكر التغذية ونفتح سكر الحساس فيبدأ الضاغط بالتناقص حتى يصل إلى قيمة دنيا.
- نفتح سكر التنفيس ونعيد الضغط داخل الحلقة إلى الضغط الجوي.
- يتم تحديد عمق المنطقة المشبعة إما بالقياس المباشر أو بالطرق الكهربائية.
- يتم تحديد الضاغط بالعلاقة التالية: $\psi_A = h_{min} + Z_C + Z_F$

حيث: ψ_A : قيمة الضاغط (قيمته سالبة في التربة غير المشبعة).

h_{min} : الضاغط الأدنى المحدد بالحساس (قيمته سالبة في التربة غير المشبعة).

Z_C : ارتفاع الحساس عن سطح الأرض.

Z_F : العمق الوسطي للمنطقة المشبعة.

- تحسب سرعة الرش v في الحلقة في مرحلة الرش الأولي عند الضاغط h وهو ارتفاع الماء في الخزان عن سطح التربة عند لحظة إغلاق سكر التغذية، وتحسب النفاذية من العلاقة:

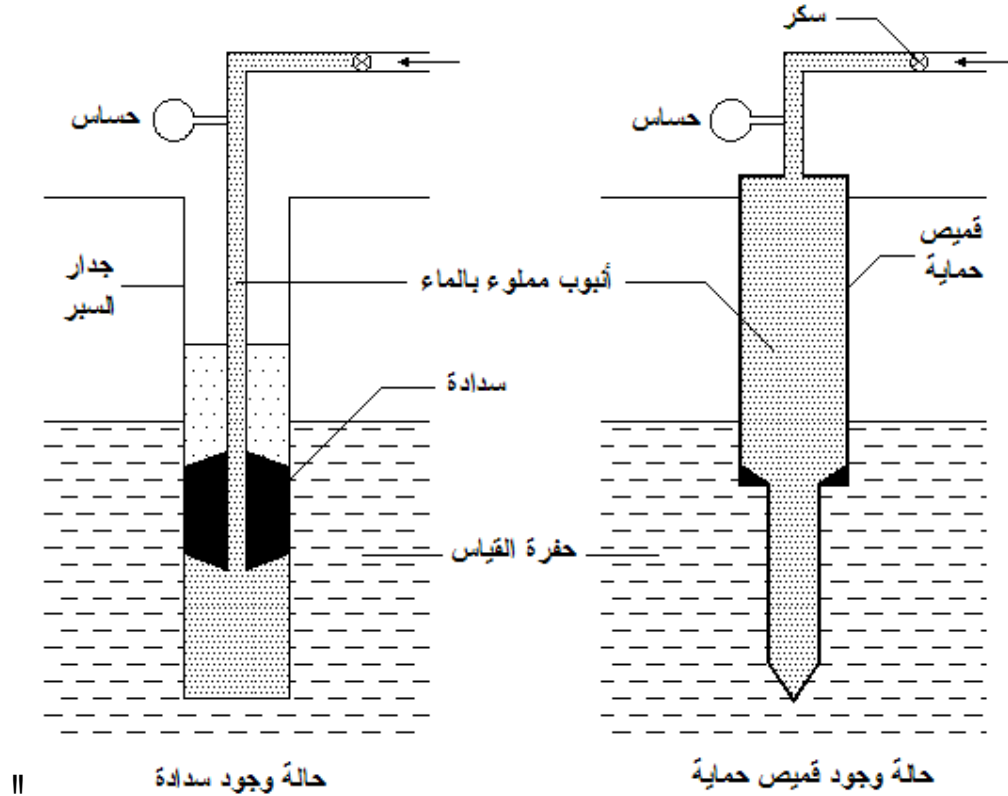
$$\mathbf{k} = \frac{\mathbf{v} \cdot \mathbf{Z}_F}{\mathbf{h} + \mathbf{Z}_F - \frac{\Psi_A}{2}}$$

تعتبر هذه التجارب نوعاً جديداً من تجارب النفاذية التي تعتمد على الضاغط المتغير، وقد تم تطوير هذه التجارب في الولايات المتحدة الأمريكية من أجل الترب ذات النفاذية الضعيفة التي عامل نفاذيتها أقل من (10^{-8} cm/sec)، والهدف الرئيسي من تطوير هذه التجارب هو تخفيض زمن التجارب على الترب الناعمة بشكل كبير [20]، [43].

created with
nitro^{PDF} professional
download the free trial online at nitropdf.com/professional

الباحثين Aubertin 1988 , Neuzil 1982، وقد تم وضع نورم خاص بهذه التجارب ضمن مقاييس الجمعية الأمريكية لفحوصات المواد ASTM [48].

في هذه الطريقة يتم تطبيق صدمة ضغط من خلال تطبيق لحظي لضغط هيدروليكي ضمن أنبوب القياس المملوء بحجم معلوم من الماء، ثم يتم تسجيل تغيرات الضغط الهيدروليكي مع الزمن باستخدام حساس لقياس الضغط موصول مع جهاز خاص لتخزين وتحليل البيانات Data Acquisition.



!!@Pulse Test)!!! !OE!! !!!f!!!!32!! 3!!!4! !OE

3-7-3- الحل النظري لتعيين عامل النفاذية:

إن جريان الماء عبر الترب الناعمة هو جريان صفحي كما ذكرنا سابقاً. ويمكن تمثيل الفراغات المتصلة مع بعضها البعض في كتلة معطاة من التربة بعدد من الأنابيب الشعيرية التي يستطيع الماء الجريان خلالها، وقد درس كل من كوزني وكارمان هذا الجريان وأعطيا العلاقة التجريبية التالية [10]، [28]، [40]:

$$k = \frac{1}{C_s \times S_s^2 \times T^2} \times \frac{\gamma_w}{\mu} \times \frac{e^3}{1+e}$$

حيث:

C_s : عامل الشكل للفراغات.

T : عامل التعرج ويمثل النسبة ما بين طول مسار الجريان الفعال وارتفاع عينة الاختبار.

S_s : السطح النوعي ويساوي المساحة السطحية لوحدة الحجم من الذرات الصلبة.

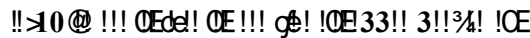
γ_w : الوزن الحجمي للماء.

μ : اللزوجة الدينامية للماء.

3-7-4- عامل النفاذية في حالة وجود طبقات ترابية غير متجانسة:

إن إيجاد القيمة الوسطية المكافئة لعامل النفاذية في الاتجاهين الأفقي والشاقولي يعتبر أمراً ممكناً في حالة توزيع التربة على شكل طبقات ترايبية مستمرة [30]، [40].

3-7-4-1- الجريان بالاتجاه الأفقي:


$$\mathbf{q} = \mathbf{q}_1 + \mathbf{q}_2 + \mathbf{q}_3 + \dots + \mathbf{q}_n$$

$$\begin{aligned} \mathbf{q}_1 &= \mathbf{K}_{h1} \times \mathbf{i} \times \mathbf{H}_1 \\ \mathbf{q}_2 &= \mathbf{K}_{h2} \times \mathbf{i} \times \mathbf{H}_2 \\ \mathbf{q}_3 &= \mathbf{K}_{h3} \times \mathbf{i} \times \mathbf{H}_3 \\ &\vdots \\ \mathbf{q} &= \mathbf{K}_h \times \mathbf{i} \times \mathbf{H} \end{aligned}$$

11

$$||k_v = \frac{H}{\frac{H_1}{k_{v1}} + \frac{H_2}{k_{v2}} + \frac{H_3}{k_{v3}} + \dots + \frac{H_n}{k_{vn}}}$$

3-8-1 - مقدمة عن السدود الترابية:

والسد الترابي هو حاجز ترابي كقيم يعترض المجرى المائي مشكلاً خلفه بحيرة. ولاشك أن السدود الترابية من أقدم أنواع السدود التي أقيمت من قبل الإنسان قبل عدة آلاف من السنين قبل الميلاد في كل من مصر والهند والبيرو وغيرها من البلدان [1]، [2].

- تخزين المياه وتغذية المياه الجوفية لتأمين الاحتياجات المائية لمشاريع الري وخاصة في فصل الجفاف، وتوفير مياه الشرب للأماكن المأهولة بعد مرور هذه المياه ضمن محطات تنقية وكذلك توفير مياه الشرب للمواشي والأغراض الصناعية.

- تنمية المنطقة المحيطة بالسد والبحيرة اقتصادياً وسياحياً.

أولاً: حسب مادة البناء المستخدمة [1]، [2]:

- سدود ترابية حجرية (ركامية): يتألف القسم الأساسي من جسم السد من ترب حصوية خشنة أو فئات صخري، وتحتوي على عنصر مضاد للرشح منفذ من تربة غضارية أو تربة ناعمة الحبيبات (سيلت - سيلت غضاري - غضار رملي ...).

كما يمكن استخدام الفولاذ أو الرقائق البلاستيكية أو الخرسانة الإسفلتية أو الخرسانة العادية في بناء السد الترابي، وكافة هذه الأنواع من السدود ذات مقطع عرضي على هيئة شبه منحرف مع خط محيطي مستقيم أو منكسر لميل الوجهتين الأمامية والخلفية.

- سدود متجانسة: يتم تنفيذها بدون عنصر مضاد للرشح.

- سدود غير متجانسة: يتكون جسم السد من التربة المتجانسة ويحتوي على عنصر مضاد للرشح يتكون من تربة ناعمة جداً (نواة مركزية، أو نواة مائلة، أو شاشة مع حصيرة).

- سدود ردمية: تشيد بطريقة الردم على هيئة طبقات، الواحدة تلو الأخرى ثم يتم دحل كل طبقة ميكانيكياً للوصول إلى الكثافة التصميمية.

- سدود ترسيبية: يتم إنشاؤها بطريقة إهالة التربة في النهر (التجريف الهيدروليكي)، وذلك بنقل التربة بمساعدة الماء الموجه بمضخات خاصة بذلك إلى جسم السد.

- سدود نصف ترسيبية: يتم إنشاء النواة فقط بواسطة التجريف الهيدروليكي أما باقي جسم السد يتم إنشاؤه بطريقة الردم الجاف.
- سدود تبنى بطريقة التفجير الموجه: يتم إنشاء هذه السدود من الفتات الصخري الناتج عن عمليات تفجير جوانب الموقع، ومن شروط استخدام هذه الطريقة أن يكون الموقع ضيقاً ويقع في مناطق جبلية أي عمق الوادي أكبر من عرضه، ومن مساوئ هذا النوع من السدود أنها نفوذة للماء.

رابعاً: حسب ارتفاع السد: تصنف السدود تبعاً لارتفاعها حسب الكود الروسي كما يلي [1]، [2]:

- سدود منخفضة الارتفاع: $H \leq 30 \text{ m}$ ، وتعتبر من الدرجة IV.
- سدود متوسطة الارتفاع: $(30 \leq H \leq 75) \text{ m}$ ، وتعتبر من الدرجة III.
- سدود عالية: $(75 < H \leq 125) \text{ m}$ ، وتعتبر من الدرجة II.
- سدود عالية جداً: $H > 125 \text{ m}$ ، وتعتبر من الدرجة I.

3-8-3 - الخواص الجيوتكنيكية التصميمية لتربة العنصر المضاد للرشح:

يستعمل في تنفيذ العنصر المضاد للرشح مواد ترابية ناعمة، سيلتية أو غضارية، ذات عامل نفاذية تتراوح قيمته بين $(10^{-8} < K < 10^{-3}) \text{ cm / sec}$ وبحيث يكون حد السيولة للغضار أو السيلت المستخدم أكبر من (50 %). وبشكل عام تكون تربة العنصر المضاد للرشح ذات حبيبات قطرها $(d \leq 1 \text{ mm})$.

ويجب أن تكون التربة المستخدمة من الأصناف التالية [1]، [2]، [42]:

- بحص غضاري (GC) بنسبة غضار وسيلت أكبر من (12 %).
- بحص سيلتي (GM) بنسبة غضار وسيلت أكبر من (12 %).
- رمل غضاري (SC) بنسبة غضار أكبر من (12 %).
- رمل سيلتي (SM) بنسبة مواد ناعمة أكبر من (12 %).
- سيلت غير عضوي (ML) حد سيولته أقل من (50 %) ودليل اللدونة $(I_p > 7)$.
- غضار غير عضوي (CL) حد سيولته أكبر من (50 %).
- غضار عالي اللدونة (CH) حد سيولته أكبر من (50 %).
- سيلت عالي اللدونة (MH) حد سيولته أكبر من (50 %).

علماء أن الأنواع الأربعة الأولى تحتاج إلى معالجات مختلفة تبعاً لارتفاع السد ومقدار التخزين والتسرب المتوقع عبر جسم السد وفي حال توفر تربة من أحد النوعين الأخيرين (CH , MH) في موقع إنشاء السد أو في مكان قريب منه يفضل استبعاد الأنواع الأخرى [42].

ومن خلال معرفة حدي السيولة واللدونة ودليل اللدونة والرطوبة الطبيعية لتربة النواة يمكن إيجاد الرطوبة المثالية (رطوبة بروكتور) W_{opt} وهي الرطوبة التي تعطي عندها التربة أكبر كثافة ممكنة عند ردمها ورسها في جسم السد، ويمكن حسابها من العلاقة [1]، [2]، [42]:

$$W_{opt} = W_p - (2 \div 4)\%$$

ومن أجل تخفيض قيمة الضغط المسامي في جسم النواة يفضل تخفيض هذه الرطوبة بمقدار (1 %) إلى ما يسمى بالرطوبة التصميمية W_d :

$$W_d = W_{opt} - 1\%$$

وإذا كانت الرطوبة الطبيعية للتربة المستخدمة أكبر من الرطوبة التصميمية يجب اللجوء إلى تجفيف التربة المردومة في جسم النواة للوصول إلى الرطوبة المطلوبة.

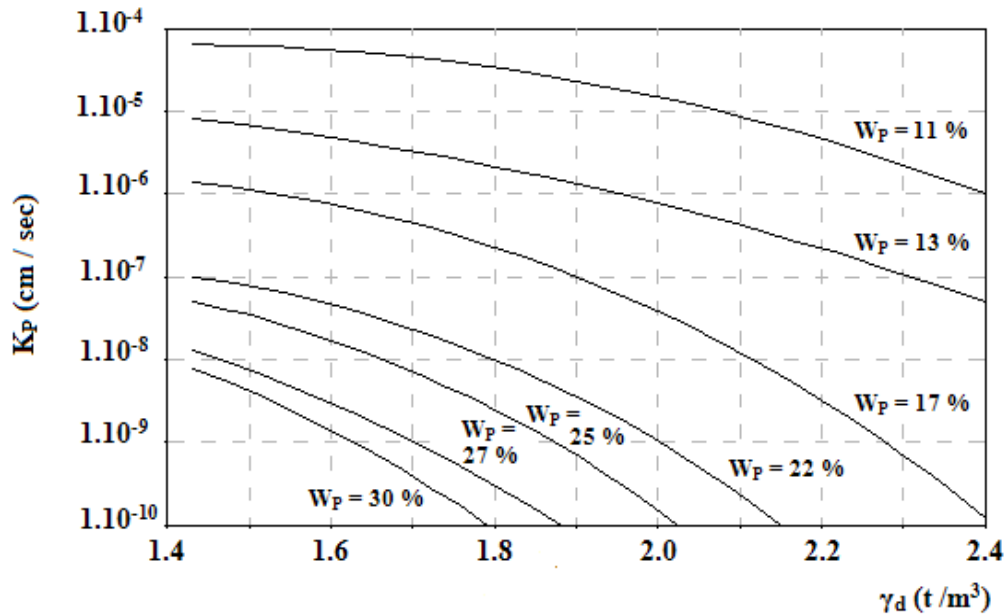
وبالنسبة لتربة جسم السد يمكن حساب معامل التسرب K_p (عامل النفاذية K_T) من العلاقة التالية مقدراً بـ

$$K_p = 4 \times 10^{-11} \times e \times W_p \frac{e}{0.17 \times e_L - 0.048}$$

حيث: e_L هو معامل المسامية من أجل رطوبة حد السيولة ويعطى بالعلاقة:

$$e_L = 1.06 \times \frac{G_s}{\gamma_w} \times W_L$$

حيث (1.06) هو ثابت تصحيح لحجم الفراغات الهوائية في التربة، وتعتبر العلاقة السابقة صحيحة إذا كانت نسبة حبات التربة التي قطرها ($d < 1 \text{ mm}$) تتراوح بين (35 - 40) %، وفي حال لم تحقق التربة المستخدمة هذا الشرط يمكن إيجاد معامل التسرب بناءً على قيمة حد اللدونة وقيمة الوزن الحجمي الجاف مقدراً بـ (t / m^3) من المنحنيات المبينة في الشكل (3 - 34):



!!

!!> @ !OE!OE !OE ! ! !!!!!!! ! !OE !!!!!!! ! !OE!de!! f!!!!34!! 3!!%!! !OE

ونبين فيما يلي أبعاد العنصر المضاد للرشح (نواة - شاشة) وذلك تبعاً لاشتراطات الكود الروسي لتصميم المنشآت المائية [1]، [2]، [42]:

- سماكة النواة المركزية من الأسفل لا تقل عن (0.3 - 0.5) من قيمة ارتفاع جسم السد H_D .
- سماكة النواة المائلة من الأسفل لا تقل عن (0.2 - 0.4) من قيمة ارتفاع جسم السد H_D .
- سماكة الشاشة لا تقل عن (0.1 - 0.3) من قيمة ارتفاع جسم السد H_D .

حيث تتوافق القيم الكبيرة مع السدود العالية.

3 - 8 - 4 - التسرب في السدود الترابية:

يحصل التسرب تحت المنشأة أو بداخلها أو في مكان اتصالها مع الجوانب تحت تأثير الضغوط الناتج عن الاختلاف في منسوب المياه أمام وخلف المنشأة، ومن المعروف بأن سرعة التسرب عبر وسط ترابي تتبع إلى عامل النفاذية فكلما ازدادت قيمته كلما ازدادت كمية التسرب وبالتالي القوى الناجمة عنها كقوة الضغط الشاقولي، وقوى الرشح الحجمية (القوى الهيدروديناميكية) والتي تحاول تحريك التربة في اتجاه حركة الماء مما يؤدي إلى إضعافها وزيادة عامل نفاذيتها [1]، [2].

وعندما تكون المنشأة مؤلفة من تربة نفوذة (سد ترابي) فإن تيار التسرب فيها يصبح غير مضغوط، أي ...

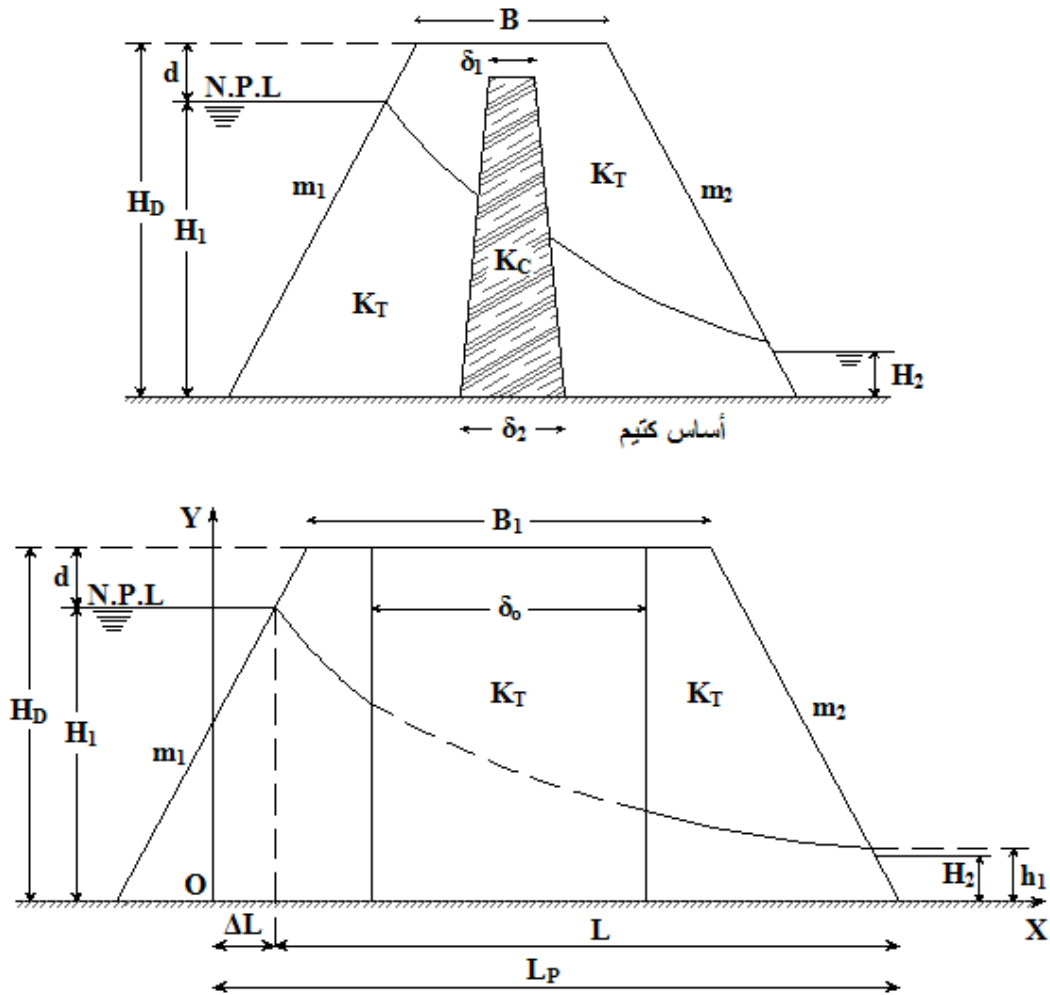
إن مسألة دراسة التسرب في السدود الترابية ضرورية جداً بسبب تأثير التسرب على استقرار الوجه الخلفي للسد وعلى توازن المنشأة بشكل عام [1]، [2].

3 - 4 - 8 - 1 - تعيين عناصر التسرب (السرعة، التدرج، التدفق):

تتلخص مسألة حساب التسرب في السدود الترابية في تحديد موضع منحنى أو خط الإشباع، وتحديد تصريف الماء المتسرب وسرعة وتدرج الضغط (العلو الهيدروليكي) في أي نقطة من نقاط منطقة التسرب. ولم يتم التوصل إلى حلول هيدروديناميكية دقيقة لمسائل التسرب في معظم حالات التطبيقات العملية لتصميم السدود الترابية، وقد وضع الباحث بافلوفسكي الطرق التصميمية الهيدروليكية التي تساعد في رسم خط الإشباع وتحديد كمية التدفق المتسرب [2]، [42].

3 - 4 - 8 - 2 - حساب التسرب في سد ترابي مع نواة مركزية على أساس كتيمة استناداً إلى طريقة الباحث بافلوفسكي (1982):

تتم دراسة التسرب في السدود الترابية المتجانسة مع نواة بالاعتماد على طريقة الافتراض وذلك باستبدال الجدار الجوفي للسد بطبقة ترابية افتراضية ذات عامل نفاذية يساوي عامل نفاذية تربة جسم السد، ونبين فيما يلي خطوات الحل [2]، [42]:



!! >@f!!!! de!!!!!! f!!!!!!OE!!!!!! OE!!!!!! !!!!!!! !!!!!!! !!!!!!! !!!!!!! !!!!!!! !!!!!!! !!!!!!! !!!!!!! !!!!!!!

!!

1. نوجد السماكة الوسطية للنواة الغضارية: $\delta_c = \frac{\delta_1 + \delta_2}{2}$
حيث: δ_1 ، δ_2 عرض النواة من الأعلى والأسفل على التوالي.
2. نحدد عرض الطبقة الافتراضية بالعلاقة: $\delta_o = \delta_c \frac{K_T}{K_C}$
حيث: K_C ، K_T عاملا النفاذية لترتبة جسم السد وترتبة النواة على التوالي.
3. نرسم شكل السد بعد التعويض عن عرض القمة بما يعادلها: $B_1 = B + \delta_o - \delta_c$
4. نحسب h_1 وهو ارتفاع نقطة خروج خط الإشباع على المنحدر الخلفي عن القاعدة ويعطى بالعلاقة: $h_1 = \frac{L_p}{m_2} - \sqrt{(L_p / m_2)^2 - (H_1 - H_2)^2} + H_2$ ، وفي حال عدم وجود ماء خلف السد

يكون المقدار $(H_2 = 0)$.

حيث: m_1 ، m_2 ميل المنحدر الأمامي والخلفي على التوالي.

H_1 ، H_2 : ارتفاع الماء أمام وخلف المنشأة على التوالي.

L_p : العرض المكافئ للسد عند القاعدة ويعطى بالعلاقة:

$$L_p = \Delta L + L$$

$$L = m_1 . d + B_1 + m_2 (H_1 + d)$$

$$\Delta L = 0.4 \times H_1$$

حيث: ΔL : بعد محور الإحداثيات OY عن الشاقول المار من نقطة تقاطع منسوب الماء في البحيرة مع المنحدر الأمامي للسد.

$$5. \text{ حساب مقدار التدفق عبر جسم السد من العلاقة: } q_T = K_T \frac{H_1^2 - h_1^2}{2(L_p - m_2 . h_1)}$$

وسنورد لاحقاً مثلاً تطبيقياً يوضح طريقة حساب التسرب في أحد السدود الترابية المنفذة في سوريا.

!!

3 - 4 - 8 - 3 - المنشآت الملحقة بالسد الترابي لتنظيم مقدار الماء الراشح (المتسرب):

تهدف هذه المنشآت إلى تنظيم مقدار الماء المتدفق أو المتسرب عبر جسم السد والنواة الغضارية وتنظيم منحنى الارتشاح (خط الإشباع) وبالتالي زيادة مقاومة النواة الغضارية لتشوهات الارتشاح والاجتراف التلامسي بتأثير تيار الماء الراشح، وتظهر أهمية هذه المنشآت الملحقة بالسد الترابي أو الركامي إذا علمنا أن (80 %) من حالات انهيار السدود الترابية أو الركامية الحوية على نواة غضارية ناتج عن انجراف تربة النواة بتأثير تيار الماء الراشح عبرها (اريسوفسكي 1982) [42]، ونذكر من هذه المنشآت:

أولاً: المرشحات المقلوبة (الفلاتر العكسية): [2]، [42] هي مجموعة طبقات تساهم في وقاية تربة العنصر المضاد للرشح من تشوهات الارتشاح الناجمة عن حركة التيار الرشحي ويتم إنشاء هذه المرشحات من طبقات تربة غير متماسكة ذات حجوم حبيبية مختلفة، ويتراوح عدد الطبقات بين طبقة واحدة وثلاث طبقات مرتبة بصورة عمودية على اتجاه تيار الماء الراشح، ويمكن أن تتواجد هذه المرشحات على جوانب مواشير الصرف وعلى جوانب العنصر المضاد للرشح في جسم السد الترابي (نواة - شاشة).

ثانياً: مصارف الماء في السدود الترابية: [2]، [42] يتم إنشاء المصارف المائية بهدف تنظيم الارتشاح عبر جسم السد وتصريف المياه الراشحة بطريقة تمنع حدوث تشوهات الارتشاح.

وتتألف مصارف الماء عادةً من قسمين: قسم الصرف وقسم الترشيح أي المرشح الذي يتألف عادةً من طبقتين أو ثلاث طبقات، ويحدد الارتفاع الأصغري لموشور الصرف بالارتفاع الأعظمي للماء خلف السد (لا يقل عن h_1).

..

الفصل الرابع ...

!!

التجارب المخبرية وتجهيزات البحث

4- 1- مقدمة:

من خلال مراجعة العديد من الأبحاث [20]، [30]، [36]، [43]، [44] التي تناولت دراسة نفاذية الترب الانتفاخية والعوامل المؤثرة عليها تبين أن هذه الأبحاث اقتصر على إيجاد علاقات تجريبية لتحديد قيمة عامل النفاذية بدلالة الوزن الحجمي الجاف للتربة أو بدلالة حد السيولة أو معامل المسامية أو الضغط الخارجي المطبق على التربة وغيرها من المتغيرات الأخرى دون الأخذ بعين الاعتبار تأثير ضغط الانتفاخ الذي يتبع بشكل رئيسي للرطوبة البدائية للتربة المدروسة والوزن الحجمي الجاف ونسبة المواد الناعمة، وقد ساعدتنا النتائج المستقاة من هذه الأبحاث على فهم آلية انتفاخ التربة والعوامل المؤثرة على نفاذيتها وبالتالي استطعنا وضع مخطط العمل التجريبي لبحثنا بحيث تم التركيز على دراسة ضغط انتفاخ التربة كنتيجة حتمية لعوامل الانتفاخ المختلفة وتأثيره على عامل النفاذية وذلك من خلال إجراء تجارب التشديد على الترب المدروسة في حالتين:

- الحالة الأولى: السماح للعينات بالانتفاخ الشاقولي.

- الحالة الثانية: تطويق الانتفاخ الشاقولي للعينات المدروسة.

ثم تمت المقارنة بين قيم عوامل النفاذية في الحالتين للوصول إلى هدف البحث.

يتضمن هذا الفصل توصيف الترب الثلاث المدروسة والتجارب المخبرية التي أجريت على هذه الترب والطرق المتبعة في البحث وإجراء التجارب، مع شرح مفصل للتجهيزات المستخدمة في تطويق الانتفاخ الشاقولي للعينات المدروسة والتطبيقات العملية لتجارب التطويق.

4- 2- مخطط العمل التجريبي:

يبين الشكل (4 - 1) مراحل إجراء التجارب على كل تربة من الترب المدروسة، حيث تم إجراء التجارب التالية:

4 - 2 - 1 - تجارب تحديد الخواص الفيزيائية وخواص اللدونة للتربة:

وهي سلسلة التجارب المخبرية المستخدمة في توصيف الترب بشكل عام وتحديد خواصها الفيزيائية وهي تضم: تجربة الرطوبة الطبيعية، تجربة تحديد الوزن الحجمي الرطب، تجربة تحديد الوزن النوعي، تجارب التحليل الحبي (باستخدام المناخل والترسيب)، كما تم إجراء تجارب أتربرغ لتحديد حدي السيولة واللدونة، حيث يمكن بناءً على نتائج هذه التجارب تصنيف التربة وفق مخطط كاساغراندي لتصنيف الترب الناعمة.

!!

!!

!!

!!

!!

!!

!!

!!

!!

!!

!!

!!

!!



!

- 4

1

١٤

عَلَى

تبع

أجريت هذه التجارب بالتوازي مع التجارب السابقة وذلك كما يلي:

من أجل كل مجموعة من التجارب قمنا بوضع عينتين متماثلتين من حيث الرطوبة والوزن الحجمي الرطب والجاف حيث تم السماح للعينة الأولى بالانتفاخ في حين تم تطوير انتفاخ العينة الثانية، وبعد استقرار انتفاخ العينة الأولى قمنا بتحميل العينتين معاً في وقت واحد وبنفس الكميات المتزايدة ولنفس الفترة الزمنية حيث تم رصد تشوه كل من العينتين مع الزمن وتحديد قيمة عامل نفاذية التربة باستخدام طريقة جذر الزمن لتايلور.

وقد تم تطوير انتفاخ العينات شاقولياً من خلال استخدام علبة تشديد خاصة لها غطاء معدني يمنع التربة من الانتفاخ شاقولياً ، حيث يتم وضع العينة ضمن حلقة التشديد وتوضع الحلقة بين قرصين مساميين علوي وسفلي للسماح بمرور الماء من العينة وإليها، ثم يتم إغلاق الغطاء المعدني بإحكام حيث يمنع هذا الغطاء مؤشر قياس التشوهات من الارتفاع وبالتالي لا يمكن قراءة تشوهات الانتفاخ.

4-3- توصيف الترب المدروسة:

تم اختيار ثلاثة مواقع مختلفة أخذت منها عينات الترب المدروسة، وقد تم انتقاء ثلاثة ترب مختلفة في قابليتها للانتفاخ بحيث تكون إحداها ذات قابلية انتفاخ منخفضة وأخرى متوسطة الانتفاخ والثالثة عالية الانتفاخ، وجميع العينات المدروسة عبارة عن عينات سليمة غير مخربة (Undisturbed samples) تم استخراجها بواسطة السابرة وقد تم تغليف العينات فور استخراجها بالشمع (Wax) وذلك لضمان استقرار خصائصها الطبيعية وأهمها الرطوبة ريثما يتم نقلها إلى المختبر.

وأما الغرض من العينات السليمة فهو دراسة الخصائص الميكانيكية للتربة بتركيبها ووضعها الطبيعيين من خلال تجارب الانضغاطية (Consolidation) والنفاذية (Permeability) وغيرها.

وقد تم اختيار الترب المدروسة وفق قابليتها للانتفاخ على النحو التالي:

1. التربة الأولى ذات الانتفاخ المنخفض من تربة مشروع مطار حماة وهي ناعمة حمراء اللون، العينات المدروسة يتراوح عمقها بين 1.5 - 2.5 m.
2. تم الحصول على التربة الثانية ذات الانتفاخ المتوسط من قرية تارين في محافظة حماة وهي ناعمة حمراء اللون ويتراوح عمق العينات المدروسة بين 2 - 3.5 m.
3. التربة الثالثة ذات الانتفاخ العالي تم الحصول عليها من محيط قرية زيزون في مدينة حماة وهي ناعمة ذات لون بني قاتم والعينات المدروسة يتراوح عمقها بين 15 - 16 m.

بعد إحضار العينات إلى مخبر كلية الهندسة المدنية في جامعة البعث تم إجراء التجارب الخاصة بتحديد المواصفات الفيزيائية ومواصفات الانتفاخ للترب المدروسة من أجل تحديد نوع كل تربة من حيث قابليتها للانتفاخ، ونبين في الجداول التالية مواصفات الترب الثلاث:

الجدول (1-4): الخواص الفيزيائية للترب المدروسة

e_o (%)	G_s	γ_d (KN/m ³)	γ_b (KN/m ³)	W_n (%)	
86.40	2.68	14.40	17.80	23.80	
88.10	2.85	15.10	19.00	25.50	
102.50	2.89	14.30	18.30	27.90	

!!!!!! !!!!!!! !!!!!!! !!!!!!! !!!!!!! !!!!!!! !!!!!!! !!!!!!! !!!!!!! !!!!!!!

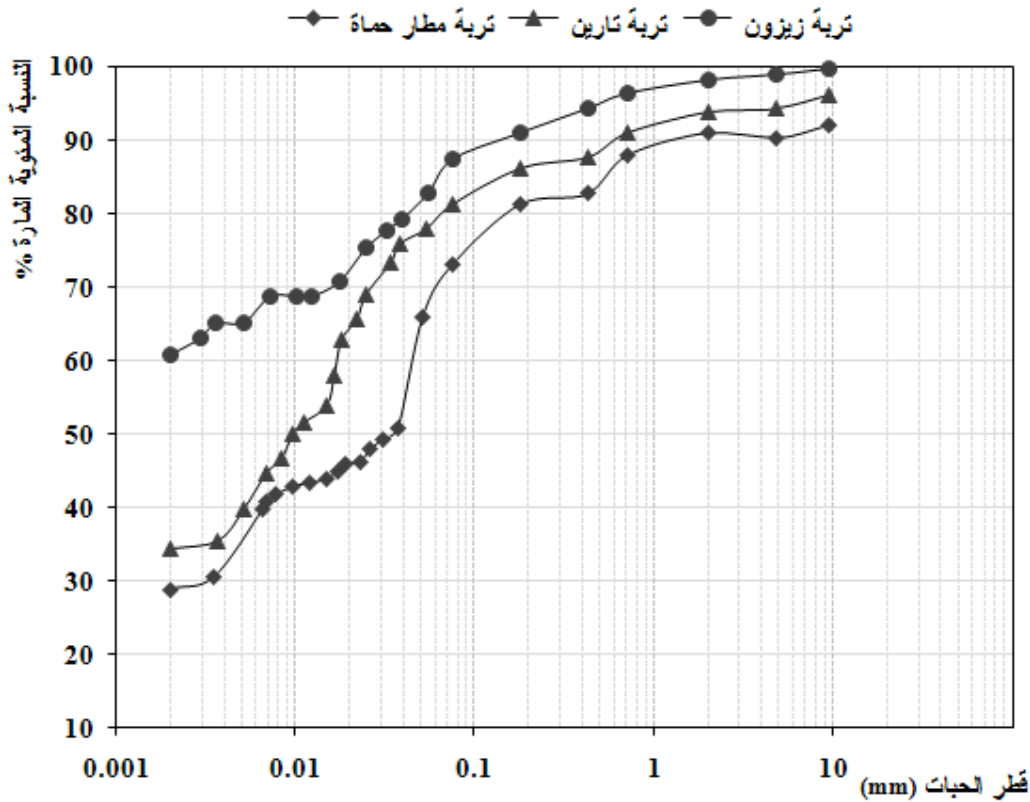
I_p (%)	W_p (%)	W_L (%)	
28.9	29.1	58	

USCS!!!!!!Œ Œ! !!!!š!!!!Œ!!!!Œ!!!!!!!!!!Œ!!!!!! dš!Œ dede!!!!!! !!!!!3!! 4!!¾!! !Œ

ونبين في الشكل (4 - 3) منحنيات التركيب الحبي للترب المدروسة.

الجدول (4-4): إمكانية انتفاخ الترب المدروسة وفقاً للطرق المعروضة في الفصل الثاني

!



الشكل (3-4): منحنيات التحليل الحبي للتربة المدروسة

نشير إلى أن حد التقلص المستخدم لتصنيف انتفاخية التربة وفقاً لبعض الطرق قد تم حسابه رياضياً اعتماداً على علاقة (Holtz & Kovaes 1981) [19] التي تعطي حد التقلص كتابع لحد السيولة W_L ودليل اللدونة I_p :

$$W_s(\%) = 46.38 \times \frac{W_L + 43.53}{I_p + 46.38} - 43.53$$

نلاحظ من الجدول السابق أن طرق التصنيف السابقة لم تعط نفس إمكانية الانتفاخ للتربة المدروسة إلا أنها اتفقت على إمكانية انتفاخ هذه التربة، كما يتبين لنا بأن العوامل المسيطرة على السلوك الانتفاخي للتربة الانتفاخية هي حد السيولة W_L ، دليل اللدونة I_p ، وحد التقلص W_s إضافة إلى نسبة الغضاريات في التربة المدروسة، ونجد أيضاً من النتائج السابقة أن بعض هذه الطرق كطريقة *Altmeyer* وطريقة *Rangaratham & Satyanarayana* غير ملائمة لتصنيف التربة المحلية وذلك من خلال مقارنة نتائج هاتين الطريقتين مع نتائج باقي الطرق.

وبإجراء تقييم عام للتصانيف الواردة في الجدول السابق يمكن تصنيف التربة المدروسة في بحثنا تبعاً لانتفاخها كما يلي:

!!!!!! !!!!!!! !!!!!!! !!!!!!! !!!!!!! !!!!!!! !!!!!!! !!!!!!! !!!!!!! !!!!!!!

!!!!!! !!!!!!! !!!!!!! !!!!!!! !!!!!!! !!!!!!! !!!!!!! !!!!!!! !!!!!!! !!!!!!!	!!!!!! !!!!!!! !!!!!!! !!!!!!! !!!!!!! !!!!!!! !!!!!!! !!!!!!! !!!!!!! !!!!!!!
!!!!!! !!!!!!! !!!!!!! !!!!!!! !!!!!!! !!!!!!! !!!!!!! !!!!!!! !!!!!!! !!!!!!!	!!!!!! !!!!!!! !!!!!!! !!!!!!! !!!!!!! !!!!!!! !!!!!!! !!!!!!! !!!!!!! !!!!!!!
!!!!!! !!!!!!! !!!!!!! !!!!!!! !!!!!!! !!!!!!! !!!!!!! !!!!!!! !!!!!!! !!!!!!!	!!!!!! !!!!!!! !!!!!!! !!!!!!! !!!!!!! !!!!!!! !!!!!!! !!!!!!! !!!!!!! !!!!!!!
!!!!!! !!!!!!! !!!!!!! !!!!!!! !!!!!!! !!!!!!! !!!!!!! !!!!!!! !!!!!!! !!!!!!!	!!!!!! !!!!!!! !!!!!!! !!!!!!! !!!!!!! !!!!!!! !!!!!!! !!!!!!! !!!!!!! !!!!!!!

سعة الانتفاخ ونفاذية التربة المدروسة:

تمت دراسة ثلاث عينات مختلفة الرطوبة من كل نوع من أنواع الترب المدروسة (كما ذكرنا سابقاً) ومن أجل كل عينة تم تحديد ضغط الانتفاخ وحساب عوامل النفاذية عند كل إجهاد من الإجهادات الشاقولية المطبقة على العينة حيث تم استخدام حلقة تشديد نظامية ارتفاعها (20 mm) ومساحة سطحها (40 cm²) وحجمها (80 cm³) ، ونبين فيما يلي نتائج التجارب التي أجريت على الترب الثلاث:

4 - 4 - 1 - التربة ضعيفة الانتفاخ (تربة مشروع مطار حماة):

- العينة الأولى: رطوبتها هي الرطوبة البدائية للتربة المدروسة، خواصها مبينة فيما يلي:

الجدول (4-6): مواصفات العينة الأولى - التربة ضعيفة الانتفاخ

17.8	γ_b (KN/m ³)	23.8	(W %) (w %)
14.4	γ_d (KN/m ³)	73.7	Sr (%)
2.0	H _o (cm)	86.4	e _o (%)

وبتمثيل العلاقة بين التشوه النسبي والإجهاد المطبق على العينة، الشكل (4 - 4)، يتم حساب ضغط الانتفاخ للعينة المدروسة ($\sigma_{sw} = 75$ KPa)، كما يبين الجدول (4 - 7) نتائج دراسة نفاذية العينة المدروسة وطريقة حساب عوامل النفاذية باستخدام طريقة لو غاريتم الزمن لكاساغراندي:

الجدول (4-7): نتائج دراسة نفاذية العينة الأولى - التربة ضعيفة الانتفاخ

K (m / sec)	C _v (m ² / sec)	m _v (m ² / KN)	a _v (m ² / KN)	e _i (%)	σ (KPa)
-	-	-	-	86.4	0
3.07×10^{-7}	4.18×10^{-7}	8.2	15.28	90.2	25
2.67×10^{-7}	3.74×10^{-7}	7.32	13.64	86.8	50
2.31×10^{-7}	3.69×10^{-7}	5.53	10.31	83.6	100
1.87×10^{-7}	3.29×10^{-7}	4.16	7.75	82.9	200
1.22×10^{-7}	2.78×10^{-7}	3.3	6.15	78.5	400
7.87×10^{-8}	2.65×10^{-7}	2.3	4.29	75.8	600
5.28×10^{-8}	2.51×10^{-7}	1.45	2.71	73.3	800

!!



!!

- !!! œ!!! œžf! !!!!œf!œœf!œœž! œ!!8! 4!!¾!! !œ

!!



!!

!!

!!

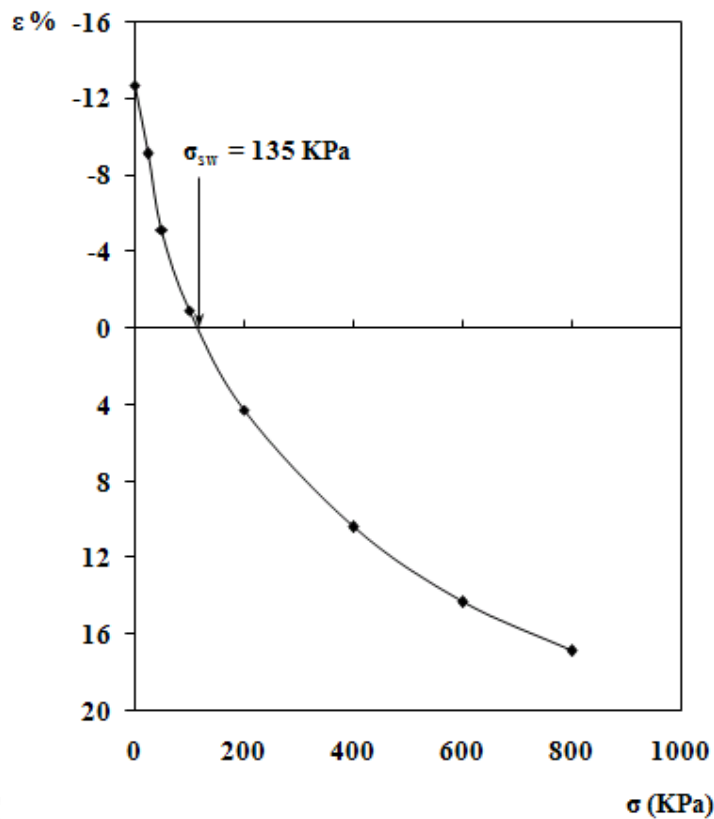
- !!

!!!

17.4	γ_b (KN/m ³)	17.8	(w %)
14.8	γ_d (KN/m ³)	58.7	Sr (%)
2.0	H_o (m)	81.4	e_o (%)

!!!

K (m / sec)	C_v (m ² / sec)	m_v (m ² / KN)	a_v (m ² / KN)	e_i (%)	σ (KPa)
-	-	-	-	81.4	0
1.92×10^{-7}	3.43×10^{-7}	6.48	12.08	84.4	25
1.63×10^{-7}	3.27×10^{-7}	5.88	10.95	81.6	50
1.42×10^{-7}	2.91×10^{-7}	4.64	8.65	78.3	100
9.95×10^{-8}	2.67×10^{-7}	3.8	7.08	74.1	200
7.86×10^{-8}	2.41×10^{-7}	2.64	4.92	72.7	400
4.39×10^{-8}	2.08×10^{-7}	1.77	3.3	69.0	600
2.58×10^{-8}	1.89×10^{-7}	0.73	1.36	67.3	800



!!

!!

!!!

4-4-2 - التربة متوسطة الانتفاخ (تربة تارين):

- !!! Œ!!! OE! !!!!!!!OE! !!! OE! /!OE Œ! OE!!12!! 4!!³/₄!! !OE

!!! Œ!!! OE! !!!!!!! OE !!! OE! OE! Œ!!! OE!! de! 13!! 4!!³/₄!!! OE

K (m / sec)	C_v (m²/ sec)	m_v (m²/ KN)	a_v (m²/ KN)	e_i (%)	σ (KPa)
-	-	-	-	88.1	0
8.92×10⁻⁸	8.30×10⁻⁷	10.76	20.24	94.2	25
8.47×10⁻⁸	8.15×10⁻⁷	9.53	17.93	90.7	50
7.91×10⁻⁸	7.86×10⁻⁷	8.13	15.3	86.1	100
7.53×10⁻⁸	7.63×10⁻⁷	7.64	14.4	81.6	200
6.88×10⁻⁸	7.32×10⁻⁷	6.13	11.53	77.5	400
6.36×10⁻⁸	6.91×10⁻⁷	5.47	10.3	74.9	600
5.83×10⁻⁸	6.75×10⁻⁷	4.38	8.24	70.3	800
5.37×10⁻⁸	6.58×10⁻⁷	3.65	6.87	67.4	1000
4.91×10⁻⁸	6.31×10⁻⁷	2.24	4.21	65.6	1200
4.68×10⁻⁸	6.08×10⁻⁷	1.87	3.52	62.8	1300

وبين الشكل (4 - 7) طريقة حساب ضغط الانتفاخ للعينة المدروسة وهو يساوي ($\sigma_{sw} = 360 \text{ KPa}$).



حساب ضغط الانتفاخ للعينة الأولى- التربة المتوسطة الانتفاخ

- الجدول (4-14): مواصفات العينة الثانية - التربة متوسطة الانتفاخ**

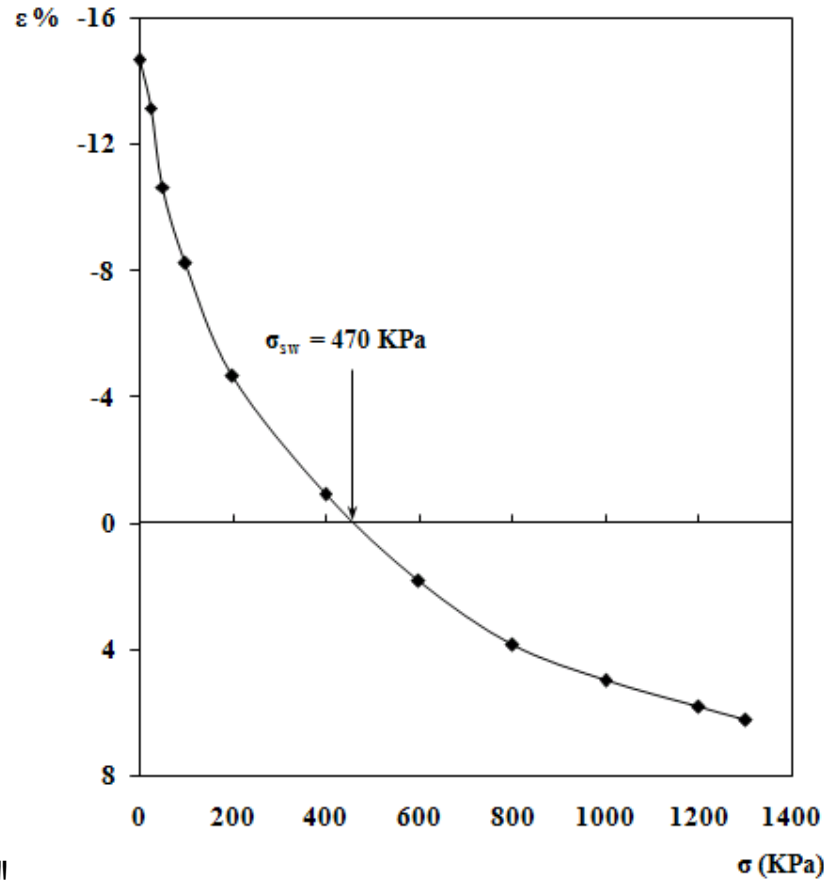
11

الجدول (4-15): نتائج دراسة نفاذية العينة الثانية - التربة متوسطة الانتفاخ

created with
nitro^{PDF} professional
download the free trial online at nitropdf.com/professional

6.24×10^{-8}	7.43×10^{-7}	8.31	15.51	83.2	200
5.31×10^{-8}	7.11×10^{-7}	7.47	13.95	78.8	400
4.45×10^{-8}	6.90×10^{-7}	6.72	12.55	73.9	600
3.62×10^{-8}	6.76×10^{-7}	5.84	10.9	69.5	800
3.01×10^{-8}	6.41×10^{-7}	4.52	8.44	66.1	1000
2.46×10^{-8}	6.13×10^{-7}	2.93	5.47	64.4	1200
1.97×10^{-8}	5.83×10^{-7}	1.63	3.04	61.6	1300

!!



!!

الشكل (4-8): العلاقة بين التشوه النسبي والإجهاد المطبق
حساب ضغط الانتفاخ للعيينة الثانية- التربة المتوسطة الانتفاخ

- العينة الثالثة: رطوبتها أقل من رطوبة العينة الثانية والنتائج مبينة في الجداول التالية، وضغط الانتفاخ للعيينة المدروسة يساوي ($\sigma_{sw} = 645 \text{ KPa}$) كما هو مبين في الشكل (4-9).

الجدول (4-16): مواصفات العينة الثالثة - التربة متوسطة الانتفاخ

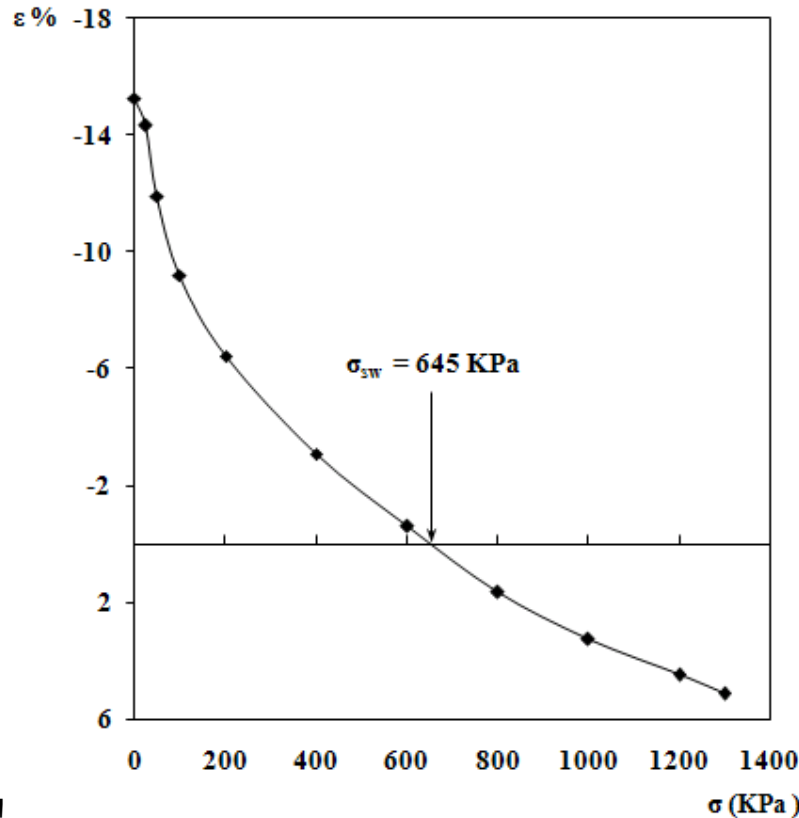
18.5	$\gamma_b \text{ (KN/m}^3\text{)}$	19.1	(W %)
15.5	$\gamma_d \text{ (KN/m}^3\text{)}$	64.7	Sr (%)
2.0	$H_o \text{ (m)}$	84.0	$e_o \text{ (%)}$

!!

!!!!!!!!!

K (m / sec)	C _v (m ² / sec)	m _v (m ² / KN)	a _v (m ² / KN)	e _i (%)	σ (KPa)
-	-	-	-	84.0	0
7.34×10 ⁻⁸	7.43×10 ⁻⁷	9.88	18.18	88.5	25
6.72×10 ⁻⁸	7.22×10 ⁻⁷	8.72	16.04	86.8	50
6.05×10 ⁻⁸	7.05×10 ⁻⁷	7.90	14.54	83.4	100
5.28×10 ⁻⁸	6.88×10 ⁻⁷	7.11	13.08	79.2	200
4.33×10 ⁻⁸	6.61×10 ⁻⁷	6.74	12.40	77.1	400
3.17×10 ⁻⁸	6.44×10 ⁻⁷	5.87	10.80	73.8	600
2.39×10 ⁻⁸	6.25×10 ⁻⁷	5.05	9.30	68.7	800
1.94×10 ⁻⁸	6.10×10 ⁻⁷	3.93	7.23	65.3	1000
1.46×10 ⁻⁸	5.85×10 ⁻⁷	2.33	4.28	62.9	1200
1.28×10 ⁻⁸	5.63×10 ⁻⁷	1.52	2.80	60.7	1300

!!
نلاحظ من نتائج دراسة النفاذية للعينات الثلاثة المدروسة من التربة متوسطة الانتفاخ أن قيمة عامل النفاذية للتربة تنخفض بزيادة الضغط الشاقولي المطبق عليها كما أنه مع تناقص الرطوبة البدائية للعيينة المدروسة ومع ازدياد ضغط انتفاخ العينة تتناقص قيم عامل النفاذية بمقدار صغير كما رأينا سابقاً في التربة الضعيفة الانتفاخ.



!!

!!!!!!!!!

- العينة الأولى: رطوبتها هي الرطوبة البدائية للتربة المدروسة، خواص العينة ونتائج دراسة النفاذية باستخدام طريقة جذر الزمن لتايلور مبينة في الجدولين (4 - 18)، (4 - 19)، وقيمة ضغط انتفاخ العينة تساوي ($\sigma_{sw} = 1050 \text{ KPa}$) كما هو مبين في الشكل (4 - 10).

الجدول (4-18): مواصفات العينة الأولى - التربة عالية الانتفاخ

18.3	γ_b (KN/m ³)	27.9	(W %)
14.3	γ_d (KN/m ³)	78.8	Sr (%)
2.0	H ₀ (m)	102.5	e ₀ (%)

!!! œ!!! OE fœ!!!!OE! !!! OE f!OE fœ!!!! OE!! de!19!! 4!!¾!! !OE

K (m / sec)	C_v (m²/ sec)	m_v (m²/ KN)	a_v (m²/ KN)	e_i (%)	σ (KPa)
-	-	-	-	102.5	0
7.98×10⁻¹⁰	6.74×10⁻¹⁰	12.33	24.97	110.8	25
7.56×10⁻¹⁰	6.53×10⁻¹⁰	11.70	23.70	108.5	50
6.98×10⁻¹⁰	6.31×10⁻¹⁰	10.82	21.91	106.3	100
6.47×10⁻¹⁰	6.17×10⁻¹⁰	10.05	20.35	102.6	200
5.71×10⁻¹⁰	5.94×10⁻¹⁰	9.11	18.45	98.6	400
4.65×10⁻¹⁰	5.77×10⁻¹⁰	8.50	17.23	95.1	600
3.87×10⁻¹⁰	5.41×10⁻¹⁰	7.63	15.45	92.2	800
3.23×10⁻¹⁰	5.26×10⁻¹⁰	6.85	13.87	89.0	1000
2.65×10⁻¹⁰	5.04×10⁻¹⁰	5.72	11.58	85.9	1200
2.26×10⁻¹⁰	4.82×10⁻¹⁰	4.91	9.94	83.4	1300
1.85×10⁻¹⁰	4.57×10⁻¹⁰	3.73	7.55	81.3	1400
1.64×10⁻¹⁰	4.30×10⁻¹⁰	2.66	5.40	79.7	1500
1.38×10⁻¹⁰	4.11×10⁻¹⁰	1.28	2.62	77.4	1600

- العينة الثانية: رطوبتها أقل من رطوبة العينة الأولى وخواص العينة ونتائج دراسة النفاذية مبينة في الجدولين (4 - 20)، (4 - 21)، وقيمة ضغط انتفاخ العينة تساوي ($\sigma_{sw} = 1200 \text{ KPa}$) كما هو مبين في الشكل (4 - 11).



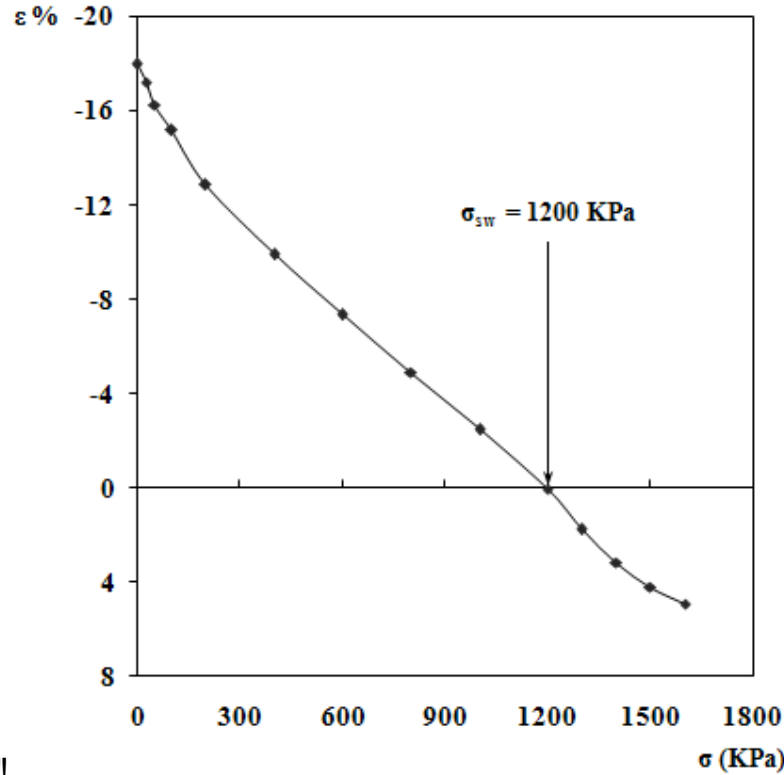
!!

!!

11

11

3.11×10^{-10}	4.53×10^{-10}	6.56	12.10	87.6	1000
2.39×10^{-10}	4.32×10^{-10}	5.31	10.51	84.1	1200
1.88×10^{-10}	4.16×10^{-10}	4.76	9.42	82.8	1300
1.61×10^{-10}	3.93×10^{-10}	3.52	6.12	80.5	1400
1.37×10^{-10}	3.77×10^{-10}	1.86	3.68	78.9	1500
9.88×10^{-11}	3.57×10^{-10}	0.93	1.84	76.3	1600



!! ž !!! OE d d ! OE ! !! OE ! !! OE f !!!!! OE 11!! 4!! 3% ! OE

!!! OE f d OE !!! OE ! f d OE f !!!!! OE !!! OE !! !! deš

- العينة الثالثة: رطوبتها أقل من رطوبة العينة الثانية والنتائج مبينة في الجداول التالية، وضغط الانتفاخ للعينة المدروسة يساوي ($\sigma_{sw} = 1320 \text{ KPa}$) كما هو مبين في الشكل (4 - 12).

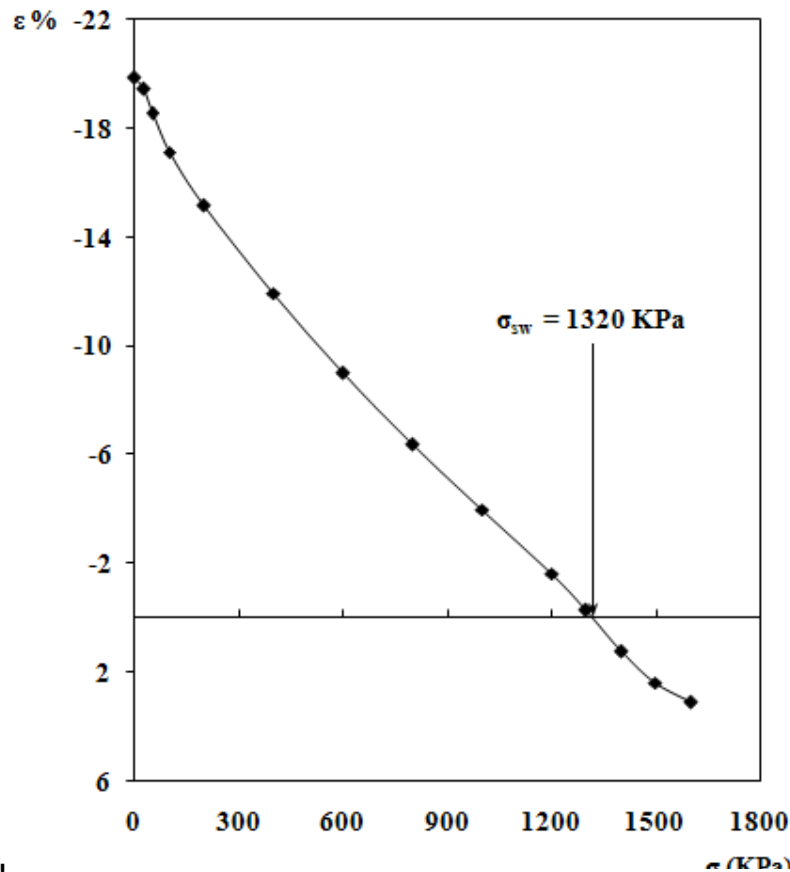
!!! OE f d !!! OE !!! OE f ! OE OE !!! 22!! 4!! 3% !! OE

18.1	$\gamma_b \text{ (KN/m}^3\text{)}$!!! OE !!! OE	20.6	(W %) !!! OE !!!
15.0	$\gamma_d \text{ (KN/m}^3\text{)}$!! d OE !!! OE	64.4	Sr (%) !! OE ! OE !!!
2.0	$H_o \text{ (m)}$!! OE OE f ! OE OE !!! OE	92.5	$e_o \text{ (%)}$!! f OE OE d OE Z ! OE !!

!!
!!

!!!

K (m / sec)	C _v (m ² / sec)	m _v (m ² / KN)	a _v (m ² / KN)	e _i (%)	σ (KPa)
-	-	-	-	92.5	0
6.53×10 ⁻¹⁰	5.46×10 ⁻¹⁰	11.96	23.02	102.6	25
5.94×10 ⁻¹⁰	5.28×10 ⁻¹⁰	11.04	21.25	100.5	50
5.46×10 ⁻¹⁰	5.02×10 ⁻¹⁰	10.12	19.48	98.8	100
4.98×10 ⁻¹⁰	4.87×10 ⁻¹⁰	9.76	18.78	96.4	200
4.42×10 ⁻¹⁰	4.61×10 ⁻¹⁰	8.63	16.61	93.7	400
3.87×10 ⁻¹⁰	4.46×10 ⁻¹⁰	7.94	15.28	89.6	600
3.24×10 ⁻¹⁰	4.23×10 ⁻¹⁰	7.10	13.67	86.8	800
2.74×10 ⁻¹⁰	3.94×10 ⁻¹⁰	6.22	11.97	83.2	1000
2.19×10 ⁻¹⁰	3.78×10 ⁻¹⁰	5.11	9.84	80.5	1200
1.83×10 ⁻¹⁰	3.52×10 ⁻¹⁰	4.45	8.57	78.4	1300
1.54×10 ⁻¹⁰	3.33×10 ⁻¹⁰	3.13	6.03	76.8	1400
1.28×10 ⁻¹⁰	3.16×10 ⁻¹⁰	1.52	2.93	74.1	1500
9.82×10 ⁻¹¹	2.84×10 ⁻¹⁰	0.71	1.37	72.8	1600



!!!

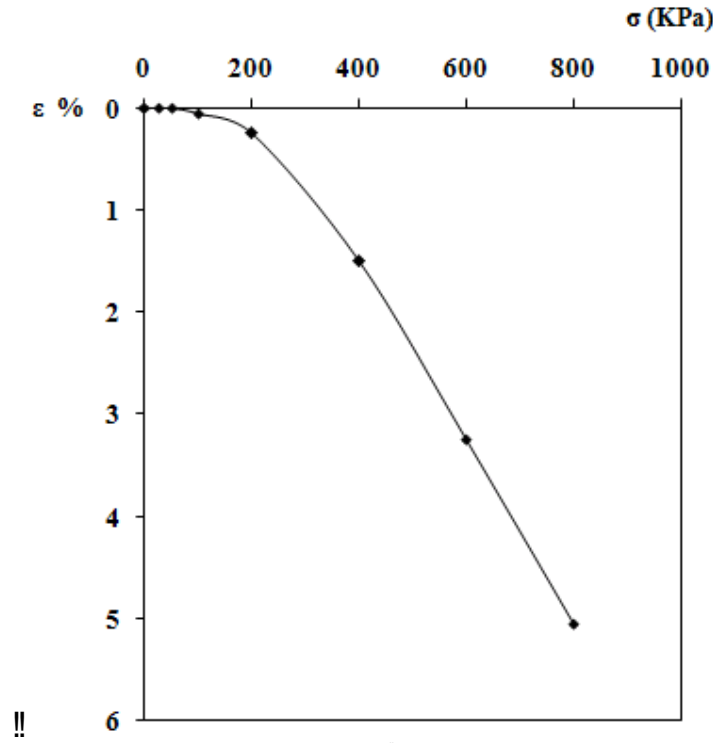
4-5- نتائج تجارب تطويق الانتفاخ ودراسة نفاذية التربة:

4-5-1 - التربة ضعيفة الانتفاخ:

- الجدول (4-24): خواص العينة الأولى - التربة ضعيفة الانتفاخ**

!!! œ!!! œžf! !!!!œ! !!! œ!f!œfœ!!! œ!!! œ!25! 4!!¾!!!œ

K (m / sec)	C _v (m ² / sec)	m _v (m ² / KN)	a _v (m ² / KN)	σ (KPa)
-	-	-	-	0
!!deš!! !!! !!!!!!!	-	-	-	25
!!deš!! !!! !!!!!!!	-	-	-	50
!!deš!! !!! !!!!!!!	-	-	-	100
1.35×10 ⁻⁷	3.51×10 ⁻⁷	3.85	7.17	200
1.05×10 ⁻⁷	3.37×10 ⁻⁷	2.24	4.18	400
6.82×10 ⁻⁸	3.09×10 ⁻⁷	1.64	3.06	600
4.05×10 ⁻⁸	2.82×10 ⁻⁷	0.84	1.57	800



البيانات التجريبية للعينتين الأولى والثانية:

البيانات التجريبية للعينتين الأولى والثانية:

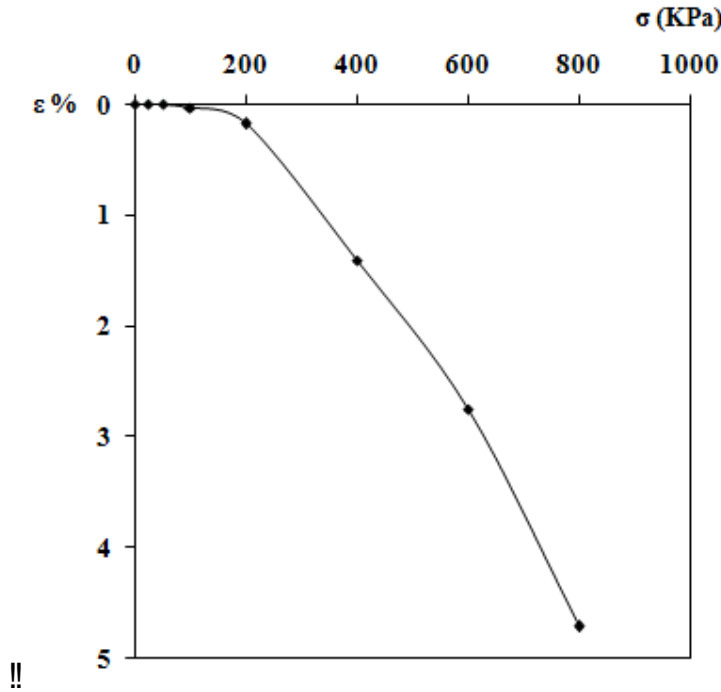
• العينة الثانية: تماثل العينة الثانية المدروسة مع الانتفاخ من حيث رطوبتها البدائية ووزنها الحجمي:

البيانات التجريبية للعينتين الأولى والثانية:

17.5	γ_b (KN/m ³)	20.4	(W %)
14.5	γ_d (KN/m ³)	64.6	Sr (%)
2.0	H_o (m)	84.7	e_o (%)

البيانات التجريبية للعينتين الأولى والثانية:

K (m / sec)	C_v (m ² / sec)	m_v (m ² / KN)	a_v (m ² / KN)	σ (KPa)
-	-	-	-	0
!!deš!! !!! !!!!!!!	-	-	-	25
!!deš!! !!! !!!!!!!	-	-	-	50
!!deš!! !!! !!!!!!!	-	-	-	100
1.22×10^{-7}	3.31×10^{-7}	3.43	6.33	200
8.60×10^{-8}	3.14×10^{-7}	2.11	3.89	400
5.37×10^{-8}	2.78×10^{-7}	1.42	2.63	600
2.51×10^{-8}	2.53×10^{-7}	0.55	1.02	800



!!! غ!!!!!! غŽf!! !OE!!!!OE! f!deOE!f!!!!!! !de!OEž!!!! OE f!!!!14! 4!%!! !OE

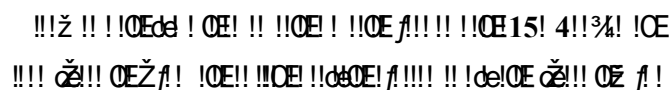
- العينة الثالثة: تماثل العينة الثالثة المدروسة مع الانتفاخ من حيث رطوبتها البدائية ووزنها الحجمي، نتائج التجربة مبينة في الجداول التالية:

الجدول (28-4): خواص العينة الثالثة - التربة ضعيفة الانتفاخ

17.4	γ_b (KN/m ³)	17.85	(W %)
14.8	γ_d (KN/m ³)	81.5	e_o (%)
2.0	H_o (m)	58.7	Sr (%)

!!! غ!!!!!! غŽf!!!!!!!!OE!!!!!!deOE!f!OE!f!ž!!!! OE!! !de!29! 4!%!! !OE

K (m / sec)	C_v (m ² / sec)	m_v (m ² / KN)	a_v (m ² / KN)	σ (KPa)
-	-	-	-	0
!!deš!!!!!!	-	-	-	25
!!deš!!!!!!	-	-	-	50
!!deš!!!!!!	-	-	-	100
!!deš!!!!!!	-	-	-	200
6.85×10^{-8}	2.85×10^{-7}	2.64	4.81	400
3.46×10^{-8}	2.61×10^{-7}	1.36	2.47	600
1.02×10^{-8}	2.37×10^{-7}	0.42	0.76	800



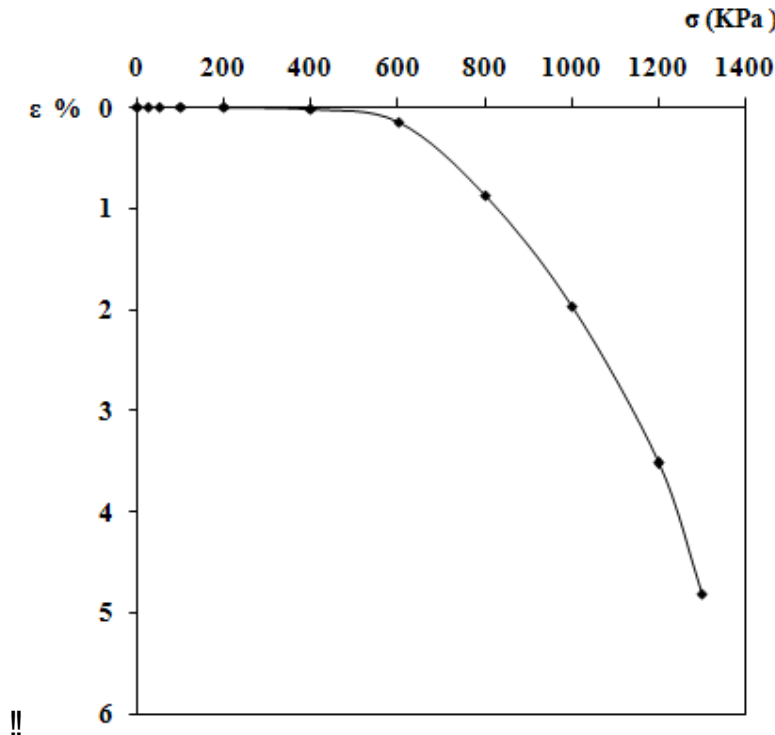
4-5-2- التربة متوسطة الانتفاخ:

- !!! œ!!! œ! ! ! ! ! ! ! ! ! ! œ! !!! œ! / ! œ œ !!! 30! 4!!³/₄!! !œ

!!! Œ !!! OE ! ! ! ! ! ! ! ! ! ! OE ! ! ! OE ! / OE / Œ !!! OE !! oe 3! 4!!³/₄!! !OE

created with
nitro^{PDF} professional
download the free trial online at nitropdf.com/professional

!!deš!! !!! !!!!!!!	-	-	-	25
!!deš!! !!! !!!!!!!	-	-	-	50
!!deš!! !!! !!!!!!!	-	-	-	100
!!deš!! !!! !!!!!!!	-	-	-	200
!!deš!! !!! !!!!!!!	-	-	-	400
5.42×10^{-8}	1.62×10^{-7}	5.34	10.04	600
5.27×10^{-8}	1.47×10^{-7}	4.83	9.01	800
4.76×10^{-8}	1.25×10^{-7}	4.11	7.73	1000
4.21×10^{-8}	1.03×10^{-7}	3.56	6.70	1200
3.97×10^{-8}	9.84×10^{-8}	2.72	5.12	1300



!!!ž !!!!OEde ! OE! !! !!OE! !!OE f!!!!!! OE 16! 4!!!%! !OE
!!! œ!!! OE! !!!!!OE!! OE! !!! OE f!!!!!! !!de!OE œ!!! OE f!!!

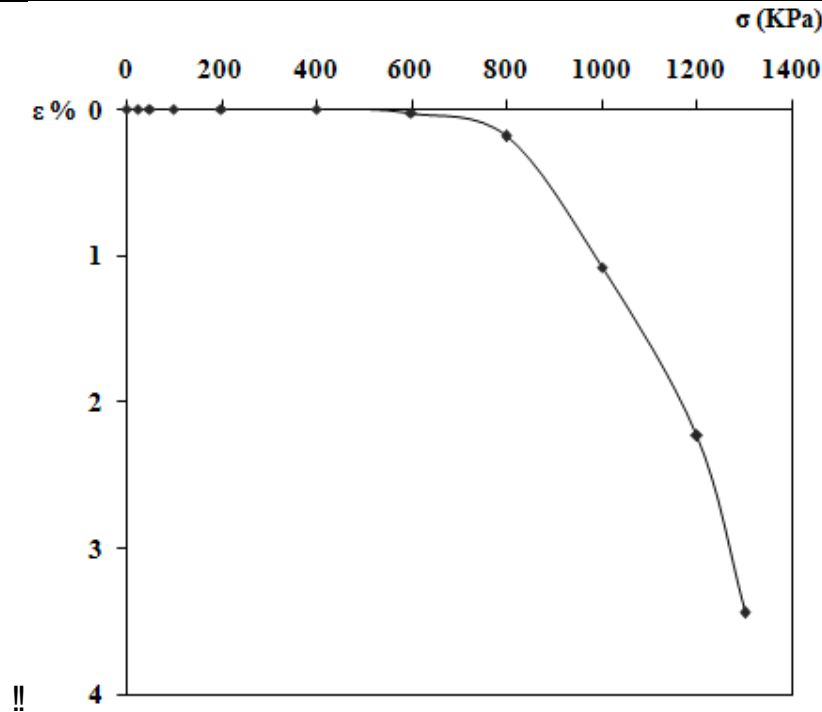
- العينة الثانية: تماثل العينة الثانية المدروسة مع الانتفاخ من حيث رطوبتها البدائية ووزنها الحجمي، ونتائج التجربة مبينة في الجداول التالية:

!!! œ!!! OE! !!!!!!!OE! f!OE f!OE OE !!!32! 4!!!%!! !OE

18.7	γ_b (KN/m ³)!!!OE!! š!OE!!!OE	22.5	(W %) !!f!OE!!!!
15.2	γ_d (KN/m ³)!! deOE!! š!OE!!!OE	87.0	e_o (%) !!f!OEde deOE!OE!!
2.0	H_o (m) !!OE!OE f!OE œ!!! OE	73.8	

!!!

K (m / sec)	C _v (m ² / sec)	m _v (m ² / KN)	a _v (m ² / KN)	σ (KPa)
-	-	-	-	0
!!deš!!	-	-	-	25
!!deš!!	-	-	-	50
!!deš!!	-	-	-	100
!!deš!!	-	-	-	200
!!deš!!	-	-	-	400
!!deš!!	-	-	-	600
3.18×10 ⁻⁸	1.24×10 ⁻⁷	4.36	8.15	800
2.44×10 ⁻⁸	9.91×10 ⁻⁸	3.75	7.01	1000
1.63×10 ⁻⁸	9.77×10 ⁻⁸	2.81	5.25	1200
1.32×10 ⁻⁸	9.53×10 ⁻⁸	1.63	3.05	1300



!!!

● العينة الثالثة: تماثل العينة الثالثة المدروسة مع الانتفاخ، نتائج التجربة مبينة في الجداول التالية:

!!!

18.4	γ _b (KN/m ³)	19.0	(W %)
15.5	γ _d (KN/m ³)	83.8	e _o (%)
2.0	H _o (m)	64.5	

!!



!!

4-5-3- التربة عالية الانتفاخ:

- العينة الأولى: تماثل العينة الأولى المدروسة مع الانتفاخ من حيث رطوبتها البدائية ووزنها الحجمي، ونتائج تجربة التشديد مبينة فيما يلي:

الجدول (4-37): خواص العينة الأولى - التربة عالية الانتفاخ

18.3	γ_b (KNcm ³)	27.9	(W %)
14.3	γ_d (KN/m ³)	102.5	e_o (%)
2.0	H_o (m)	78.7	c_v (%)

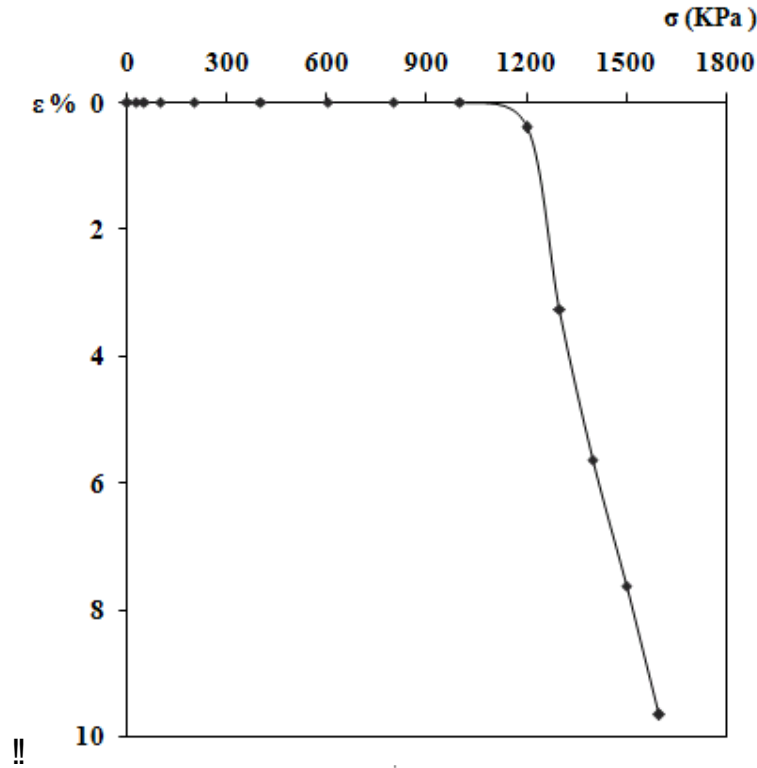
البيانات التجريبية لخصائص التربة المدروسة مع الانتفاخ من حيث رطوبتها البديئة ووزنها الحجمي، ونتائج التجربة مبينة في الجداول التالية:

K (m / sec)	C _v (m ² / sec)	m _v (m ² / KN)	a _v (m ² / KN)	σ (KPa)
-	-	-	-	0
0.001	-	-	-	25
0.002	-	-	-	50
0.003	-	-	-	100
0.004	-	-	-	200
0.005	-	-	-	400
0.006	-	-	-	600
0.007	-	-	-	800
0.008	-	-	-	1000
2.12×10 ⁻¹⁰	2.92×10 ⁻⁹	6.10	12.35	1200
1.66×10 ⁻¹⁰	2.71×10 ⁻⁹	5.74	11.62	1300
1.35×10 ⁻¹⁰	2.44×10 ⁻⁹	3.95	8.00	1400
9.98×10 ⁻¹⁰	2.18×10 ⁻⁹	3.23	6.54	1500
9.27×10 ⁻¹¹	1.92×10 ⁻⁹	2.88	5.83	1600

- العينة الثانية: تماثل العينة الثانية المدروسة مع الانتفاخ من حيث رطوبتها البديئة ووزنها الحجمي، ونتائج التجربة مبينة في الجداول التالية:

البيانات التجريبية لخصائص التربة المدروسة مع الانتفاخ من حيث رطوبتها البديئة ووزنها الحجمي، ونتائج التجربة مبينة في الجداول التالية:

18.1	γ _b (KN/m ³)	24.1	(W %) (W %)
14.6	γ _d (KN/m ³)	97.8	e _o (%)
2.0	H _o (m)	71.2	Sr (%)



!!!

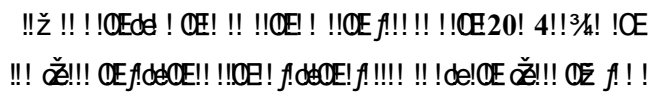
!!

!!

!

K (m / sec)	C _v (m ² / sec)	m _v (m ² / KN)	a _v (m ² / KN)	σ (KPa)
-	-	-	-	0
!!deš!! !!! !!!!!!!	-	-	-	25
!!deš!! !!! !!!!!!!	-	-	-	50
!!deš!! !!! !!!!!!!	-	-	-	100
!!deš!! !!! !!!!!!!	-	-	-	200
!!deš!! !!! !!!!!!!	-	-	-	400
!!deš!! !!! !!!!!!!	-	-	-	600
!!deš!! !!! !!!!!!!	-	-	-	800
!!deš!! !!! !!!!!!!	-	-	-	1000
!!deš!! !!! !!!!!!!	-	-	-	1200
1.14×10 ⁻¹⁰	1.73×10 ⁻¹⁰	5.03	9.95	1300
9.45×10 ⁻¹¹	1.48×10 ⁻¹⁰	4.86	9.61	1400
8.26×10 ⁻¹¹	1.13×10 ⁻¹⁰	4.15	8.21	1500
7.47×10 ⁻¹¹	9.80×10 ⁻¹¹	3.76	7.44	1600

!!



- الجدول (4-41): خواص العينة الثالثة - التربة عالية الانتفاخ**

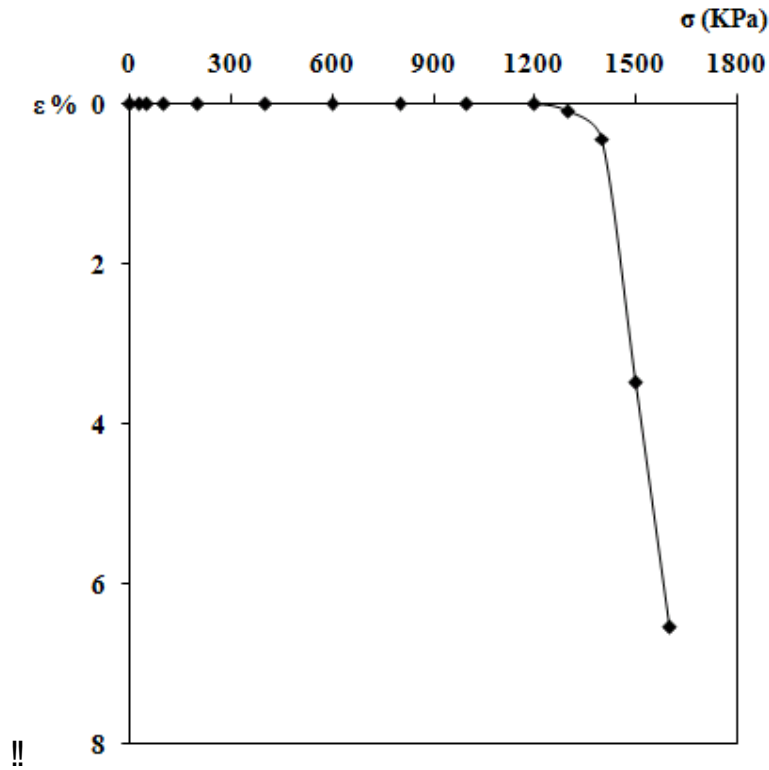
!!

ومن خلال مقارنة قيم عوامل النفاذية للترب الثلاث المدروسة وفي الحالتين المدروستين (انتفاخ - تطويق انتفاخ) نجد أن قيم عوامل النفاذية في الحالة الأولى أكبر من قيمها في حالة تطويق الانتفاخ.

الجدول (4-42): نتائج دراسة نفاذية العينة الثالثة - التربة عالية الانتفاخ

created with
nitro^{PDF} professional
download the free trial online at nitropdf.com/professional

!!deš!! !!! !!!!!!!	-	-	-	100
!!deš!! !!! !!!!!!!	-	-	-	200
!!deš!! !!! !!!!!!!	-	-	-	400
!!deš!! !!! !!!!!!!	-	-	-	600
!!deš!! !!! !!!!!!!	-	-	-	800
!!deš!! !!! !!!!!!!	-	-	-	1000
!!deš!! !!! !!!!!!!	-	-	-	1200
8.32×10^{-11}	1.73×10^{-10}	5.03	9.95	1300
7.24×10^{-11}	1.48×10^{-10}	4.86	9.61	1400
6.36×10^{-11}	1.13×10^{-10}	4.15	8.21	1500
5.36×10^{-11}	9.80×10^{-11}	3.76	7.44	1600



!!!

!!

4 - 6 - التطبيقات العملية لتجارب تطويق الانتفاخ - دراسة حقلية - تحليل واقع بعض السدود الترابية المنفذة في سوريا:
4 - 6 - 1 - الهدف من الدراسة:

دراسة واقع بعض السدود الترابية المنفذة في القطر العربي السوري من حيث طريقة تصميمها ومادة إنشائها ولا سيما تصميم وإنشاء العنصر المضاد للرشح أي النواة الغضارية، وبيان إمكانية تطبيق تجارب

تطوير الانتفاخ من أجل تحديد عامل النفاذية لترتبة النواة الغضارية وذلك على اعتبار أن عامل النفاذية هو المعيار الرئيسي في دراسة التسرب عبر النواة وفي جسم السد.

وقد بنيت الدراسة على نتائج تجارب تطوير الانتفاخ التي تم إجراؤها على ترب غضارية مختلفة في قابليتها للانتفاخ وتصلح كمادة لبناء السد الترابي وإنشاء النواة الغضارية، حيث أظهرت هذه النتائج أن قيمة عامل نفاذية التربة القابلة للانتفاخ في حال تم تطوير انتفاخها يكون أقل من قيمته في حال لم يتم تطوير الانتفاخ، وفي حال أمكن اعتماد قيمة عامل النفاذية الناتجة عن تجربة تطوير الانتفاخ على اعتبار أن تطوير الانتفاخ محقق عملياً في النواة الغضارية للسد في حال تجاوز ارتفاعها قيمة محددة (كما سنرى لاحقاً)، فإنه يمكن تخفيض عوامل الأمان أثناء التصميم من خلال تخفيض أبعاد النواة الغضارية مع المحافظة على توازنها واستقرارها وهذا ينعكس بدوره على الكلفة الاقتصادية لتصميم وإنشاء السد الترابي.

4 - 6 - 2 - لمحة عامة عن السدود المنفذة في سوريا:

تتنوع السدود الموجودة في القطر العربي السوري من حيث وظيفتها وطريقة إنشائها، حيث تم إنشاء 160 سداً لغاية عام 2006 تتوزع كما يلي:

الجدول (4-43): عدد السدود المنفذة في الجمهورية العربية السورية لغاية عام 2006 [23]

!! !!!!!!! !!!!!!! !!!!!!! !!!!!!! !!!!!!! !!!!!!! !!!!!!! !!!!!!! !!!!!!!	! !!!!!!! !!!!!!! !!!!!!! !!!!!!! !!!!!!! !!!!!!! !!!!!!! !!!!!!! !!!!!!!	!! !!!!!!! !!!!!!! !!!!!!! !!!!!!! !!!!!!! !!!!!!! !!!!!!! !!!!!!!
8.282	6	!!!!!! !!!!!!!
206.2	41	!!!!!! !!!!!!!
947.72	42	!! !!!!!!!
69.59	37	! !!!!!!!
552.92	19	3%!!!!!!
16136	3	! !!!!!!! !!!!!!!
1045.34	12	!!!!!! !!!!!!! !!!!!!!
18966.052	160	!!!!!! !!!!!!!

وتصنف هذه السدود تبعاً لارتفاعها كما يلي:

الجدول (4-44): تصنيف السدود المنفذة في الجمهورية العربية السورية من حيث ارتفاعها [23]

OE!! !!!!!!!	! !!!!!!!	! !!!!!!! !!!!!!! !!!!!!! !!!!!!! !!!!!!! !!!!!!! !!!!!!! !!!!!!!	! !!!!!!! !!!!!!! !!!!!!! !!!!!!! !!!!!!! !!!!!!! !!!!!!! !!!!!!!	!! !!!!!!! !!!!!!! !!!!!!! !!!!!!! !!!!!!! !!!!!!! !!!!!!! !!!!!!!
-	1	1	4	!!!!!! !!!!!!!
-	3	25	13	!!!!!! !!!!!!!
-	-	6	36	!! !!!!!!!
-	-	-	37	! !!!!!!!
-	1	10	8	3%!!!!!!
-	-	2	1	! !!!!!!! !!!!!!!
-	-	2	10	!!!!!! !!!!!!! !!!!!!!
0	5	46	109	!!!!!! !!!!!!!

ونشير هنا إلى أن غالبية السدود المنفذة في سوريا هي سدود ترابية أو ركامية وتضم نواة غضارية أو نواة مع مصارف مائية وفلاتر عكسية تتوضع على جانبي النواة [23].

تكنيكية التصميمية للترب المدروسة في البحث كمادة بناء للنواة الغضارية:

الجدول (4-45): خواص الترب المدروسة تبعاً للتجارب المخبرية وعلاقات ميكانيك التربة

!!! f de !!OE OE!!!! de de de OE!! OE! !!!!!! OE!!!!!! f des OE OE OE OE 46! 4!!³/₄!! OE

نلاحظ من الجدول (4 - 45) أن الرطوبة الطبيعية للترب المدروسة قريبة من الرطوبة التصميمية والترب المدروسة حد سيولتها أكبر من (50 %)، وبالتالي يمكن استخدام هذه الترب في إنشاء نواة غضارية لسد ترابي حيث يتم ردمها ورصها عند الرطوبة الطبيعية.

سنقوم بدراسة التسرب في سد الشهيد باسل الأسد الذي تم إنجازه عام 2000 في محافظة طرطوس وهو سد تخزيني ويعتبر من السدود المستهلكة للماء باعتبار أن المياه التي يتم توجيهها من بحيرة التخزين إلى المساحات الزراعية ستقوم بتأمين الاحتياجات المائية للمحاصيل الزراعية المروية، حيث يقوم هذا السد بإرواء مساحة 10160 هكتاراً، وتبلغ مساحة بحيرة التخزين 6900 ألف متر مربع وارتفاع جسم السد (H_D = 50 m) وطوله 733 m، وهو سد ترابي يضم نواة غضارية مركزية مع ثلاثة فلاتر عكسية تحيط بالنواة من كل جانب إضافة إلى مصرف ماء خارجي، ويبين الشكل (4 - 22) مقطعاً عرضياً في جسم السد

المدرس [25].

وقد تم اختيار هذا المثال تحديداً بعد دراسة وبحث وتحليل لعدة سدود ترابية في مناطق متفرقة من سوريا (نذكر منها سد تشرين على نهر الفرات وهو سد ترابي مع ستارة مائعة للرشح، سد على نهر الكبير الشمالي وهو سد ترابي مع نواة مائلة)، وذلك بسبب التوافق بين تربة نواة السد وتربة تارين المتوسطة الانتفاخ التي تمت دراستها في البحث كما سنرى لاحقاً، وبسبب توفر معلومات عن قيم التسرب المقاسة عبر جسم السد سنوياً والتي تمكنا من الحصول عليها من سجلات مديرية الموارد المائية في طرطوس [24]، مما يمكننا من مقارنة نتائج التجارب المخبرية مع القيم الحقلية للنفاذية والتسرب عبر جسم السد.

ونبين فيما يلي قيم التسرب الحقلية التي حصلنا عليها من المهندسين في موقع السد وذلك تبعاً لحجم التخزين السنوي وهي محسوبة من أجل شريحة طولية من بحيرة التخزين، علماً أن التسرب المسموح ألا يزيد عن % (2 ~ 3) من حجم بحيرة التخزين [24]:

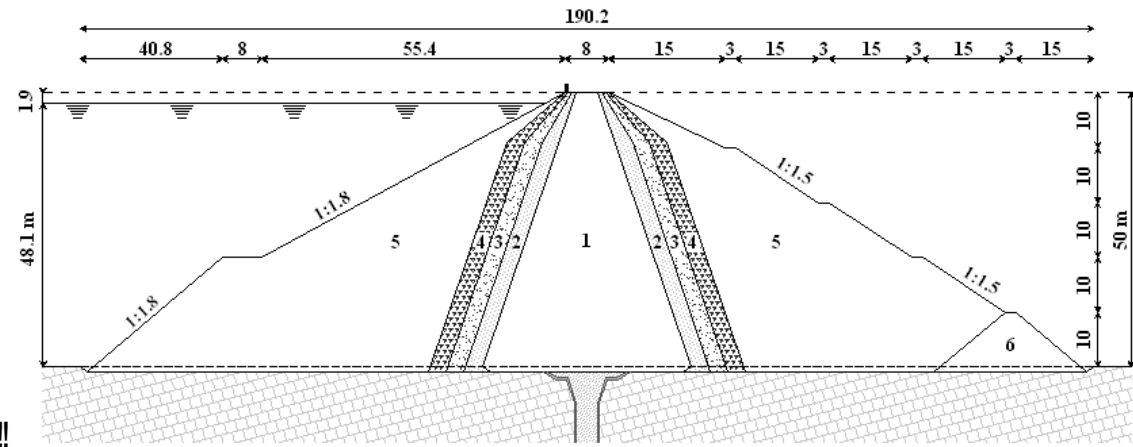
الجدول (47-4): قيم التسرب الحقلية التقديرية عبر سد الشهيد باسل الأسد [24]

2006	2005	2004	2003	2002	2001	2000	! deCE
0.250	0.248	0.247	0.243	0.221	0.208	0.180	!! (m ³ /day)!! !! !!!!!!! f! f!!!!CE! f!CE
98	95	95	88	72	70	65	(%)!! f! !!!!!CE!! !

تربة جسم السد عبارة عن ركام صخري عامل نفاذيتها: $K_T = 1.5 \text{ m/day} = 1.74 \times 10^{-5} \text{ m/sec}$ وعرض قمة السد $B = 8 \text{ m}$ ارتفاع الماء في بحيرة التخزين أمام السد ($H_1 = 48.1 \text{ m}$)، سماكة النواة الغضارية من الأعلى ($\delta_1 = 4 \text{ m}$)، سماكة النواة من الأسفل ($\delta_2 = 38 \text{ m}$)، والسماكة الوسطية للنواة ($\delta_c = 21 \text{ m}$)، ميل المنحدر الأمامي للسد $m_1 = 1:1.8$ ، وميل المنحدر الخلفي $m_2 = 1:1.5$ [25].

تربة النواة الغضارية هي تربة غضارية حمراء اللون وهي غضار عالي اللدونة حد سيولتها 63.8% وحد لدونتها 30% ، تركيبها الحبي كما يلي: نسبة الغضار 35.80% ، نسبة السيلت 44.10% ، نسبة الرمل 15.40% ، نسبة البحص 4.70% [25].

بناءً على المعطيات السابقة سنقوم بدراسة التسرب عبر جسم السد (q_T) اعتماداً على طريقة الافتراض المذكورة سابقاً حيث سيتم استبدال النواة الغضارية المركزية بتربة ذات عامل نفاذية يساوي عامل النفاذية لتربة جسم السد، وبافتراض عدة حلول على أن يتم استخدام الترب الثلاثة المدروسة في البحث كمادة بناء للنواة الغضارية للسد المدروس بحيث يتم حساب عامل نفاذية النواة بتأثير إجهاد الوزن الذاتي لتربة النواة عند منتصف النواة وفي حالتين: أولاً: انتفاخ تربة النواة شاقولياً بتأثير تيار الماء المتسرب عبرها، ثانياً: تطويق انتفاخ تربة النواة شاقولياً بتأثير إجهاد الوزن الذاتي في منتصف النواة.



!!!!!! deCE !! !CE!!!!!! 6! !!!!! !CEde !CE 5! !!!!! !deCE!!Z!CE4! !!!!! !deCE!!Z!CE3! !!!!! !CE!!Z!CE2! !!!!! !de!! !CE!!CE!CE 1

!!>25@ !!!!!!! !q!! !!!!! !CE% de f! !CE! !!!!!!! !!!!!!! !!!!!!! !!!!!!! !!!!!!! !!!!!!! !!!!!!! !!!!!!! !!!!!!! !!!!!!!

الحل الأول: اعتماد أبعاد النواة الغضارية المنفذة في الواقع مع وجود الفلاتر العكسية وموشور الصرف الخارجي:

أولاً: تربة النواة هي تربة مشروع مطار حماة المنخفضة الانتفاخ:
1. الحالة الأولى: حساب عامل نفاذية تربة النواة K_C في حال انتفاخ التربة شاقولياً أي بالاعتماد على المنحني الممثل للعلاقة بين الإجهاد المطبق وعامل النفاذية، الشكل (5 - 1) كما سنرى لاحقاً، وتأثير إجهاد الوزن الذاتي عند منتصف النواة:

$$\sigma = \gamma_{\text{sat}} \cdot h = 19.0 \times 25 = 475 \text{ KPa}$$

ومنه نجد أن: $K_C = 1.09 \times 10^{-7} \text{ m/sec}$

2. الحالة الثانية: حساب عامل نفاذية تربة النواة K_C في حال تطويق انتفاخ التربة شاقولياً على اعتبار أن إجهاد الوزن الذاتي في منتصف النواة أكبر من ضغط انتفاخ التربة ($\sigma > \sigma_{sw} = 75 \text{ KPa}$) واعتماداً على الشكل (5 - 8) الممثل للعلاقة بين الإجهاد المطبق على التربة وعامل نفاذيتها في حال تطويق انتفاخها نجد أن: $K_C = 8.61 \times 10^{-8} \text{ m/sec}$.

ونبين في الجدول (4 - 48) قيم التسرب في الحالتين السابقتين اعتماداً على العلاقات والمعطيات السابقة حيث q_T هي قيمة التسرب عبر جسم السد مع الأخذ بعين الاعتبار وجود الفلاتر الثلاثة.

الجدول (4-48): قيم التسرب في حال استخدام تربة منخفضة الانتفاخ

الحالة المدروسة	δ_O (m)	B_1 (m)	L (m)	L_P (m)	h_1 (m)	q_T (m ³ /day)
انتفاخ	3344	3331	3365.4	3384.64	0.61	1.22
تطويق انتفاخ	4234.4	4221.4	4255.8	4275	0.21	0.47

نلاحظ من الجدول السابق أن مقدار التسرب عبر جسم السد قد انخفض بمقدار (60 %) تقريباً عند الاعتماد على قيمة عامل النفاذية للتربة المدروسة في حالة تطويق انتفاخها بتأثير إجهاد الوزن الذاتي.

ثانياً: تربة النواة هي تربة تارين المتوسطة الانتفاخ:

1. الحالة الأولى: حساب عامل نفاذية تربة النواة K_C في حال انتفاخ التربة شاقولياً أي بالاعتماد على المنحني الممثل للعلاقة بين الإجهاد المطبق وعامل النفاذية، الشكل (5 - 2)، وتأثير إجهاد الوزن الذاتي عند منتصف النواة:

$$\sigma = \gamma_{sat} \cdot h = 19.8 \times 25 = 495 \text{ KPa}$$

ومنه نجد أن: $K_C = 6.72 \times 10^{-8} \text{ m/sec}$

2. الحالة الثانية: حساب عامل نفاذية تربة النواة K_C في حال تطويق انتفاخ التربة شاقولياً على اعتبار أن إجهاد الوزن الذاتي في منتصف النواة أكبر من ضغط انتفاخ التربة ($\sigma > \sigma_{sw} = 360 \text{ KPa}$) واعتماداً على الشكل (5 - 9) الممثل للعلاقة بين الإجهاد المطبق على التربة وعامل نفاذيتها في حال تطويق انتفاخها نجد أن: $K_C = 5.65 \times 10^{-8} \text{ m/sec}$.

ونبين في الجدول (4 - 49) قيم التسرب في الحالتين السابقتين اعتماداً على العلاقات والمعطيات السابقة: الجدول (4-49): قيم التسرب في حال استخدام تربة متوسطة الانتفاخ

الحالة المدروسة	δ_O (m)	B_1 (m)	L (m)	L_P (m)	h_1 (m)	q_T (m ³ /day)
انتفاخ	5425	5412	5446.5	5465.7	0.48	0.76
تطويق انتفاخ	6452	6439	6473.4	6492.6	0.12	0.25

نلاحظ من الجدول السابق أن مقدار التسرب عبر جسم السد قد انخفض بمقدار (65 %) تقريباً عند الاعتماد على قيمة عامل النفاذية للتربة المدروسة في حالة تطويق انتفاخها بتأثير إجهاد الوزن الذاتي. كما أن القيم الحسابية للتسرب بالاعتماد على المنحنيات التجريبية لتجارب تطويق الانتفاخ الشاقولي لتربة تارين تتوافق إلى حد كبير مع القيم الحقيقية التقديرية للتسرب الواردة في الجدول (4-47) مما يؤكد مؤشراً على صحة نتائج النفاذية التي يمكن الحصول عليها من المنحنيات التجريبية لتجارب تطويق الانتفاخ الشاقولي.

ثالثاً: تربة النواة هي تربة زيزون العالية الانتفاخ:

1. الحالة الأولى: حساب عامل نفاذية تربة النواة K_C في حال انتفاخ التربة شاقولياً أي بالاعتماد على المنحني الممثل للعلاقة بين الإجهاد المطبق وعامل النفاذية، الشكل (5 - 3)، وتأثير إجهاد الوزن

ذات:

$$\sigma = \gamma_{\text{sat}} \cdot h = 19.3 \times 25 = 483 \text{ KPa}$$

$$K_C = 4.92 \times 10^{-10} \text{ m/sec} \text{ ومنه نجد أن:}$$

2. الحالة الثانية: لا يمكن حساب عامل نفاذية تربة النواة K_C في حال تطويق انتفاخ التربة شاقولياً على اعتبار أنه لم يحدث تطويق للانتفاخ في هذه الحالة لأن إجهاد الوزن الذاتي في منتصف النواة أصغر من ضغط انتفاخ التربة ($\sigma < \sigma_{\text{sw}} = 1050 \text{ KPa}$) أي لم يتم التغلب على ضغط الانتفاخ عند الارتفاع المدروس.

ونبين في الجدول (4 - 50) قيمة التسرب في الحالة المدروسة اعتماداً على العلاقات والمعطيات السابقة:
الجدول (4-50): قيم التسرب في حال استخدام تربة عالية الانتفاخ

الحالة المدروسة	K_C (m/sec)	δ_O (m)	B_1 (m)	L (m)	L_P (m)	h_1 (m)	q_T (m ³ /day)
انتفاخ	4.92×10^{-10}	741023	741010	741044	1482107	0.01	0.015

نلاحظ من الجدول السابق أن التسرب عبر جسم السد قد أصبح صغيراً جداً بسبب استخدام تربة عالية الانتفاخ عامل نفاذيتها قليل.

الحل الثاني: تخفيض أبعاد النواة الغضارية مع وجود الفلاتر وموشور الصرف:
سنقوم بدراسة التسرب عبر جسم السد مرة أخرى بحيث نقوم بتخفيض سماكة النواة من الأسفل بمقدار (20 %) تقريباً أي تصبح ($\delta_2 = 30 \text{ m}$)، والسماكة الوسطية للنواة ($\delta_c = 14.5 \text{ m}$)، مع الأخذ بعين الاعتبار المحافظة على استقرار وتوازن النواة الغضارية.

أولاً: تربة مشروع مطار حماة المنخفضة الانتفاخ:

الجدول (4-51): قيم التسرب في حال استخدام تربة منخفضة الانتفاخ

الحالة المدروسة	δ_O (m)	B_1 (m)	L (m)	L_P (m)	h_1 (m)	q_T (m ³ /day)
انتفاخ	2707.7	2698.7	2733.1	2752.3	0.48	1.43
تطويق انتفاخ	3427.8	3418.8	3453.1	3472.4	0.23	0.55

نلاحظ أن التسرب ازداد (15 %) تقريباً في حال تخفيض سماكة النواة من الأسفل بمقدار (20 %).

ثانياً: تربة النواة هي تربة تارين المتوسطة الانتفاخ:

الجدول (4-52): قيم التسرب في حال استخدام تربة متوسطة الانتفاخ

الحالة المدروسة	δ_O (m)	B_1 (m)	L (m)	L_P (m)	h_1 (m)	q_T (m ³ /day)
انتفاخ	4391.9	4382.9	4417.2	4436.5	0.34	0.92
تطويق انتفاخ	5223.7	5214.7	5249	5268.2	0.14	0.30

نلاحظ من الجدول السابق أن التسرب ازداد بمقدار (18 %) تقريباً في حال تخفيض سماكة النواة من الأسفل بمقدار (20 %).

ثالثاً: تربة النواة هي تربة زيزون العالية الانتفاخ:

الجدول (4-53): قيم التسرب في حال استخدام تربة عالية الانتفاخ

الحالة المدروسة	δ_O (m)	B_1 (m)	L (m)	L_P (m)	h_1 (m)	q_T (m ³ /day)
انتفاخ	599875	599866	599900	599919	0.03	0.019

نلاحظ من الجدول السابق أن التسرب عبر جسم السد قد ازداد بمقدار (11 %) تقريباً في حال تخفيض نادر (20 %)، إلا أن قيمة التسرب لا تزال صغيرة وتكاد تكون معدومة.

الجدول (4-54): قيم التسرب الناتجة في حال استخدام الترب الثلاثة

(m ³ /day)!!!				
!!!				
!!!				
!!!				
0.55	1.43	0.47	1.22	
0.30	0.92	0.25	0.76	
-	0.019	-	0.015	

! يمكن استخدام التربة الضعيفة الانتفاخ في حال توفرها في موقع إنشاء السد أو في مكان قريب منه مع اعتماد الحل الأول (الأبعاد الواقعية للنواة) مع الأخذ بعين الاعتبار قيمة عامل النفاذية الناتجة عن تطبيق انتفاخ التربة عند منتصف النواة الغضارية.

! إن قيم التسرب المحسوبة عند استخدام تربة متوسطة الانتفاخ مشابهة لتربة نواة السد المدروس وبالأعتماد على المنحنيات التجريبية الناتجة عن تجارب تطويق الانتفاخ الشاقولي للتربة تتوافق إلى حد كبير مع قيم التسرب الحقلية الواردة في الجدول (4-47).

تعطي التربة العالية الانتفاخ أقل قيمة للتسرب عبر جسم السد في حال إمكانية استخدامها كمادة بناء للنواة الغضارية لأن نفاذيتها قليلة جداً مقارنة مع باقي أنواع الترب، إلا أن قابلية هذه التربة العالية للتغيرات الحجمية تعتبر عامل ضعف ضمن النواة الغضارية خاصة في حال السدود العالية الارتفاع وفي حال تعاقب مواسم الجفاف والرطوبة بشكل متكرر مما يزيد خطر تآكل وانجراف النواة الأمر الذي يؤثر على توازن واستقرار السد الترابي [42].

!!

100

5-1- المجموعة الأولى من التجارب (دراسة الانتفاخ والنفاذية):

5-1-1- تأثير الرطوبة الطبيعية للتربة المدروسة على عامل النفاذية:

وجدنا من خلال التجارب التي أجريت على الترب الثلاثة المدروسة وعند رطوبات مختلفة أن عامل النفاذية ينخفض بانخفاض الرطوبة البدائية للعينة وبتأثير ضاغط ثابت أي عند تطبيق نفس الإجهاد الشاقولي على العينة، حيث أنه مع انخفاض الرطوبة البدائية للعينة تزداد قابلية التربة للانتفاخ وبالتالي تنخفض قيمة عامل النفاذية، إلا أن معدل تناقص عامل النفاذية يعتبر صغيراً جداً بالمقارنة مع قيم عامل النفاذية للترب الغضارية التي تتراوح عادةً بين $(10^{-9} \sim 10^{-13} \text{ m/sec})$ وبالتالي نجد أن تأثير الرطوبة البدائية للتربة الانتفاخية على عامل نفاذيتها محدود.

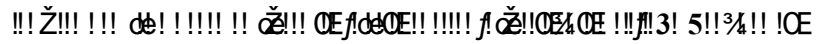
نلاحظ من الأشكال (1-5)، (2-5)، (3-5) الممثلة للنتائج المبينة في الجداول (1-5)، (2-5)، (3-5) على التوالي، أن المنحنيات الثلاثة لكل تربة تكاد تكون متطابقة مع بعضها ولها نفس الميل أي أن قيم عوامل النفاذية تتغير بشكل محدود تبعاً لتغير الرطوبة البدائية للعينة المدروسة.

الجدول (1-5): قيم عوامل النفاذية للتربة الضعيفة الانتفاخ عند رطوبات مختلفة

K (m / sec)			(KPa)!!!!!! !!!!!!! !!!!!!! !!!!!!!	
!!!!!! !!!!!!! !!!!!!! W = 17.8 %	!!!!!! !!!!!!! !!!!!!! W = 20.5 %	!!!!!! !!!!!!! !!!!!!! W = 23.8 %	$\Delta\sigma$!!!!!! !!!!!!!	σ_o !!!!!! !!!!!!! !!!!!!! !!!!!!!
1.92×10^{-7}	2.55×10^{-7}	3.07×10^{-7}	25	0.0
1.63×10^{-7}	2.34×10^{-7}	2.67×10^{-7}	25	25
1.42×10^{-7}	2.08×10^{-7}	2.31×10^{-7}	50	50
9.95×10^{-8}	1.45×10^{-7}	1.87×10^{-7}	100	100
7.86×10^{-8}	9.02×10^{-8}	1.22×10^{-7}	200	200
4.39×10^{-8}	6.34×10^{-8}	7.87×10^{-8}	200	400
2.58×10^{-8}	4.02×10^{-8}	5.28×10^{-8}	200	600

!!!!!! !!!!!!! !!!!!!! !!!!!!! !!!!!!! !!!!!!! !!!!!!! !!!!!!! !!!!!!! !!!!!!!

K (m / sec)			(KPa)!!!!!! !!!!!!! !!!!!!! !!!!!!!	
!!!!!! !!!!!!! !!!!!!! W = 19.1 %	!!!!!! !!!!!!! !!!!!!! W = 22.3 %	!!!!!! !!!!!!! !!!!!!! W = 25.5 %	$\Delta\sigma$!!!!!! !!!!!!!	σ_o !!!!!! !!!!!!! !!!!!!! !!!!!!!
7.34×10^{-8}	8.19×10^{-8}	8.92×10^{-8}	25	0.0
6.72×10^{-8}	7.43×10^{-8}	8.47×10^{-8}	25	25
6.05×10^{-8}	6.82×10^{-8}	7.91×10^{-8}	50	50
5.28×10^{-8}	6.24×10^{-8}	7.53×10^{-8}	100	100
4.33×10^{-8}	5.31×10^{-8}	6.88×10^{-8}	200	200
3.17×10^{-8}	4.45×10^{-8}	6.36×10^{-8}	200	400
2.39×10^{-8}	3.62×10^{-8}	5.83×10^{-8}	200	600
1.94×10^{-8}	3.01×10^{-8}	5.37×10^{-8}	200	800
1.46×10^{-8}	2.46×10^{-8}	4.91×10^{-8}	200	1000
1.28×10^{-8}	1.97×10^{-8}	4.68×10^{-8}	100	

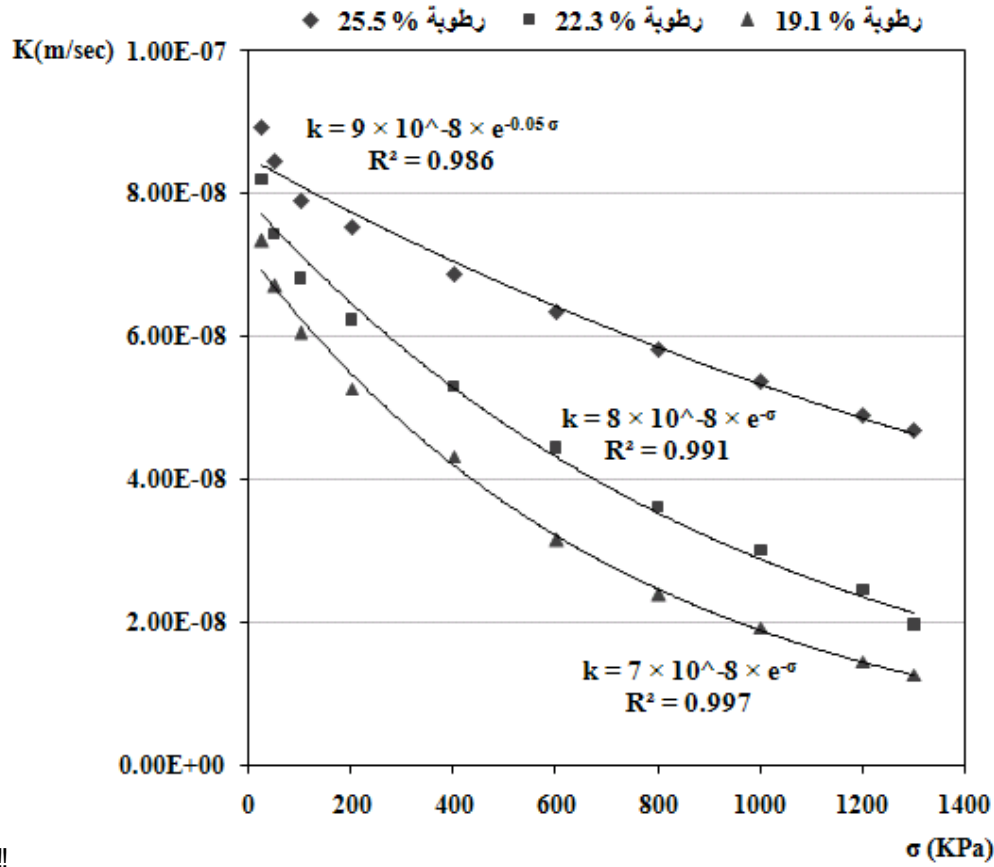


created with
nitro^{PDF} professional
download the free trial online at nitropdf.com/professional

1.54×10^{-10}	1.61×10^{-10}	1.85×10^{-10}	100	1300
1.28×10^{-10}	1.37×10^{-10}	1.64×10^{-10}	100	1400
9.82×10^{-11}	9.88×10^{-11}	1.38×10^{-10}	100	1500

!!

!!

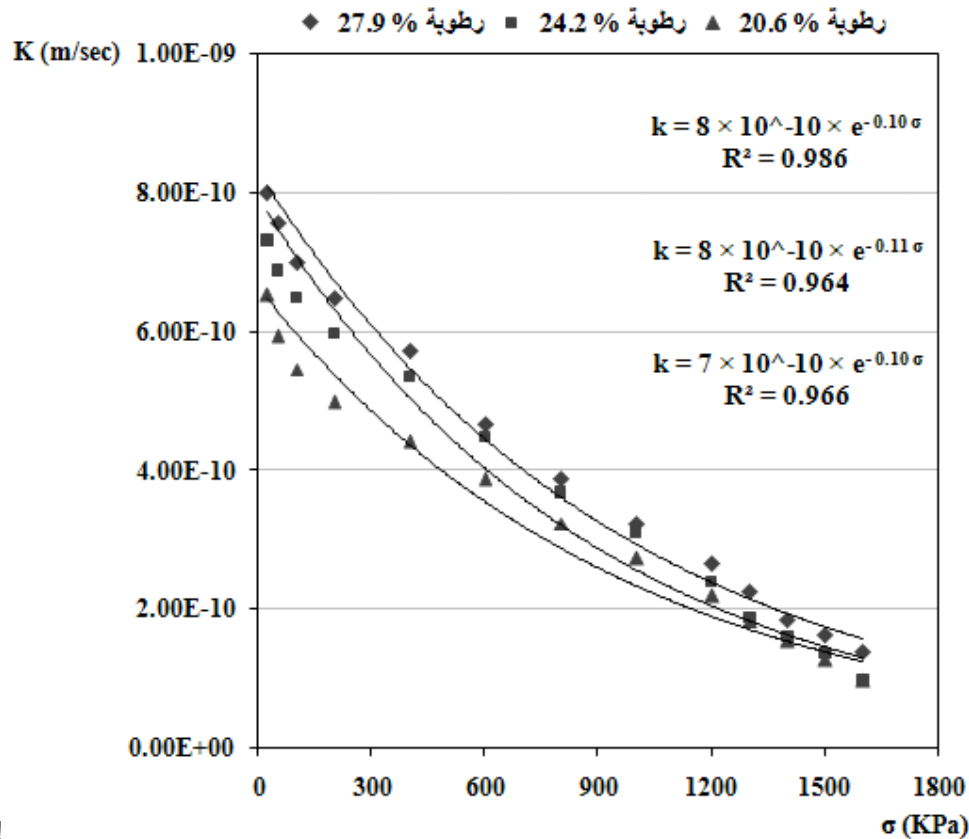


!!

!!!!!!!!!!!!!!

!!! ǒ!!! OE! !!!!! OE!!!! OE! f! OE OE!!!!!! OE! f! ǒ!!! OE! de! f!!!!!!! OE! 5!!!%! !OE

!!



!!

الشكل (3-5): العلاقة بين عامل النفاذية والرطوبة البدائية - التربة العالية الانتفاخ

5 - 1 - 2 - تأثير ضغط انتفاخ التربة المدروسة على عامل نفاذيتها:

إن زيادة ضغط الانتفاخ بانخفاض الرطوبة البدائية للعينة المدروسة ومن أجل كل تربة من الترب الثلاثة تؤدي إلى انخفاض قيمة عامل النفاذية للعينة وتأثير ضاغط ثابت أي عند تطبيق نفس الإجهاد الشاقولي على العينة، والسبب في ذلك يعود إلى زيادة سماكة طبقات الماء المدمصة المحيطة بجزيئات التربة وبالتالي تناقص حجم الفراغات التي يمكن للماء الجريان عبرها مما يسبب انخفاض نفاذية التربة، وكما ذكرنا سابقاً فإن معدل تناقص عامل النفاذية بزيادة ضغط انتفاخ التربة صغير جداً أي أن تأثير ضغط انتفاخ التربة على عامل نفاذيتها محدود، الأشكال (4-5)، (5-5)، (6-5) تمثل نتائج الجداول (4-5)، (5-5)، (6-5) على التوالي.

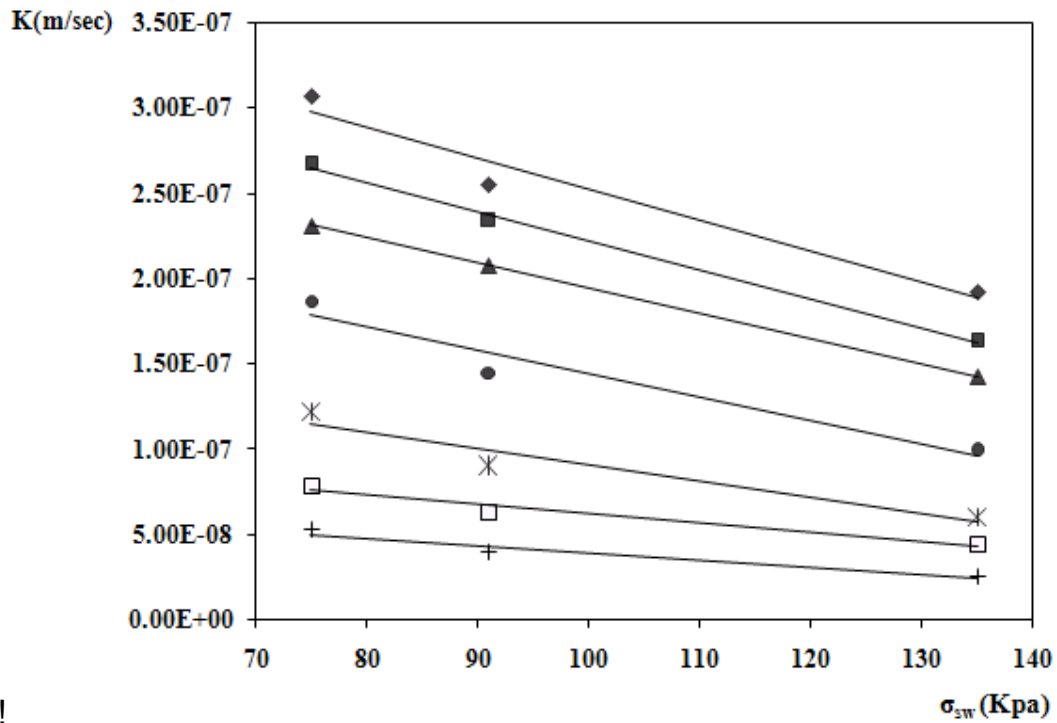
الجدول (4-5): قيم عوامل النفاذية للتربة الضعيفة الانتفاخ عند ضغوط انتفاخ مختلفة

K (m / sec)			(KPa)!!!!!!	
!!!!!!	!!!!!!	!!!!!!	$\Delta \sigma$!!!!!!	σ_0 !!!!!!
$\sigma_{sw} = 135$ KPa	$\sigma_{sw} = 91$ KPa	$\sigma_{sw} = 75$ KPa		
1.92×10^{-7}	2.55×10^{-7}	3.07×10^{-7}	25	0.0
1.63×10^{-7}	2.34×10^{-7}	2.67×10^{-7}	25	25
1.42×10^{-7}	2.08×10^{-7}	2.31×10^{-7}	50	50
9.95×10^{-8}	1.45×10^{-7}	1.87×10^{-7}	100	100
7.86×10^{-8}	9.02×10^{-8}	1.22×10^{-7}	200	200
4.39×10^{-8}	6.34×10^{-8}	7.87×10^{-8}	200	400
2.58×10^{-8}	4.02×10^{-8}	5.28×10^{-8}	200	

!!
!!
!!

- | | |
|---|---|
| ◆ $\sigma_0 = 0 \text{ KPa}$, $\Delta\sigma = 25 \text{ KPa}$
$k = -2 \times 10^{-9} \times \sigma_{sw} + 4 \times 10^{-7}$, $R^2 = 0.957$ | ✱ $\sigma_0 = 200 \text{ KPa}$, $\Delta\sigma = 200 \text{ KPa}$
$k = -1 \times 10^{-9} \times \sigma_{sw} + 2 \times 10^{-7}$, $R^2 = 0.923$ |
| ■ $\sigma_0 = 25 \text{ KPa}$, $\Delta\sigma = 25 \text{ KPa}$
$k = -2 \times 10^{-9} \times \sigma_{sw} + 4 \times 10^{-7}$, $R^2 = 0.996$ | □ $\sigma_0 = 400 \text{ KPa}$, $\Delta\sigma = 200 \text{ KPa}$
$k = -6 \times 10^{-10} \times \sigma_{sw} + 1 \times 10^{-7}$, $R^2 = 0.963$ |
| ▲ $\sigma_0 = 50 \text{ KPa}$, $\Delta\sigma = 50 \text{ KPa}$
$k = -1 \times 10^{-9} \times \sigma_{sw} + 3 \times 10^{-7}$, $R^2 = 0.999$ | + $\sigma_0 = 600 \text{ KPa}$, $\Delta\sigma = 200 \text{ KPa}$
$k = -4 \times 10^{-10} \times \sigma_{sw} + 8 \times 10^{-8}$, $R^2 = 0.950$ |
| ● $\sigma_0 = 100 \text{ KPa}$, $\Delta\sigma = 100 \text{ KPa}$
!! $k = -1 \times 10^{-9} \times \sigma_{sw} + 3 \times 10^{-7}$, $R^2 = 0.943$ | |

!!



!!

!!

!!!

!!

!!

!!

!!

!!

!!

!!

!!

!!

!!!Ž!!!!

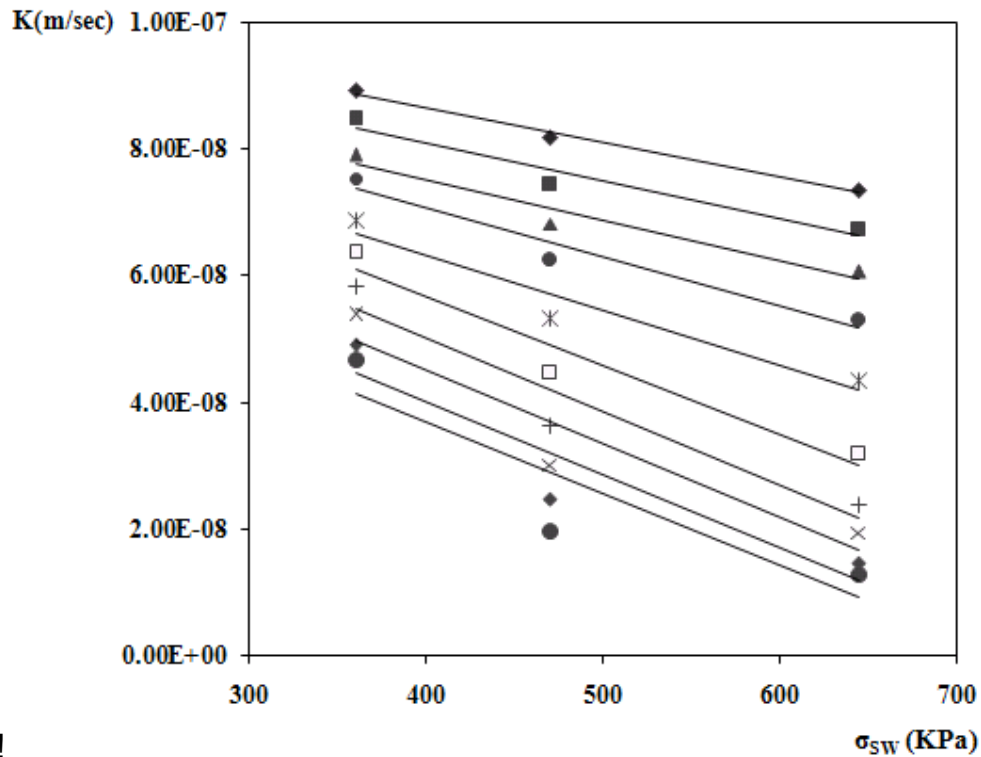
K (m / sec)			(KPa)!!!!!!	
!!!!!! $\sigma_{sw} = 645 \text{ KPa}$!!!!!! $\sigma_{sw} = 470 \text{ KPa}$!!!!!! $\sigma_{sw} = 360 \text{ KPa}$	$\Delta\sigma$!!!!!!	σ_o !!!!!!
7.34×10^{-8}	8.19×10^{-8}	8.92×10^{-8}	25	0.0
6.72×10^{-8}	7.43×10^{-8}	8.47×10^{-8}	25	25
6.05×10^{-8}	6.82×10^{-8}	7.91×10^{-8}	50	50
5.28×10^{-8}	6.24×10^{-8}	7.53×10^{-8}	100	100
4.33×10^{-8}	5.31×10^{-8}	6.88×10^{-8}	200	200
3.17×10^{-8}	4.45×10^{-8}	6.36×10^{-8}	200	400
2.39×10^{-8}	3.62×10^{-8}	5.83×10^{-8}	200	600
1.94×10^{-8}	3.01×10^{-8}	5.37×10^{-8}	200	800
1.46×10^{-8}	2.46×10^{-8}	4.91×10^{-8}	200	1000
1.28×10^{-8}	1.97×10^{-8}	4.68×10^{-8}	100	1200

!!!Ž!!!!

K (m / sec)			(KPa)!!!!!!	
!!!!!! $\sigma_{sw} = 1320 \text{ KPa}$!!!!!! $\sigma_{sw} = 1200 \text{ KPa}$!!!!!! $\sigma_{sw} = 1050 \text{ KPa}$	$\Delta\sigma$!!!!!!	σ_o !!!!!!
6.53×10^{-10}	7.31×10^{-10}	7.98×10^{-10}	25	0.0
5.94×10^{-10}	6.87×10^{-10}	7.56×10^{-10}	25	25
5.46×10^{-10}	6.48×10^{-10}	6.98×10^{-10}	50	50
4.98×10^{-10}	5.97×10^{-10}	6.47×10^{-10}	100	100
4.42×10^{-10}	5.34×10^{-10}	5.71×10^{-10}	200	200
3.87×10^{-10}	4.47×10^{-10}	4.65×10^{-10}	200	400
3.24×10^{-10}	3.68×10^{-10}	3.87×10^{-10}	200	600
2.74×10^{-10}	3.11×10^{-10}	3.23×10^{-10}	200	800
2.19×10^{-10}	2.39×10^{-10}	2.65×10^{-10}	200	1000
1.83×10^{-10}	1.88×10^{-10}	2.26×10^{-10}	100	1200
1.54×10^{-10}	1.61×10^{-10}	1.85×10^{-10}	100	1300
1.28×10^{-10}	1.37×10^{-10}	1.64×10^{-10}	100	1400
9.82×10^{-11}	9.88×10^{-11}	1.38×10^{-10}	100	1500

!!
!!
!!

◆ $\sigma_0 = 0 \text{ Kpa}, \Delta\sigma = 25 \text{ KPa}$ $k = -5 \times 10^{-11} \cdot \sigma_{sw} + 1 \times 10^{-7}, R^2=0.992$	■ $\sigma_0 = 25 \text{ Kpa}, \Delta\sigma = 25 \text{ KPa}$ $k = -6 \times 10^{-11} \cdot \sigma_{sw} + 1 \times 10^{-7}, R^2=0.943$
▲ $\sigma_0 = 50 \text{ Kpa}, \Delta\sigma = 50 \text{ KPa}$ $k = -6 \times 10^{-11} \cdot \sigma_{sw} + 1 \times 10^{-7}, R^2=0.948$	● $\sigma_0 = 100 \text{ Kpa}, \Delta\sigma = 100 \text{ KPa}$ $k = -8 \times 10^{-11} \cdot \sigma_{sw} + 1 \times 10^{-7}, R^2=0.954$
✱ $\sigma_0 = 200 \text{ Kpa}, \Delta\sigma = 200 \text{ KPa}$ $k = -9 \times 10^{-11} \cdot \sigma_{sw} + 1 \times 10^{-7}, R^2=0.932$	□ $\sigma_0 = 400 \text{ Kpa}, \Delta\sigma = 200 \text{ KPa}$ $k = -1 \times 10^{-10} \cdot \sigma_{sw} + 1 \times 10^{-7}, R^2=0.941$
+ $\sigma_0 = 600 \text{ Kpa}, \Delta\sigma = 200 \text{ KPa}$ $k = -1 \times 10^{-10} \cdot \sigma_{sw} + 1 \times 10^{-7}, R^2=0.916$	× $\sigma_0 = 800 \text{ Kpa}, \Delta\sigma = 200 \text{ KPa}$ $k = -1 \times 10^{-10} \cdot \sigma_{sw} + 9 \times 10^{-8}, R^2=0.885$
◆ $\sigma_0 = 1000 \text{ Kpa}, \Delta\sigma = 200 \text{ KPa}$ $k = -1 \times 10^{-10} \cdot \sigma_{sw} + 9 \times 10^{-8}, R^2=0.869$	● $\sigma_0 = 1200 \text{ Kpa}, \Delta\sigma = 200 \text{ KPa}$ $k = -1 \times 10^{-10} \cdot \sigma_{sw} + 8 \times 10^{-8}, R^2=0.801$



!!

!!!!!!!!!!!!

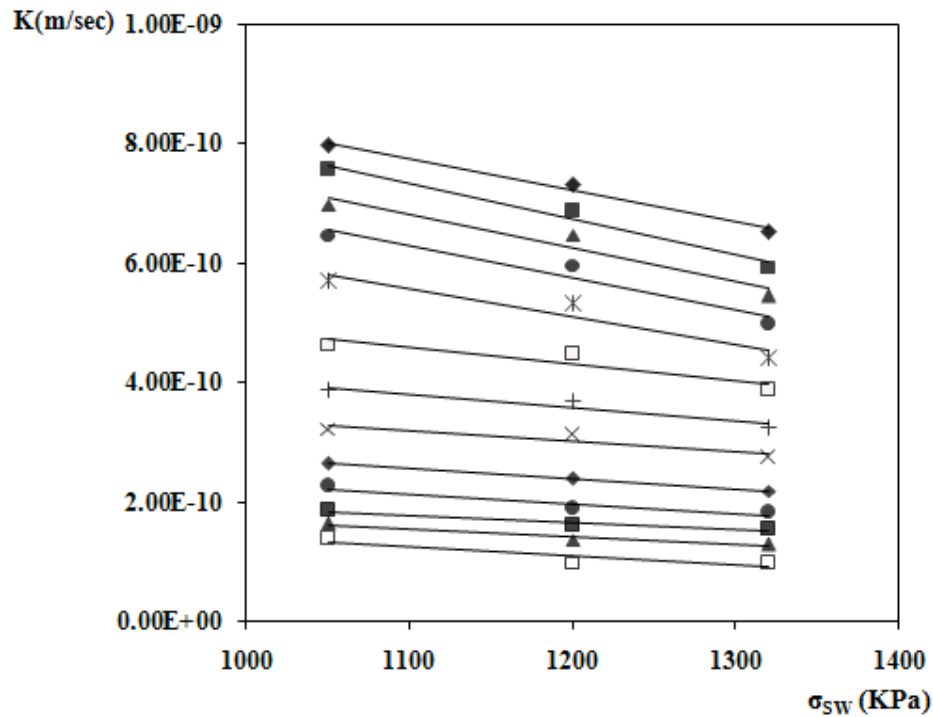
!!!

!!
!!
!!
!!
!!

!!

!!

◆ $\sigma_0 = 0 \text{ KPa}, \Delta\sigma = 25 \text{ Kpa}$ $k = -5 \times 10^{-13} \cdot \sigma_{sw} + 1 \times 10^{-9}, R^2=0.988$	■ $\sigma_0 = 25 \text{ KPa}, \Delta\sigma = 25 \text{ Kpa}$ $k = -6 \times 10^{-13} \cdot \sigma_{sw} + 1 \times 10^{-9}, R^2=0.977$
▲ $\sigma_0 = 50 \text{ KPa}, \Delta\sigma = 50 \text{ Kpa}$ $k = -6 \times 10^{-13} \cdot \sigma_{sw} + 1 \times 10^{-9}, R^2=0.934$	● $\sigma_0 = 100 \text{ KPa}, \Delta\sigma = 100 \text{ Kpa}$ $k = -5 \times 10^{-13} \cdot \sigma_{sw} + 1 \times 10^{-9}, R^2=0.938$
✱ $\sigma_0 = 200 \text{ KPa}, \Delta\sigma = 200 \text{ Kpa}$ $k = -5 \times 10^{-13} \cdot \sigma_{sw} + 1 \times 10^{-9}, R^2=0.909$	□ $\sigma_0 = 400 \text{ KPa}, \Delta\sigma = 200 \text{ Kpa}$ $k = -3 \times 10^{-13} \cdot \sigma_{sw} + 8 \times 10^{-10}, R^2=0.872$
+ $\sigma_0 = 600 \text{ KPa}, \Delta\sigma = 200 \text{ Kpa}$ $k = -2 \times 10^{-13} \cdot \sigma_{sw} + 6 \times 10^{-10}, R^2=0.918$	× $\sigma_0 = 800 \text{ KPa}, \Delta\sigma = 200 \text{ Kpa}$ $k = -2 \times 10^{-13} \cdot \sigma_{sw} + 5 \times 10^{-10}, R^2=0.882$
◆ $\sigma_0 = 1000 \text{ KPa}, \Delta\sigma = 200 \text{ Kpa}$ $k = -2 \times 10^{-13} \cdot \sigma_{sw} + 4 \times 10^{-10}, R^2=0.999$	● $\sigma_0 = 1200 \text{ KPa}, \Delta\sigma = 100 \text{ Kpa}$ $k = -2 \times 10^{-13} \cdot \sigma_{sw} + 4 \times 10^{-10}, R^2=0.880$
■ $\sigma_0 = 1300 \text{ KPa}, \Delta\sigma = 100 \text{ Kpa}$ $k = -1 \times 10^{-13} \cdot \sigma_{sw} + 3 \times 10^{-10}, R^2=0.942$	▲ $\sigma_0 = 1400 \text{ KPa}, \Delta\sigma = 100 \text{ Kpa}$ $k = -1 \times 10^{-13} \cdot \sigma_{sw} + 3 \times 10^{-10}, R^2=0.953$
□ $\sigma_0 = 1500 \text{ KPa}, \Delta\sigma = 100 \text{ Kpa}$ $k = -2 \times 10^{-13} \cdot \sigma_{sw} + 3 \times 10^{-10}, R^2=0.813$	



!!

!!!!!!

!!!

!!
!!
!!
!!
!!

 created with
nitro^{PDF} professional
download the free trial online at nitropdf.com/professional



!!ž f! !!OE! ž!! OE!!OE!!ž !! !!OE!!de!OE!! !OE! f!ž!OE!de! f!!!! !!OE 7! 5!%! !OE
! ž!! OEžf! !OE!! !!OE(W = 23.7 %)!! !! !OE!f!OE

11
 12
 13
 14
 15
 16
 17
 18
 19
 20
 21
 22
 23
 24
 25
 26
 27
 28
 29
 30
 31
 32
 33
 34
 35
 36
 37
 38
 39
 40
 41
 42
 43
 44
 45
 46
 47
 48
 49
 50
 51
 52
 53
 54
 55
 56
 57
 58
 59
 60
 61
 62
 63
 64
 65
 66
 67
 68
 69
 70
 71
 72
 73
 74
 75
 76
 77
 78
 79
 80
 81
 82
 83
 84
 85
 86
 87
 88
 89
 90
 91
 92
 93
 94
 95
 96
 97
 98
 99
 100
 101
 102
 103
 104
 105
 106
 107
 108
 109
 110
 111
 112
 113
 114
 115
 116
 117
 118
 119
 120
 121
 122
 123
 124
 125
 126
 127
 128
 129
 130
 131
 132
 133
 134
 135
 136
 137
 138
 139
 140
 141
 142
 143
 144
 145
 146
 147
 148
 149
 150
 151
 152
 153
 154
 155
 156
 157
 158
 159
 160
 161
 162
 163
 164
 165
 166
 167
 168
 169
 170
 171
 172
 173
 174
 175
 176
 177
 178
 179
 180
 181
 182
 183
 184
 185
 186
 187
 188
 189
 190
 191
 192
 193
 194
 195
 196
 197
 198
 199
 200
 201
 202
 203
 204
 205
 206
 207
 208
 209
 210
 211
 212
 213
 214
 215
 216
 217
 218
 219
 220
 221
 222
 223
 224
 225
 226
 227
 228
 229
 230
 231
 232
 233
 234
 235
 236
 237
 238
 239
 240
 241
 242
 243
 244
 245
 246
 247
 248
 249
 250
 251
 252
 253
 254
 255
 256
 257
 258
 259
 260
 261
 262
 263
 264
 265
 266
 267
 268
 269
 270
 271
 272
 273
 274
 275
 276
 277
 278
 279
 280
 281
 282
 283
 284
 285
 286
 287
 288
 289
 290
 291
 292
 293
 294
 295
 296
 297
 298
 299
 300
 301
 302
 303
 304
 305
 306
 307
 308
 309
 310
 311
 312
 313
 314
 315
 316
 317
 318
 319
 320
 321
 322
 323
 324
 325
 326
 327
 328
 329
 330
 331
 332
 333
 334
 335
 336
 337
 338
 339
 340
 341
 342
 343
 344
 345
 346
 347
 348
 349
 350
 351
 352
 353
 354
 355
 356
 357
 358
 359
 360
 361
 362
 363
 364
 365
 366
 367
 368
 369
 370
 371
 372
 373
 374
 375
 376
 377
 378
 379
 380
 381
 382
 383
 384
 385
 386
 387
 388
 389
 390
 391
 392
 393
 394
 395
 396
 397
 398
 399
 400
 401
 402
 403
 404
 405
 406
 407
 408
 409
 410
 411
 412
 413
 414
 415
 416
 417
 418
 419
 420
 421
 422
 423
 424
 425
 426
 427
 428
 429
 430
 431
 432
 433
 434
 435
 436
 437
 438
 439
 440
 441
 442
 443
 444
 445
 446
 447
 448
 449
 450
 451
 452
 453
 454
 455
 456
 457
 458
 459
 460
 461
 462
 463
 464
 465
 466
 467
 468
 469
 470
 471
 472
 473
 474
 475
 476
 477
 478
 479
 480
 481
 482
 483
 484
 485
 486
 487
 488
 489
 490
 491
 492
 493
 494
 495
 496
 497
 498
 499
 500
 501
 502
 503
 504
 505
 506
 507
 508
 509
 510
 511
 512
 513
 514
 515
 516
 517
 518
 519
 520
 521
 522
 523
 524
 525
 526
 527
 528
 529
 530
 531
 532
 533

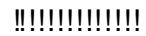


!!ž f!!OE! ž!! OE!!de!!ž!!OE!!de!!OE!!OE!fž!!OE!de!f!!!!OE 7! 5!%!OE
!! ž!!OEžf!!OE!!OE(W = 20.4 %)!fdeOE!f!OE

[illegible]

!! !! !! !! !! !! !! !! !! !!

[illegible]

[illegible]



!!ž f!!OE! œ!!! OE!!œ!! !!ž !!!OE!!deOE!!OE!fœ!!OE!de!f!!!!!!OE 8! 5!!%!!OE!!!!!!!!

!!! Œ !!! OE ! ! !! OE!!!!OE(W = 22.3 %)!! f!œOEf!OE!!!!!!!!!!!!!!!!!!!!!!!!!!!!!!!!!!!!

11

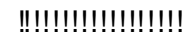


!!ž f!!OE! ž!!! OE!!OE!!ž!!!OE!!deOE!!OE!fžOE!de f!!!!!!OE3!8!5!!%!!OE
!!!ž!!!OE!!!!OE!!!OE(W = 19.08 %!!!!deOE!f!!OE

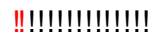
[illegible]



!!
!!
!!
!!
!!
!!
!!
!!
!!
!!
!!
!!
!!



created with
nitro^{PDF} professional
download the free trial online at nitropdf.com/professional

[illegible]

5-3- نتائج وتوصيات البحث:

أجريت التجارب المخبرية في البحث على عينات سليمة من ترب غضارية محلية متفاوتة في قابليتها للانتفاخ بهدف دراسة تأثير عوامل انتفاخ التربة المختلفة على نفاذيتها، ومن خلال تحليل نتائج التجارب المخبرية وتقييم النتائج الحقلية التي حصلنا عليها من تحليل ودراسة سد ترابي موجود في القطر وجدنا ما يلي:

1. يمكن اختصار العوامل المؤثرة على السلوك الانتفاخي للتربة الغضارية بضغط الانتفاخ فقط وذلك عند إجراء تجارب النفاذية على عينات سليمة وبالمنهجية ذاتها التي تم اتباعها في بحثنا.

2. إن قيمة عامل النفاذية للترب الثلاث المدروسة تتناقص مع انخفاض الرطوبات البدائية للعينات المختبرة وتحت تأثير إجهادات متساوية وتكون نسبة الانخفاض كما يلي:

- تربة مشروع مطار حماة: يتناقص عامل النفاذية بمقدار (27 %) تقريباً.

- تربة تارين: يتناقص عامل النفاذية بمقدار (22 %) تقريباً.

- تربة محيط قرية زيزون: يتناقص عامل النفاذية بمقدار (12 %) تقريباً.

أي يتناقص عامل النفاذية بمعدل صغير نسبياً وهذا بدوره يعني أن تأثير الرطوبة البدائية للتربة الانتفاخية على عامل نفاذيتها محدود.

3. مع انخفاض الرطوبة البدائية يزداد ضغط انتفاخ العينة المدروسة ويقابل هذه الزيادة في ضغط الانتفاخ انخفاض قيم عامل النفاذية بالمقادير المذكورة في الفقرة (2)، أي يتناقص عامل النفاذية بمعدل صغير نسبياً وهذا بدوره يعني أن تأثير ضغط انتفاخ التربة على عامل نفاذيتها محدود، مما يتناقض مع بعض المراجع التي بينت أن النفاذية تنخفض بشكل كبير مع زيادة انتفاخ التربة [20]، [36]، [43]، [44].

4. إن ازدياد الضغط الشاقولي المطبق على العينة يسبب انخفاض نسبة الفراغات مما يؤدي إلى تناقص نفاذية التربة المدروسة، حيث أنه مع ازدياد الضغط المطبق بمقدار (1 %) تتناقص قيمة عامل النفاذية وفق ما يلي:

- تربة مشروع مطار حماة: يتناقص عامل النفاذية بمقدار (20 %) تقريباً.

- تربة تارين: يتناقص عامل النفاذية بمقدار (15 %) تقريباً.

- تربة محيط قرية زيزون: يتناقص عامل النفاذية بمقدار (13 %) تقريباً.

5. إن قيم عامل النفاذية للتربة في تجارب الأدومتر العادي (غير المطوق) أكبر من قيم عامل النفاذية الناتجة عن تطويق الانتفاخ الشاقولي لعينات مماثلة من نفس التربة المدروسة ولها نفس الشروط البدائية (S_r , e , γ_d , w_n) وتخضع لتأثير نفس الإجهاد الشاقولي المطبق، حيث أن مقدار انخفاض عامل النفاذية بين حالتي السماح بالانتفاخ وتطويقه يكون وفق ما يلي:

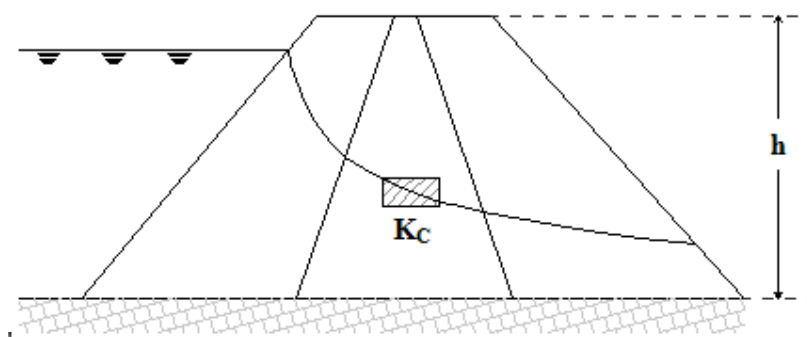
- تربة مشروع مطار حماة: ينخفض عامل النفاذية في حالة التطويق بمقدار (15 %) تقريباً.

- تربة تارين: ينخفض عامل النفاذية في حالة التطويق بمقدار (28 %) تقريباً.

- تربة محيط قرية زيزون: ينخفض عامل النفاذية في حالة التطويق بمقدار (45 %) تقريباً.

6. لم يحدث تشوه (انضغاط) في عينات التربة المختبرة في حالة تطويق الانتفاخ الشاقولي قبل أن يتم تطبيق ضغط شاقولي أكبر من ضغط الانتفاخ الذي تم تطويقه.

11



11

(حسب الترتيب الأبجدي لكنية المؤلف)

أولاً: المراجع العربية:

- created with
nitro^{PDF} professional
download the free trial online at nitropdf.com/professional

!!!! f!!! ! OE! OE!OEpede

- created with
nitro^{PDF} professional
download the free trial online at nitropdf.com/professional

45. Terzaghi, K (1943) - Theoretical Soil Mechanics - Washington, D.C.
46. Terzaghi, K, Peck, R. B, and Mesri, G (1996) - Soil Mechanics in Engineering Practice - John Wiley & Sons, New York.
47. Zayed, M (2001) - Consolidation of Soil - SIVA - New York.
48. ASTM, D4546-96 (1996) - Standard Test Methods for One-Dimensional Swell or Settlement Potential of Cohesive Soils - United States of America.
49. BS 1377 - Methods of Testing Soils for Civil Engineering Purposes - British Standards Institution, London.